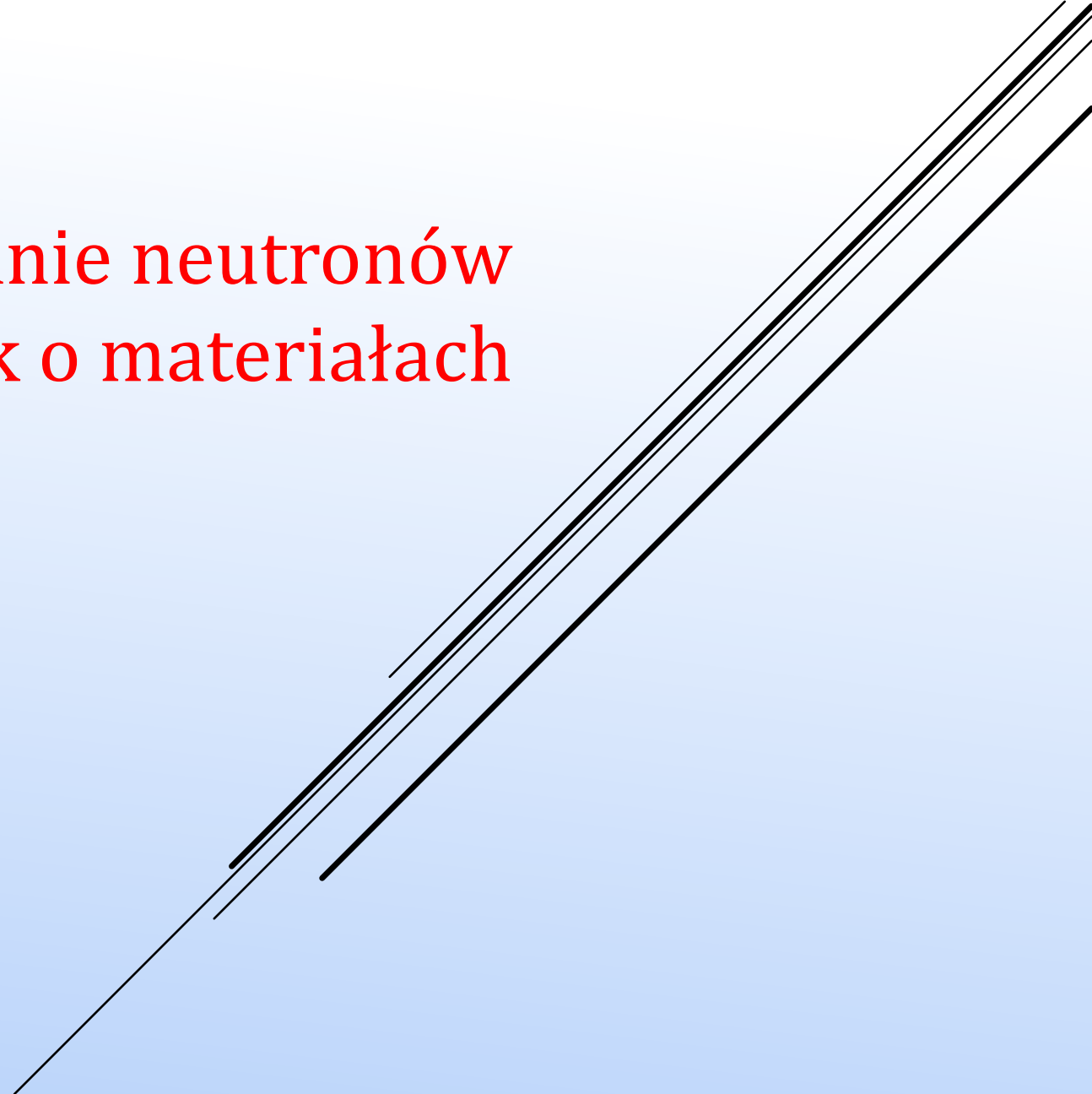


Rozpraszanie neutronów dla nauk o materiałach

Politechnika Warszawska WIM
08.04.2022

Wojciech Zając
Instytut Fizyki Jądrowej PAN



Neutrony i promienie X – komplementarność

Neutrony

- mają masę
- mają spin i moment magnetyczny
- są stosunkowo powolne
- oddziałują z jądrami
(rozpraszanie magnetyczne wymaga magnetycznych formfaktorów)

Fotony (promienie X)

- bezmasowe
- nie mają momentu magnetycznego
- bardzo szybkie
- oddziałują z gęstościami elektronowymi
(wymaga atomowych formfaktorów)

Cechy wspólne

$$k = \frac{2\pi}{\lambda} \quad (\text{dla } \lambda = 1.5604\text{\AA} \quad k = 4.02665\text{\AA}^{-1})$$

Neutrony

$$E(\text{meV}) = 2.07k^2(\text{\AA}^{-2})$$

$$E_{1.5604\text{\AA}} = 33.6 \text{ meV}$$

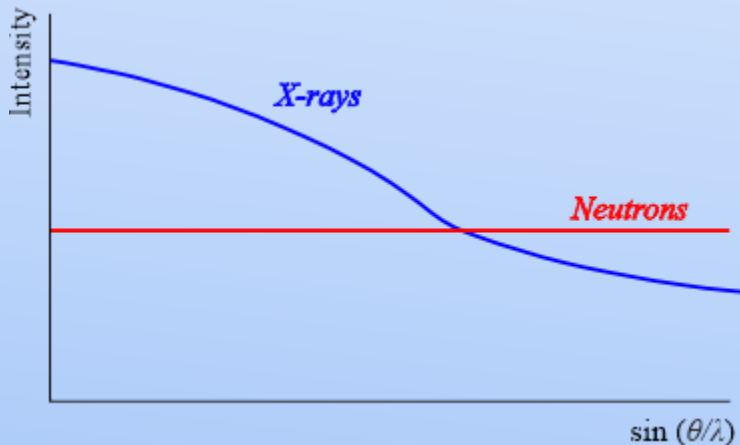
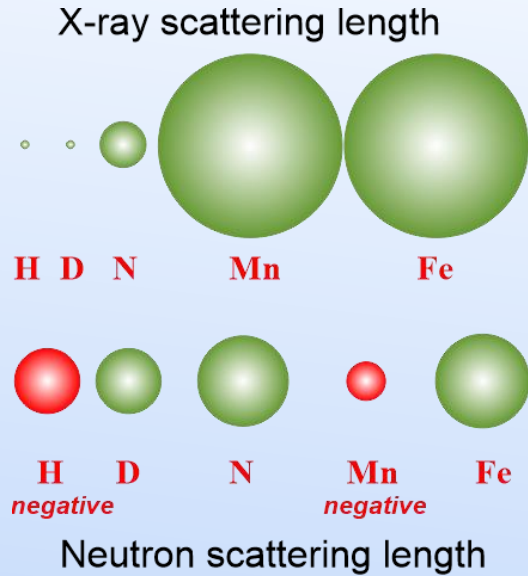
Fotony (promienie X)

$$E_{\text{CuK}\alpha} = 1.97k(\text{\AA})$$

$$E_{\text{CuK}\alpha} = 8.04 \text{ keV}$$

Neutrony i promienie X – komplementarność

Długości rozpraszania



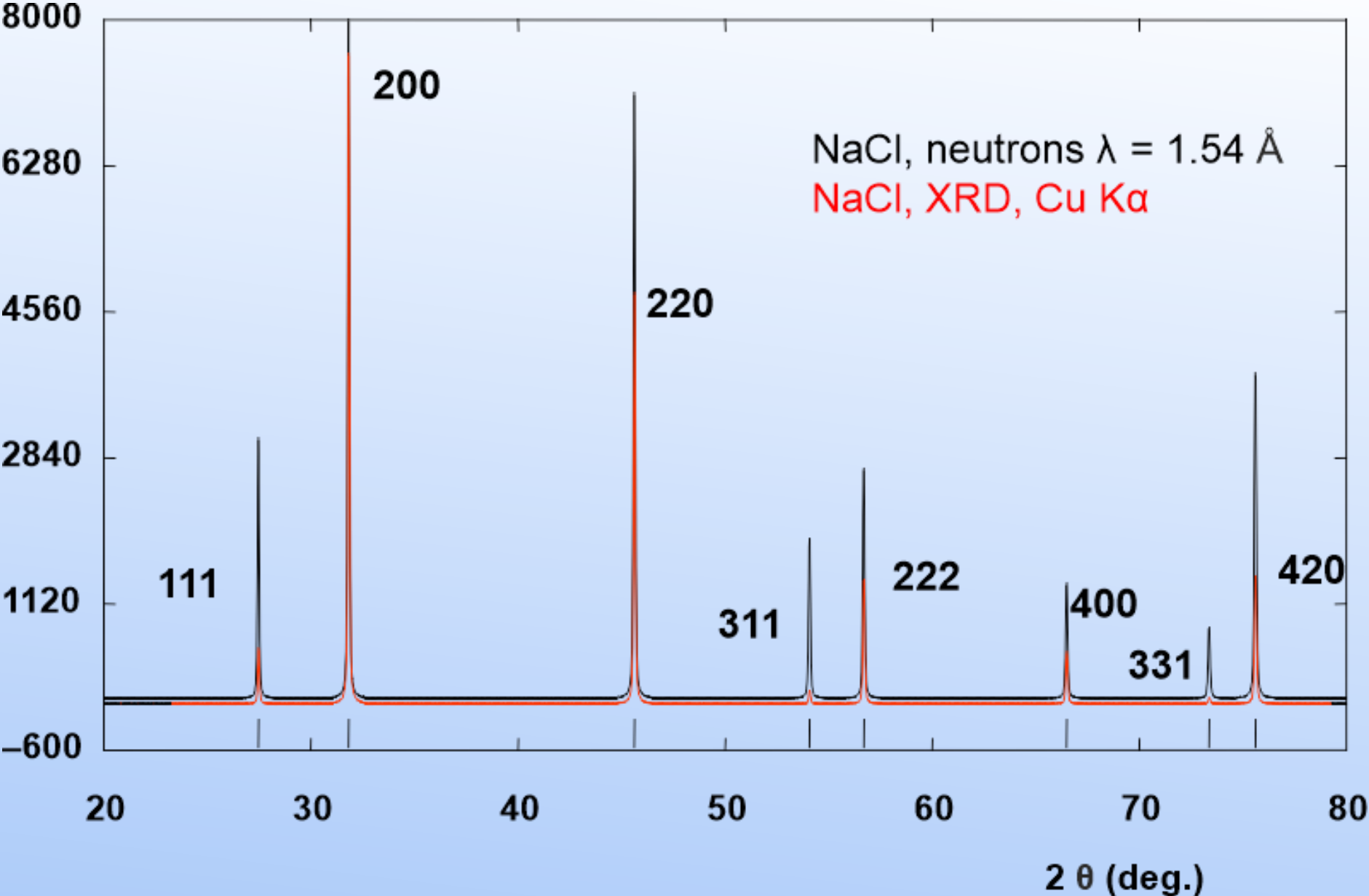
Fotony

- wysoka wydajność
- rozdzielczość czasowa (ms)
- sterowanie energią (ASAXS)
- mikro- i nanowiązki skanujące (dyfrakcja, obrazowanie)
- badanie ultra-cienkich warstw (GISAXS)

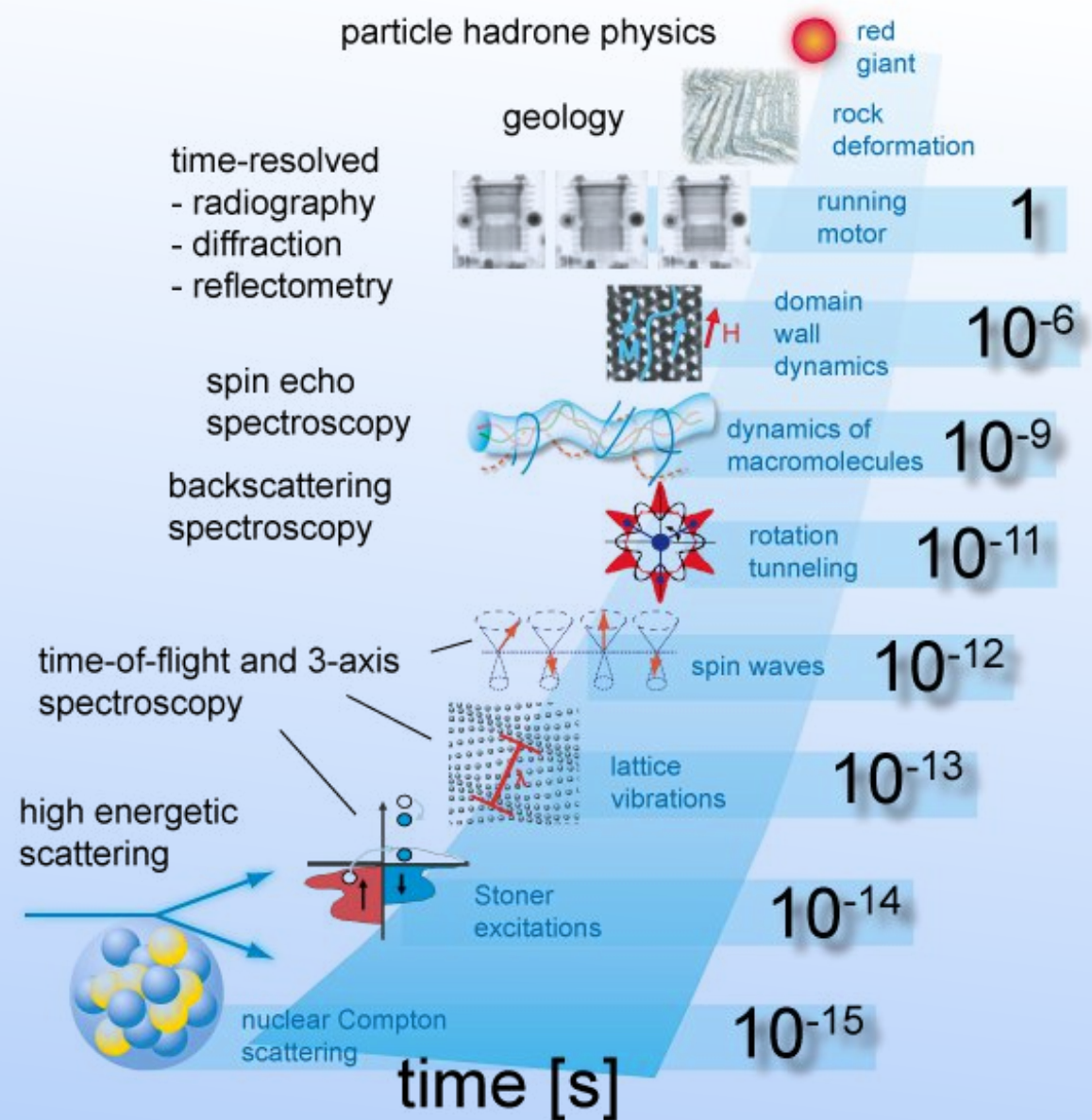
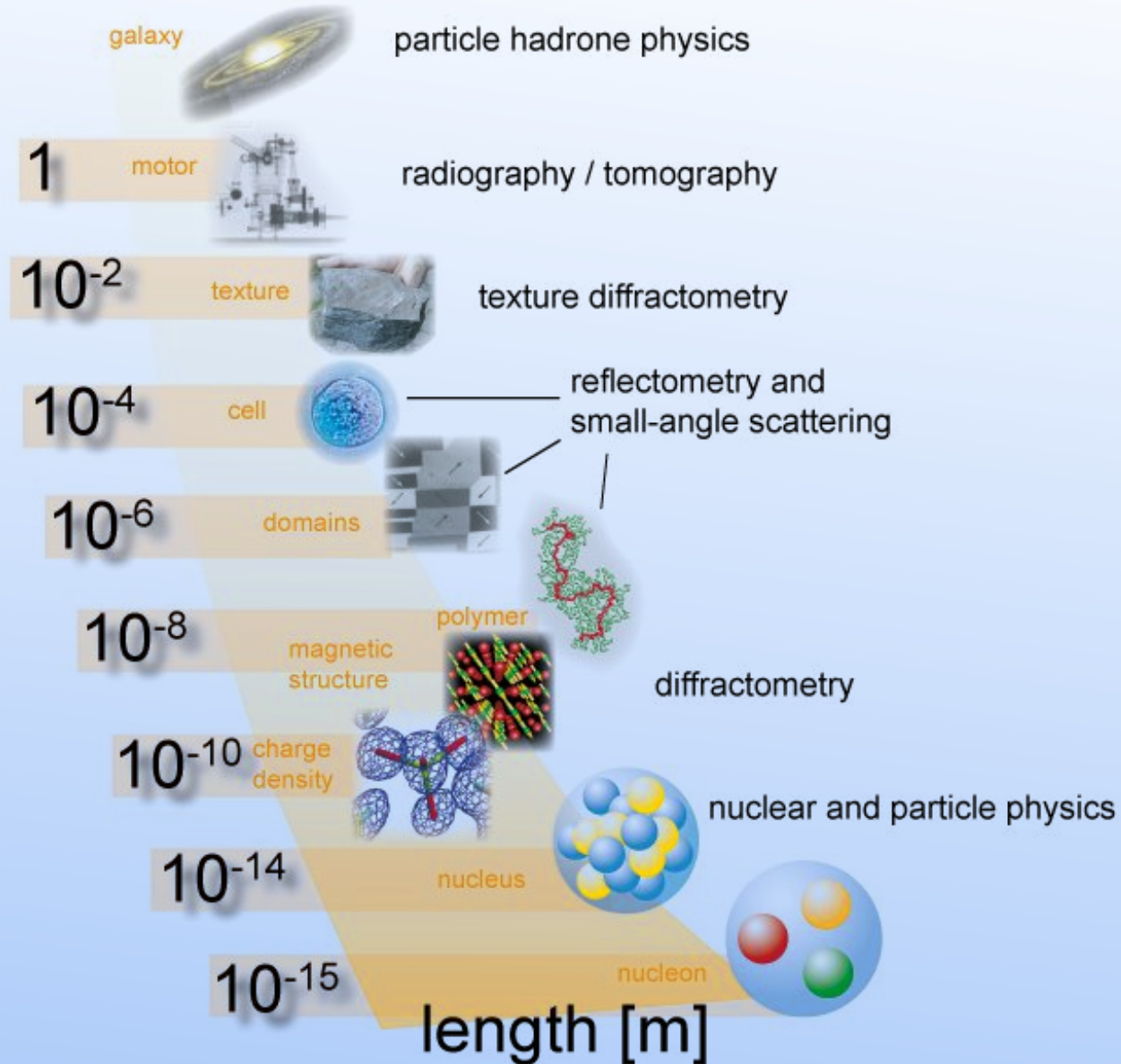
Neutrony

- czułe na lekkie atomy (polimery, biologia, materia miękka, wodór w metalach)
- rozróżniają izotopy (układy wieloskładnikowe)
- brak uszkodzeń radiacyjnych
- głęboka penetracja
 - próbki dużych rozmiarów (inżynieria)
 - trudne środowiska (p,T)
- kontrast magnetyczny

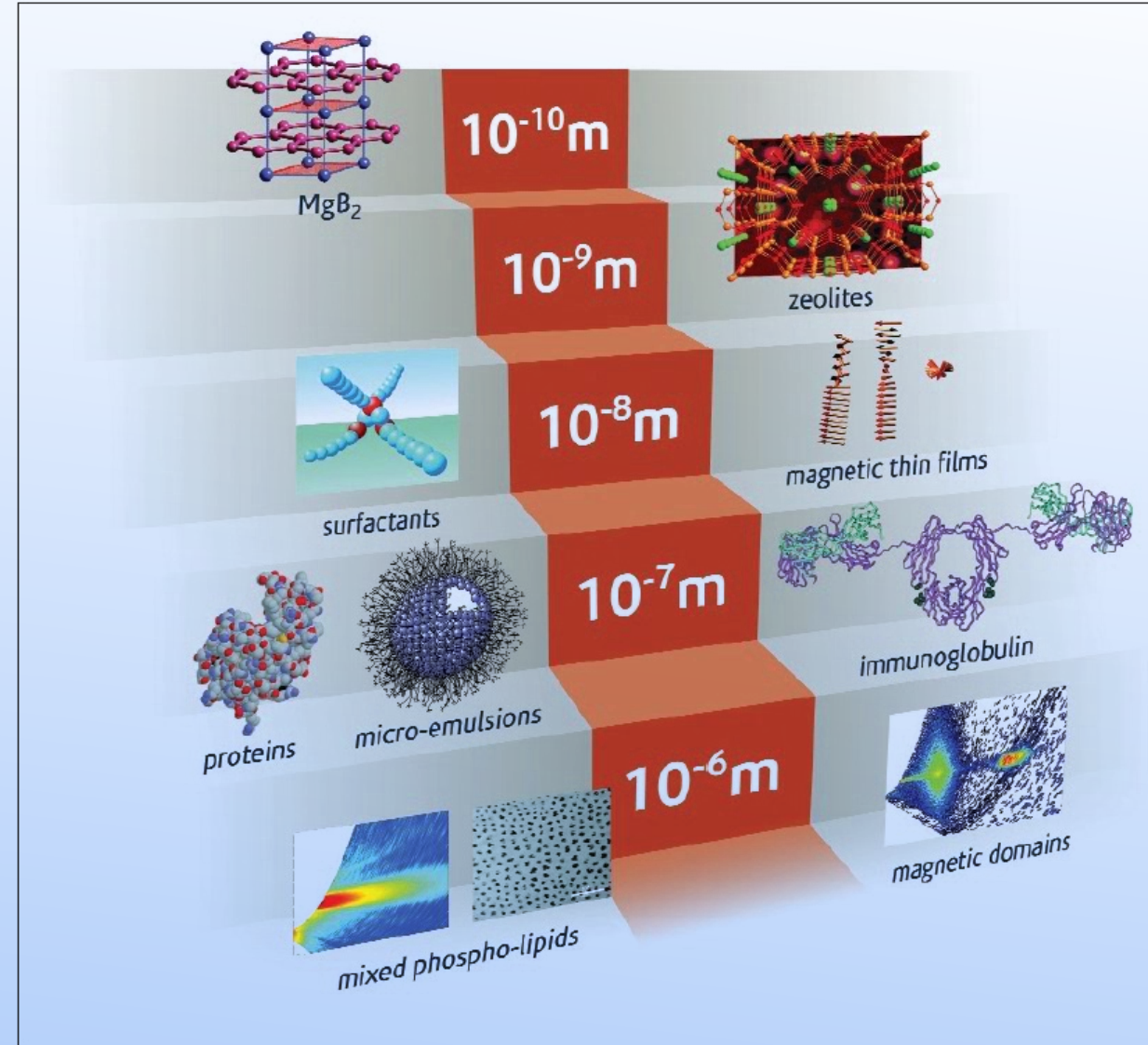
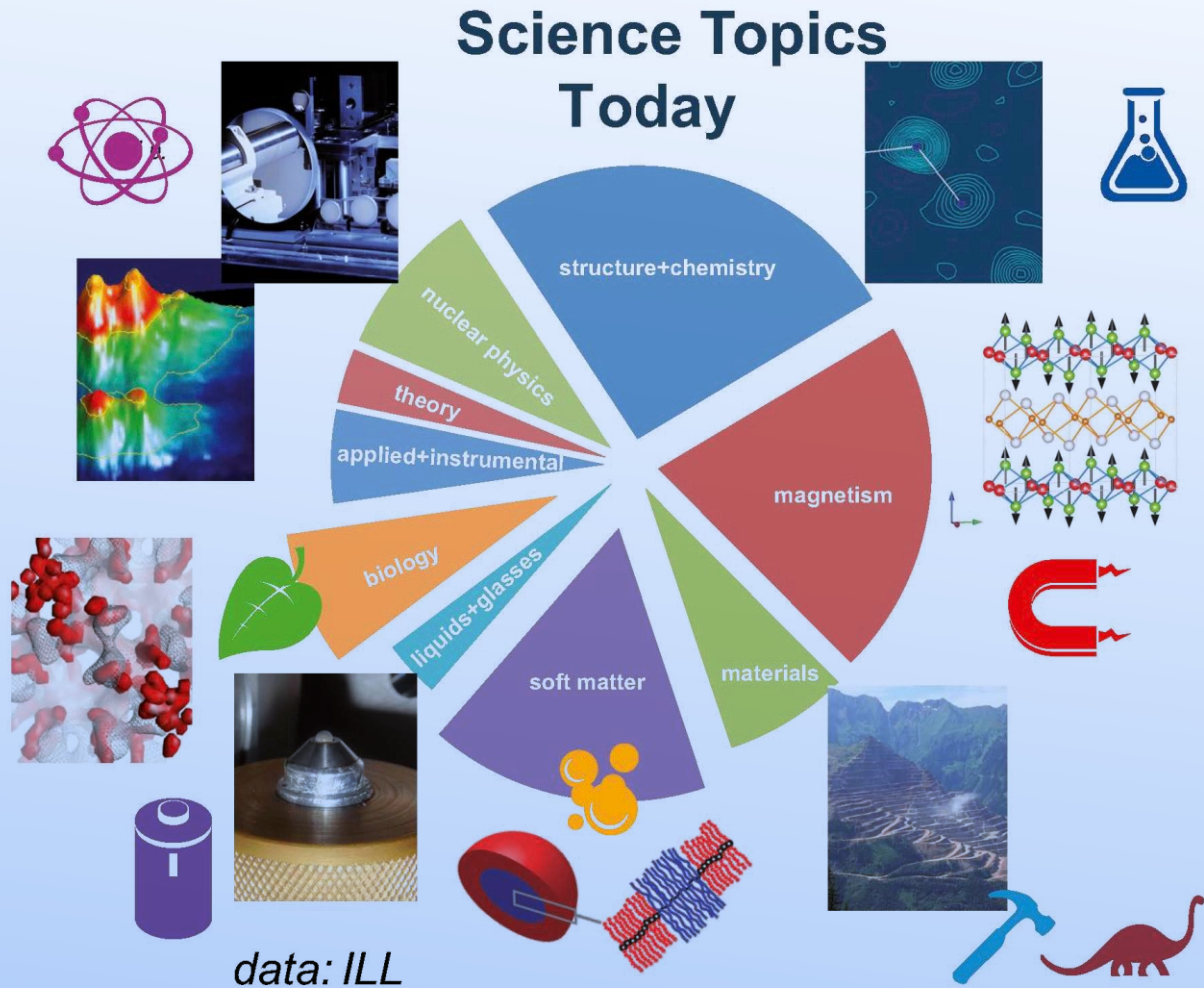
Neutrony i promienie X – komplementarność



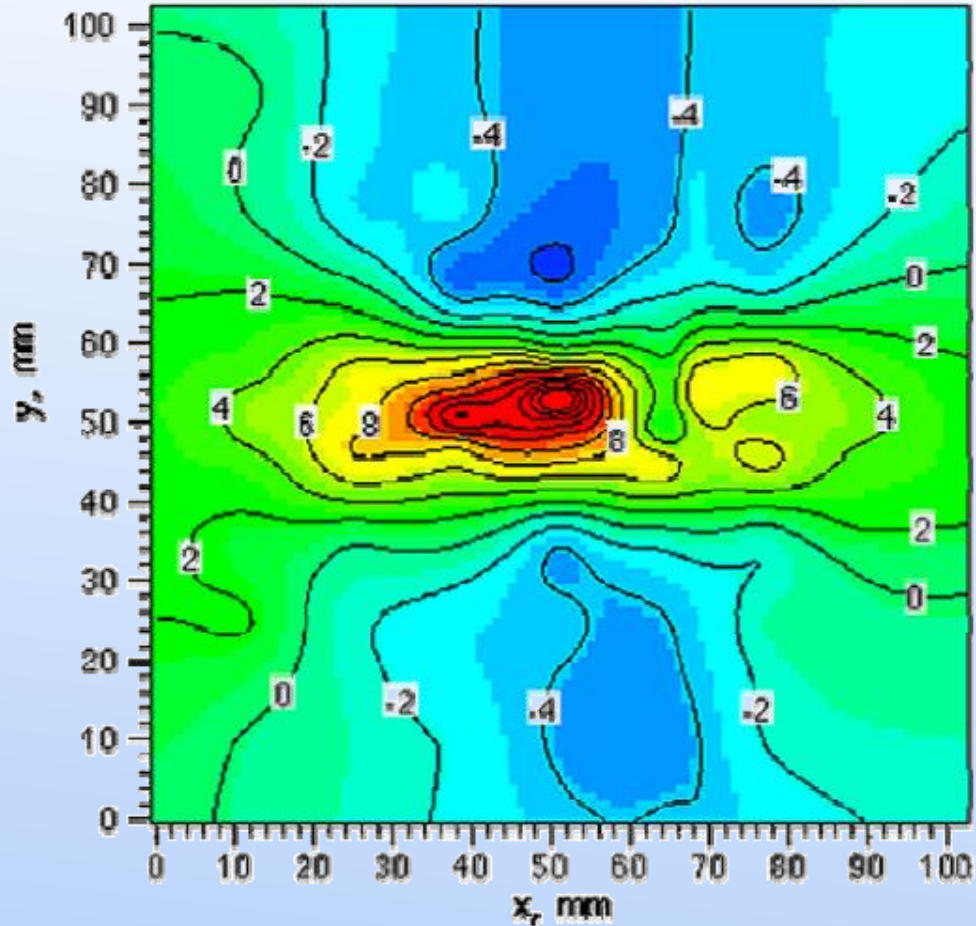
Dostępne zakresy czasowe i przestrzenne



Co badamy i w jakich skalach

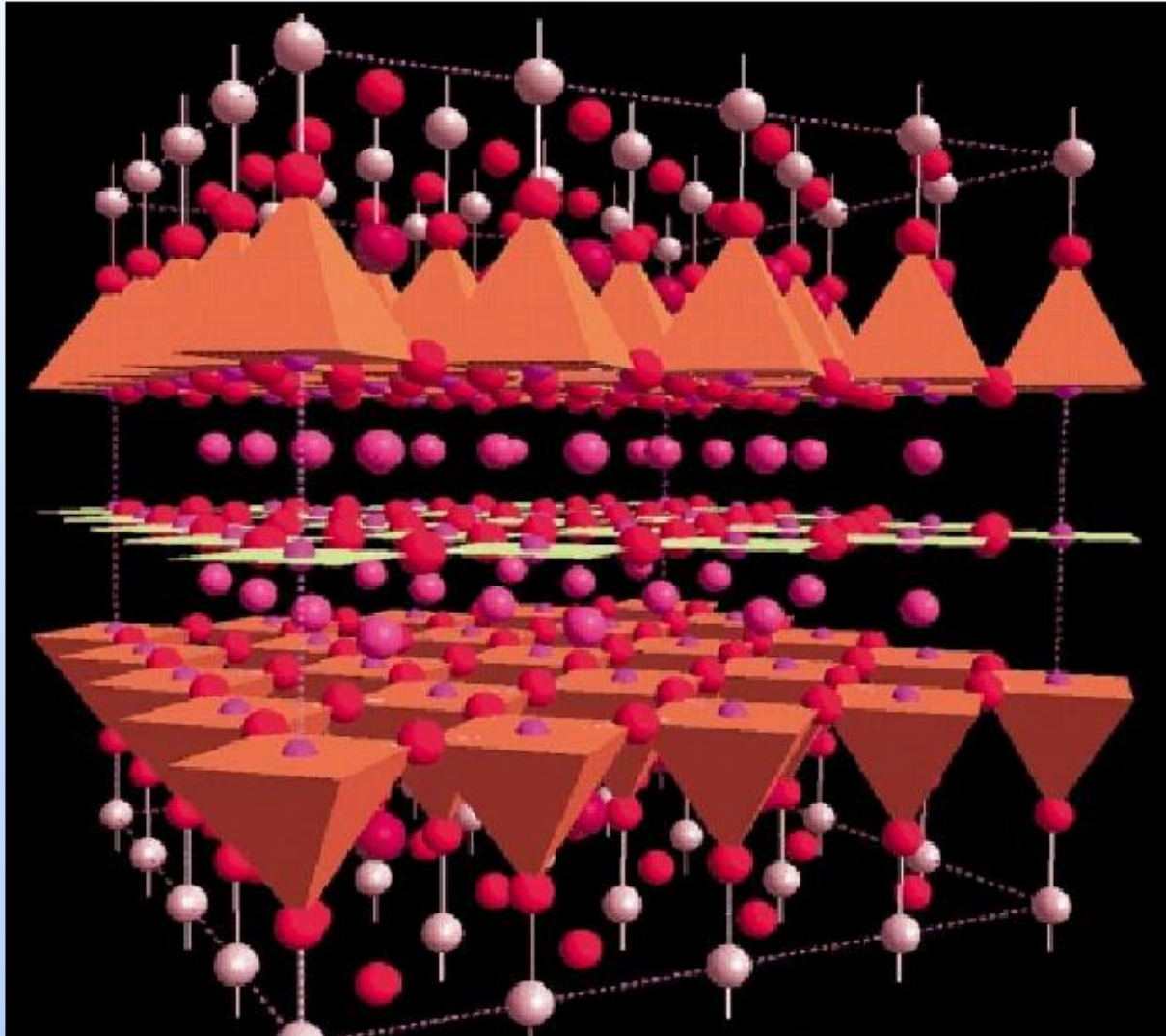


Naprężenia resztkowe w połączeniach spawanych



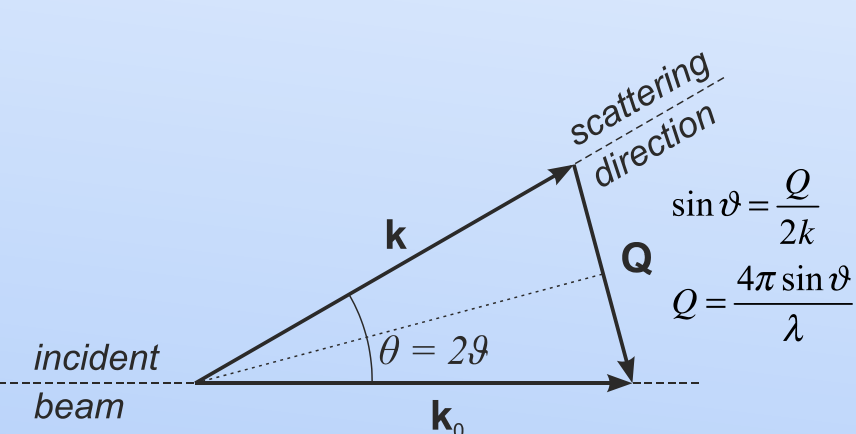
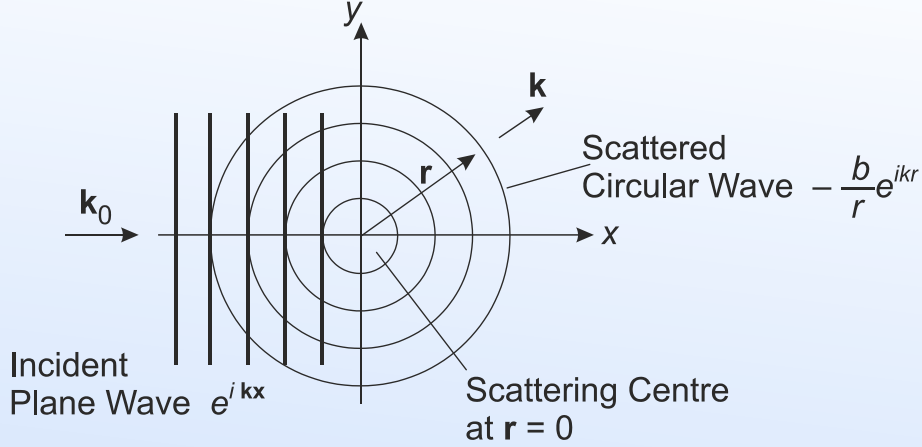
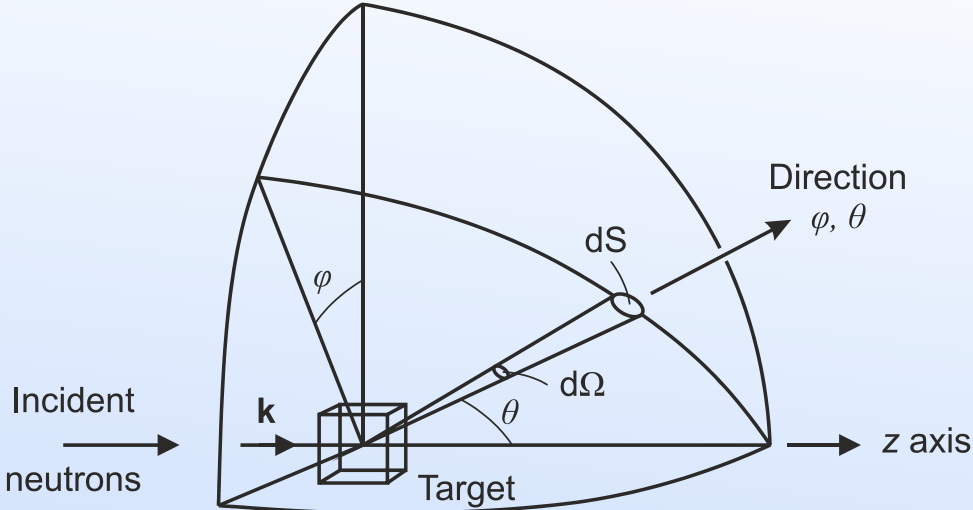
Nowoczesny przemysł lotniczy – połączenia spawane zamiast nitowanych

Wysokotemperaturowe nadprzewodniki

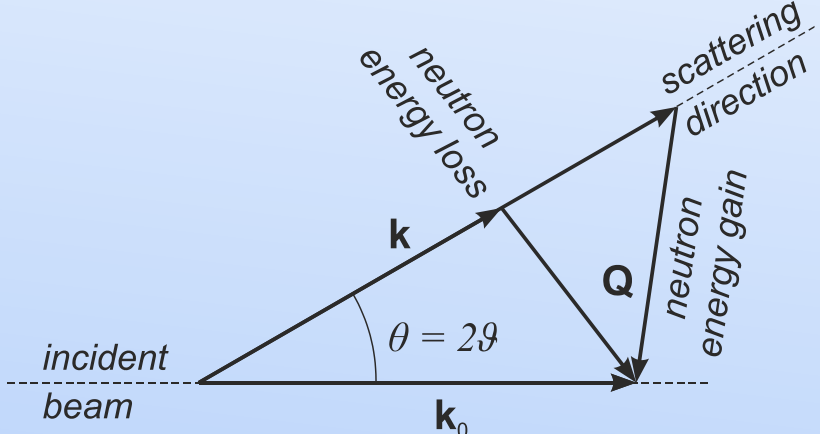


Bardzo istotna znajomość
Polożeń atomów tlenu.
Pozwala je określić
dyfrakcja neutronów

Rozpraszanie neutronów – geometria eksperymentu

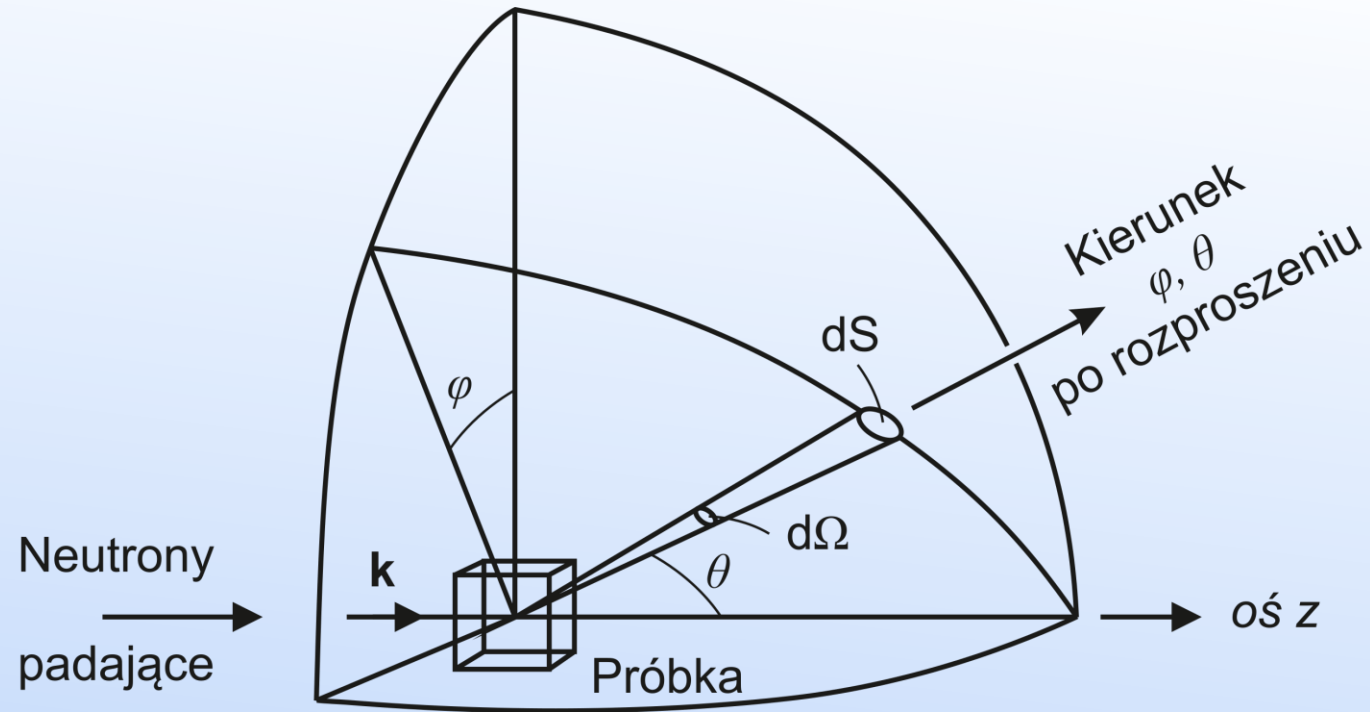


Elastic scattering



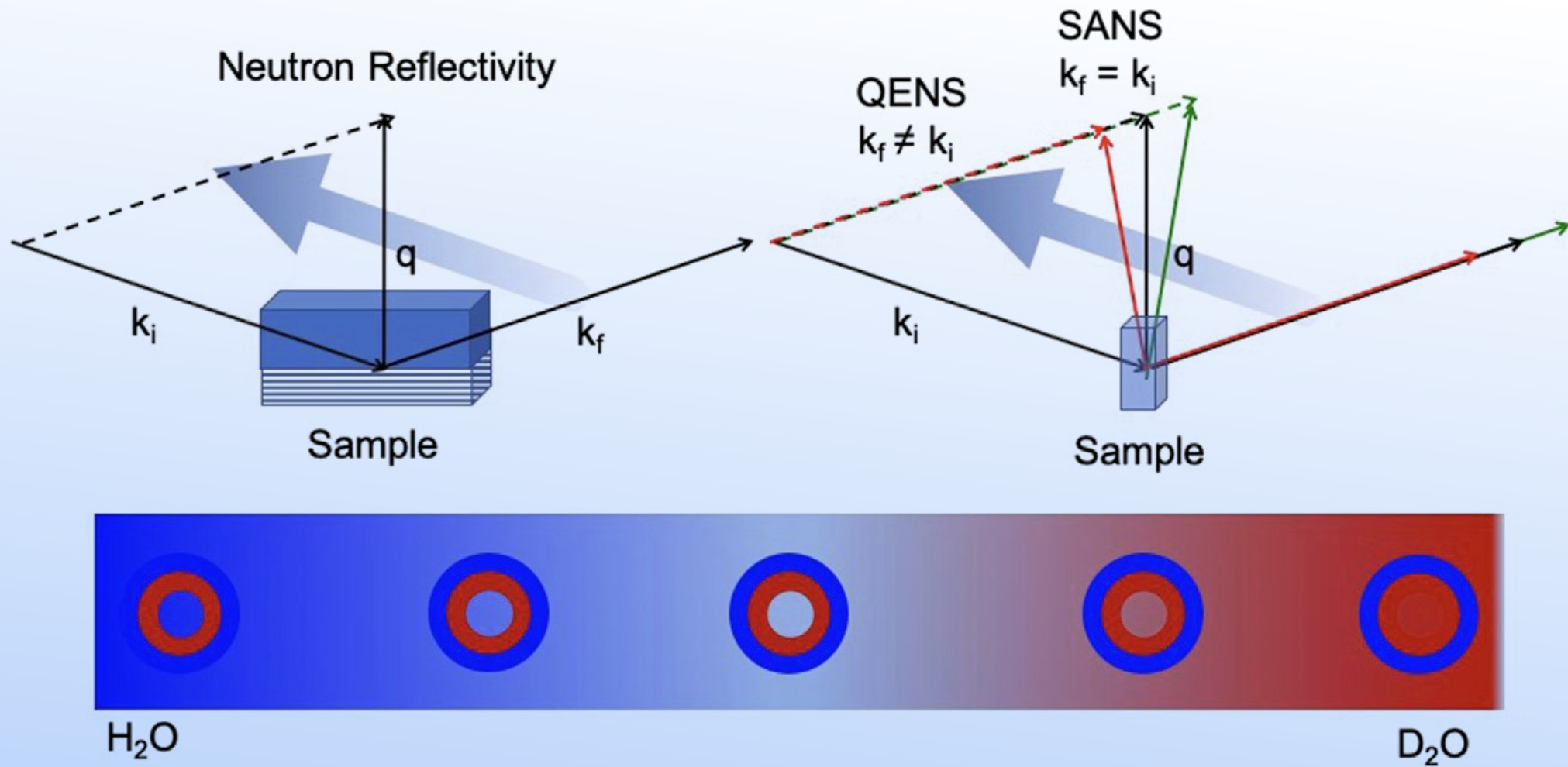
Inelastic scattering

Rozpraszanie neutronów – geometria eksperymentu



$$\frac{d\sigma}{d\Omega} = \sum_{i,j} \langle b_i^* b_j \rangle \exp(i\mathbf{Q} \cdot (\mathbf{r}_i - \mathbf{r}_j)) = \underbrace{N (\bar{b}^2 - (\bar{b})^2)}_{\text{spin incoherent}} + \underbrace{\bar{b} \sum_{i,j} \exp(i\mathbf{Q} \cdot (\mathbf{r}_i - \mathbf{r}_j))}_{\text{spin coherent}}$$

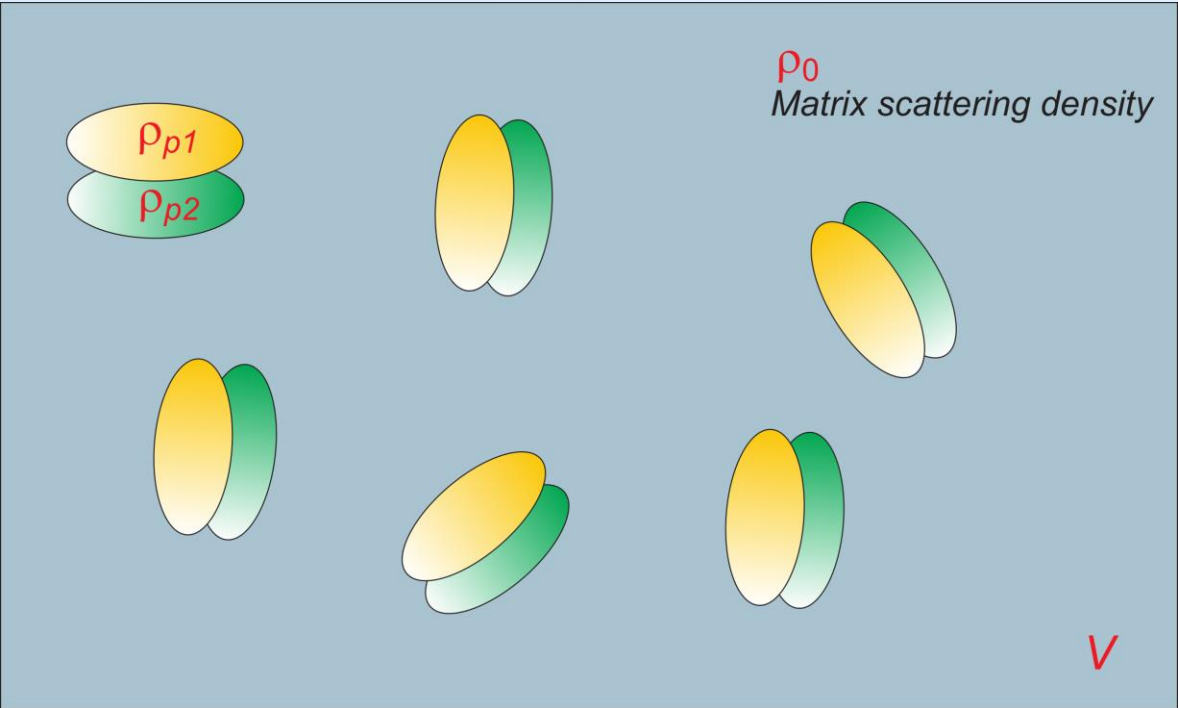
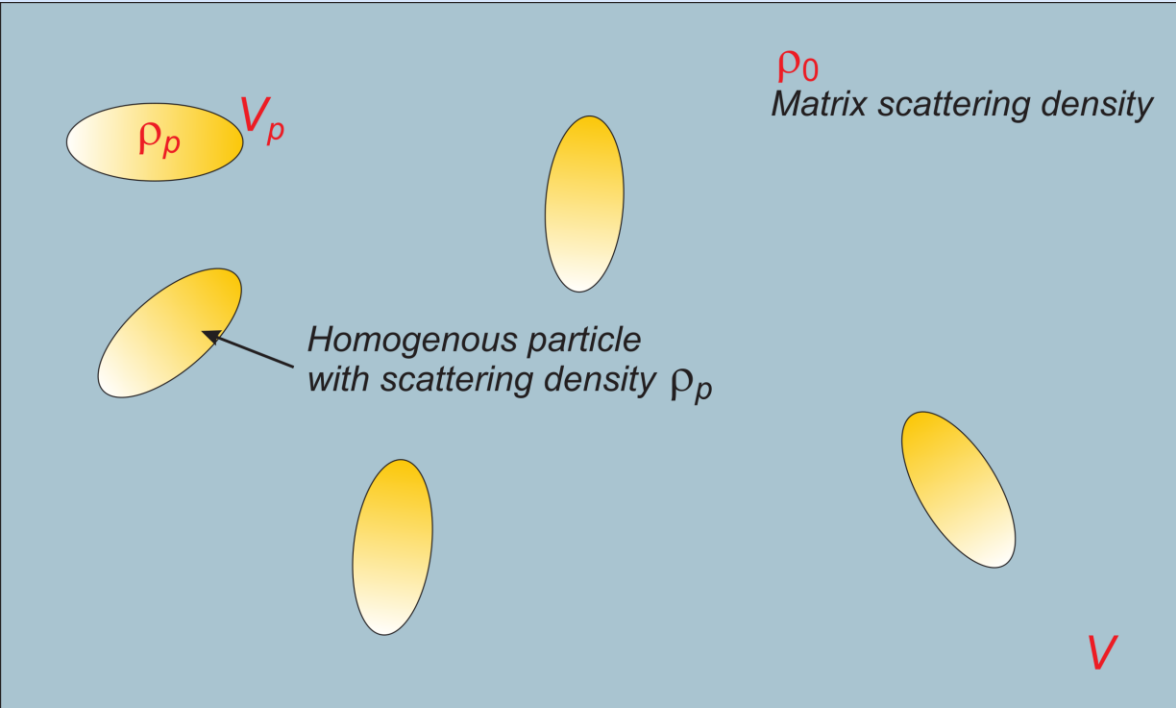
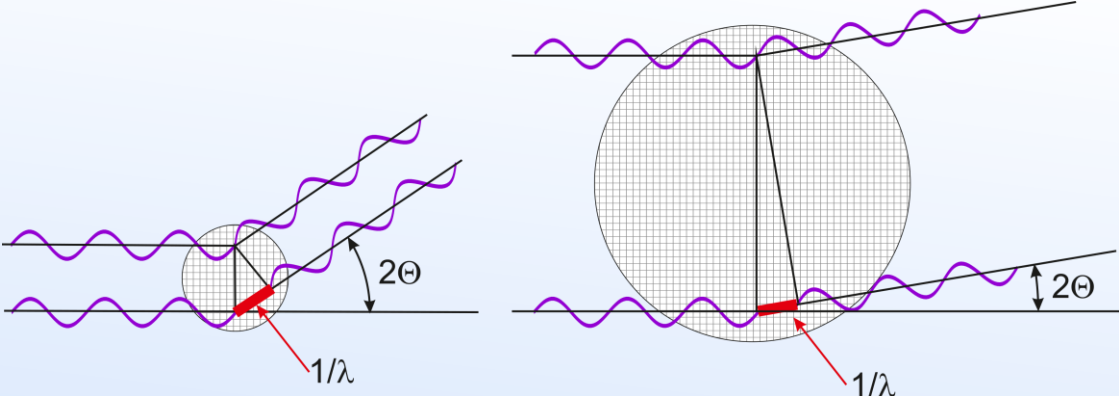
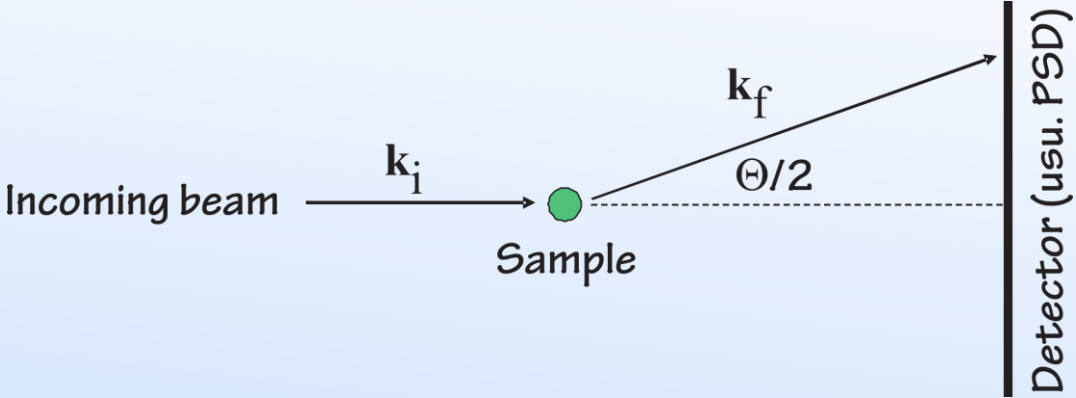
Struktura i dynamika membran



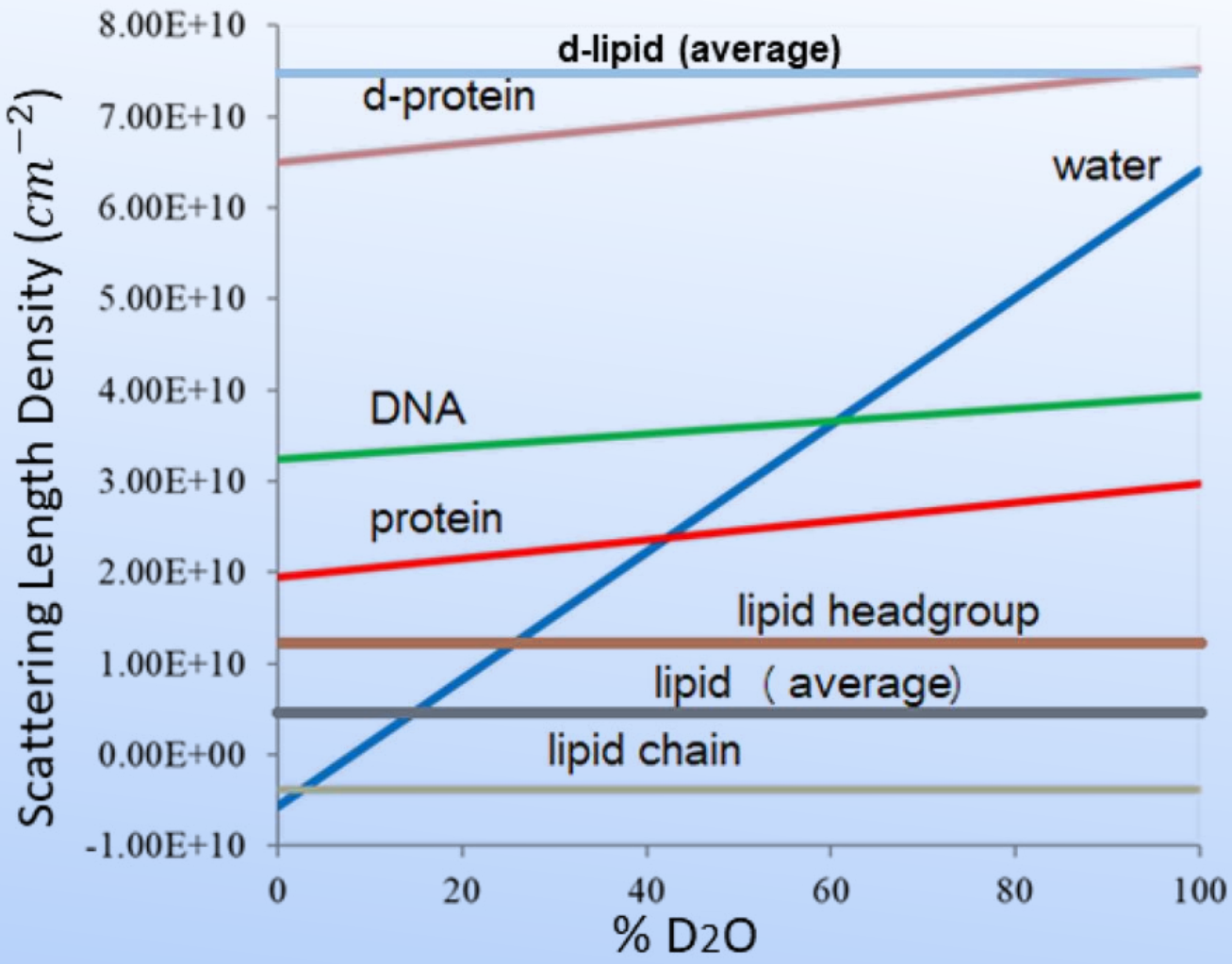
Samo-złożone (*self-assembled*) membrany są wszechobecne (surfaktanty, fosfolipidy, systemy biologiczne). **Reflektometria** sonduje warstwową strukturę wgłębną, szorstkość, itp., **SANS** – strukturę objętościową, zaś **QENS** – dynamikę.

Nieocenione jest przy tym **podstawienie izotopowe**, tak w badaniach strukturalnych, jak w dynamicznych.

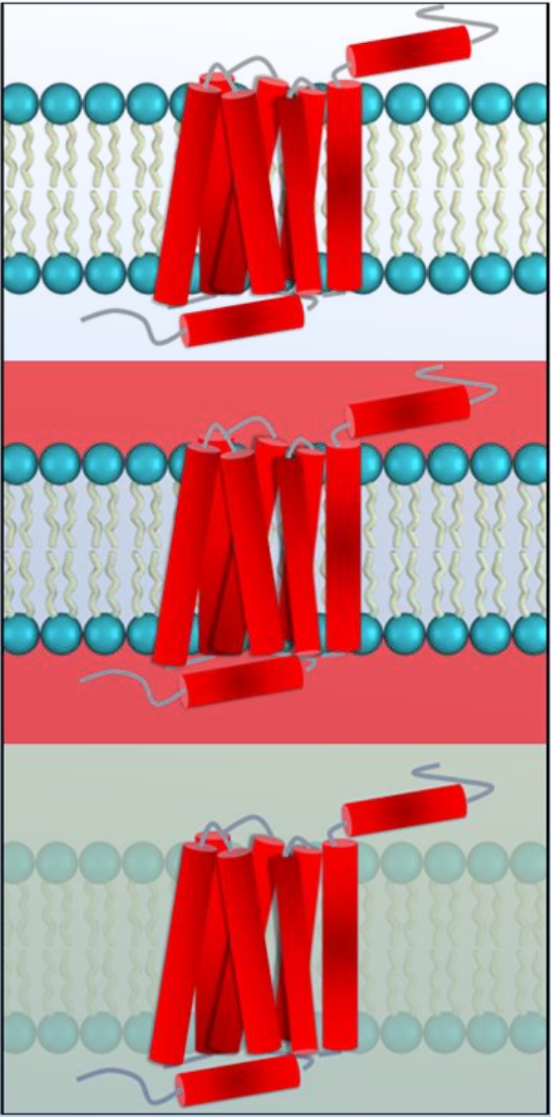
SANS – badanie struktur „wielkoskalowych”



Jeszcze o podstawieniu izotopowy w badaniu membran

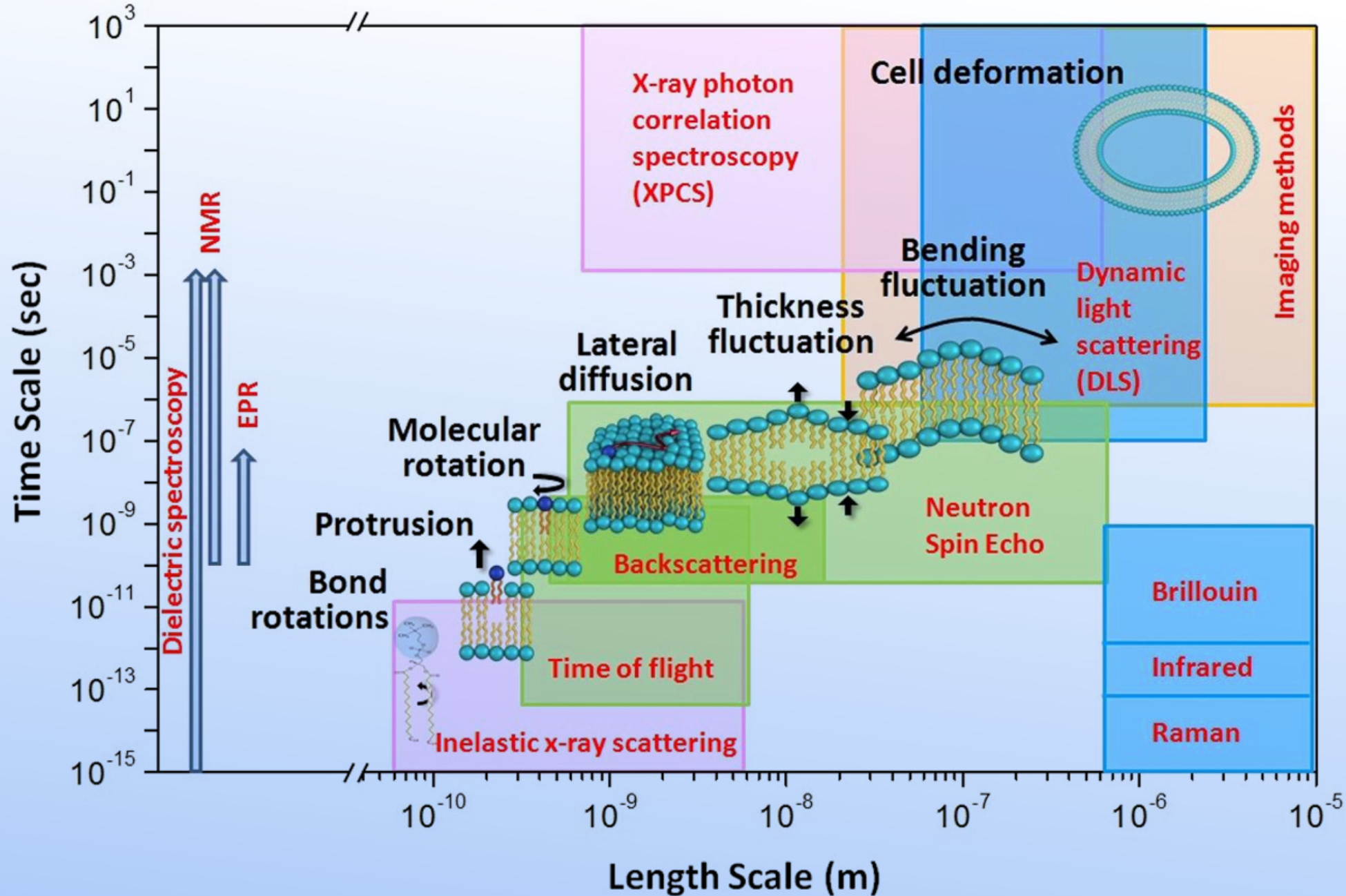


A

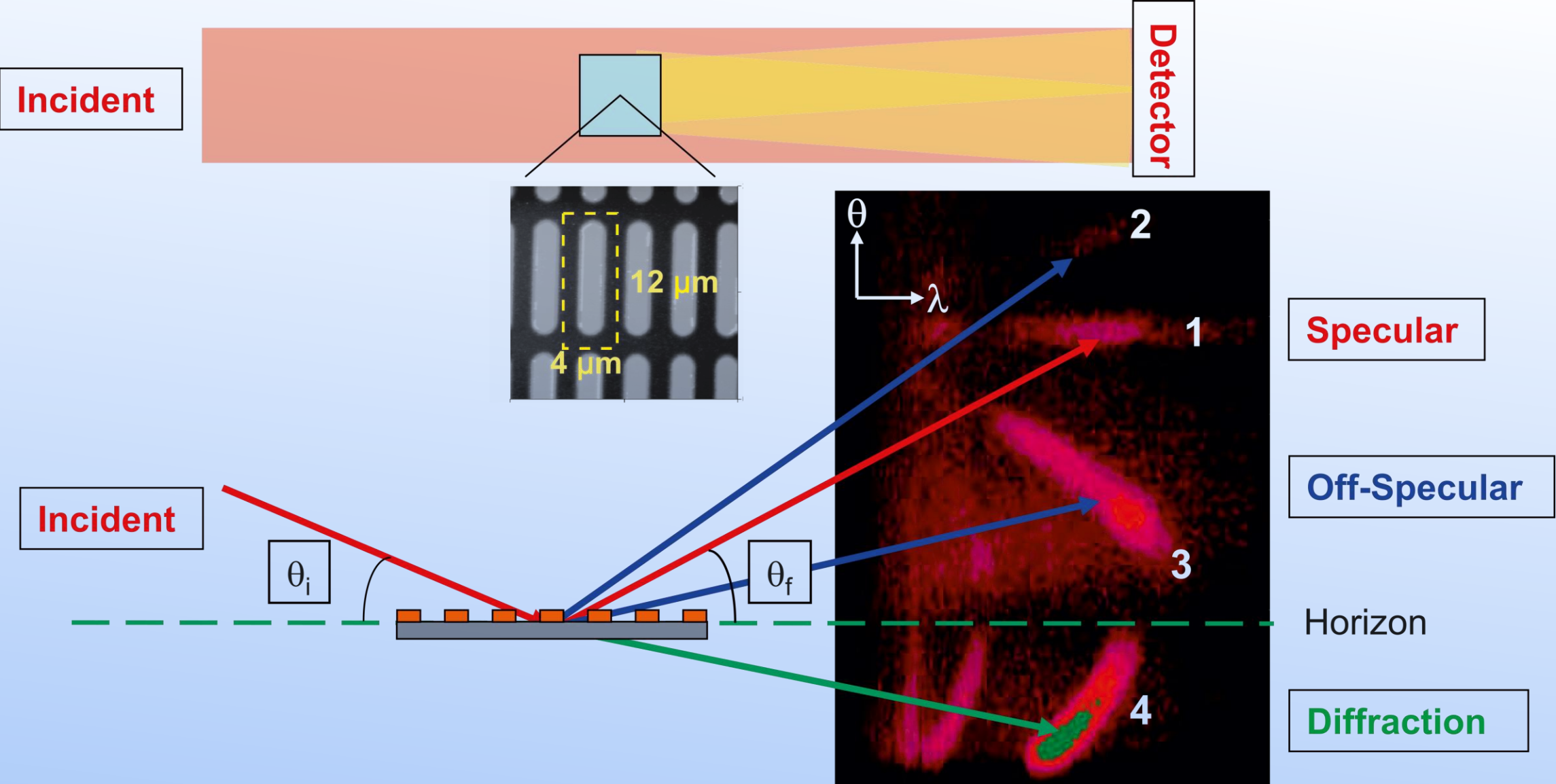


B

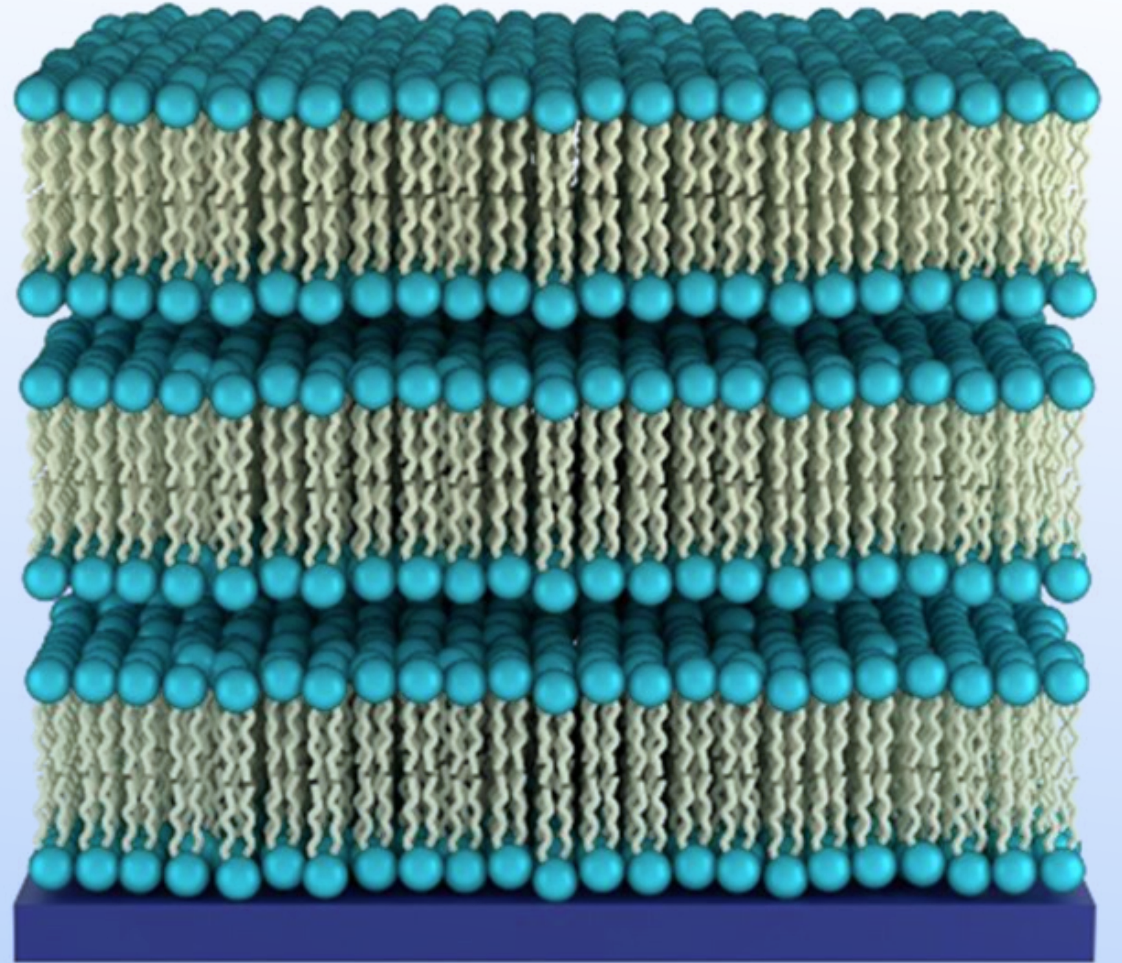
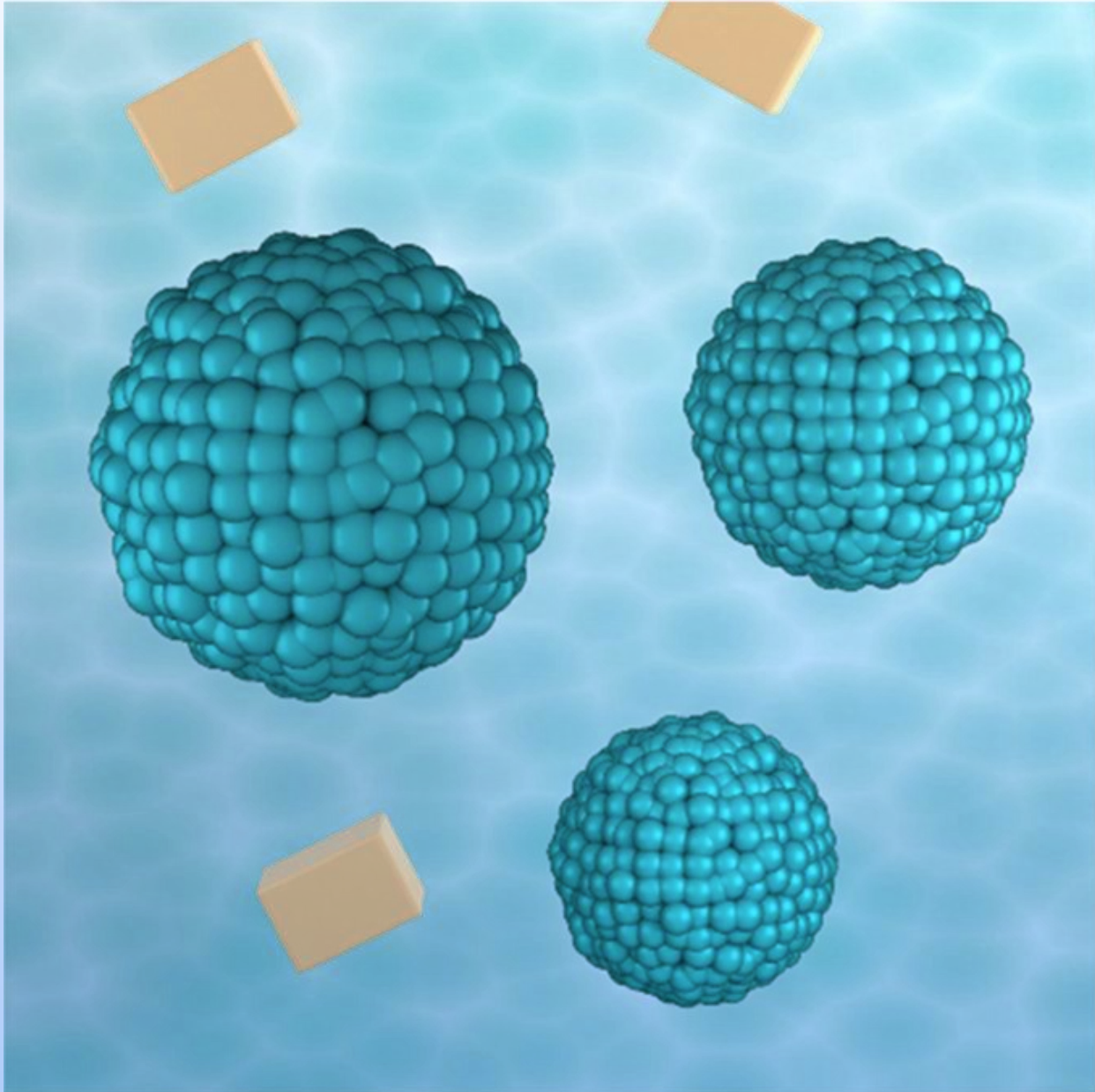
Dinamika membran



Spin Echo Small Angle Measurement (SESAME)

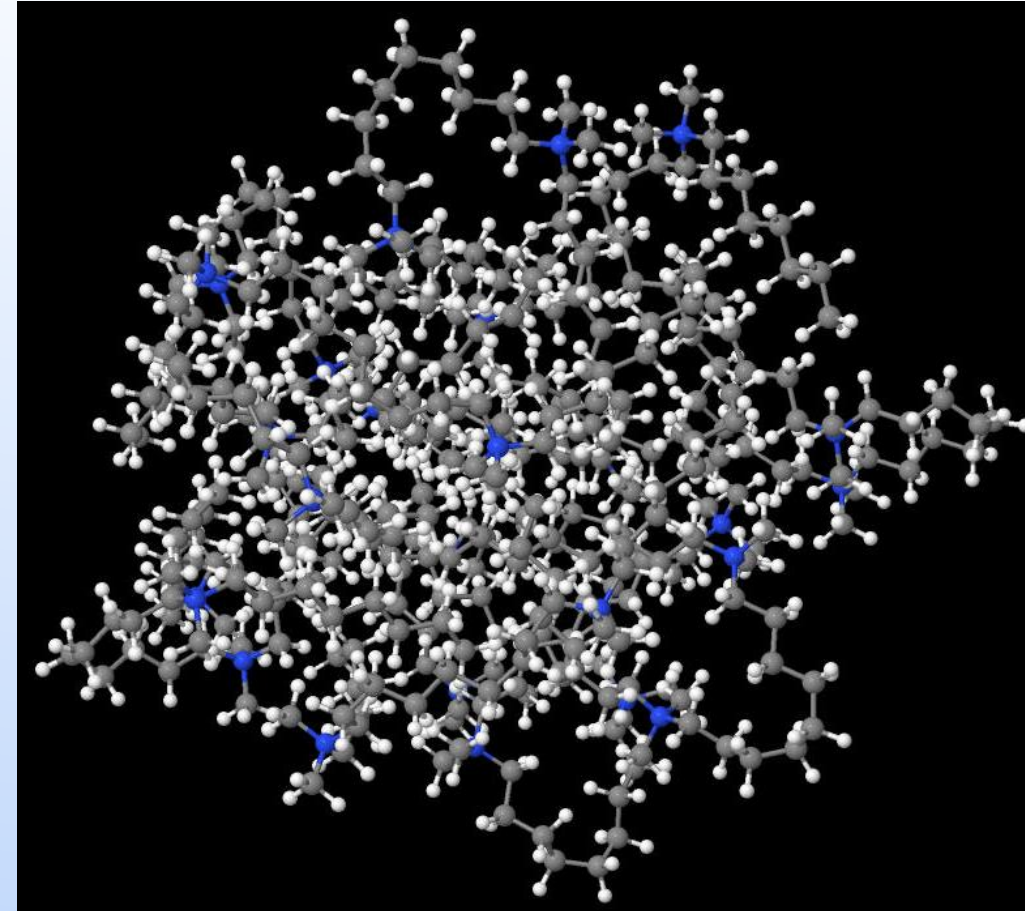
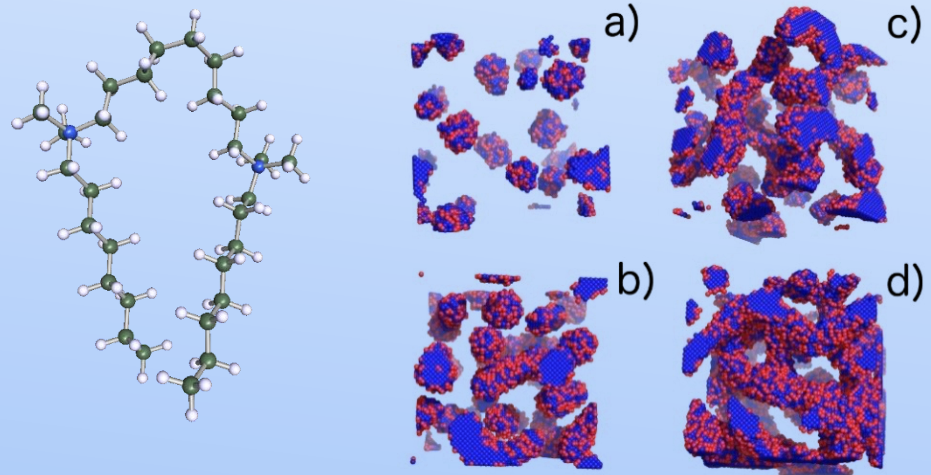
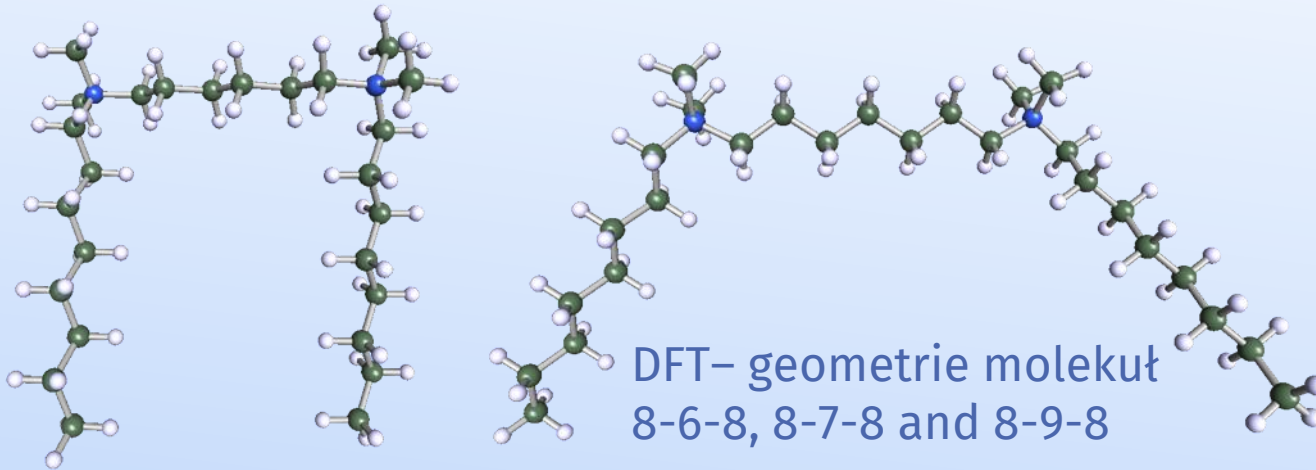


SANS – badanie struktur „wielkoskalowych”



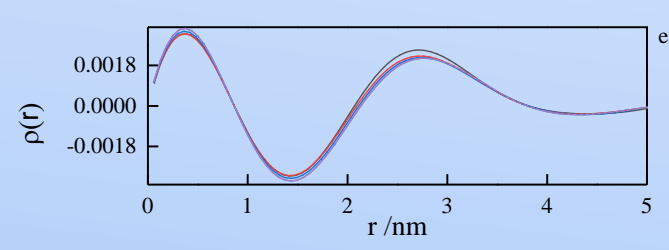
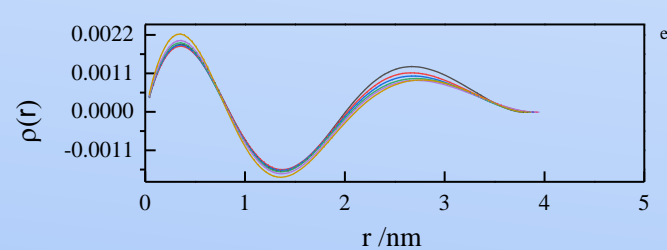
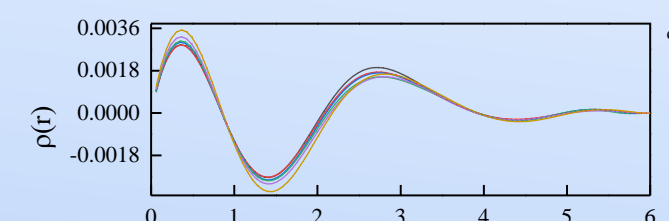
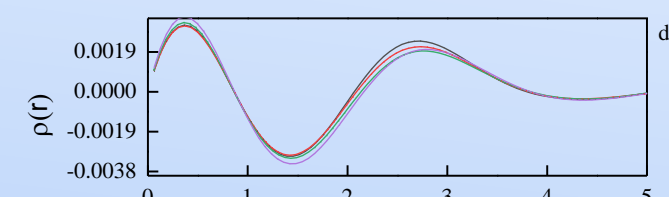
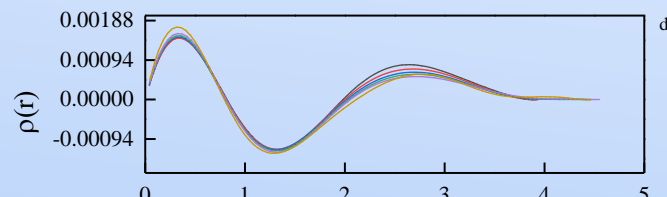
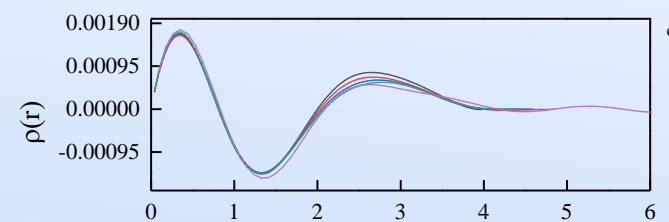
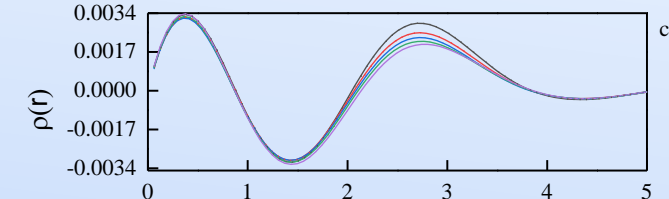
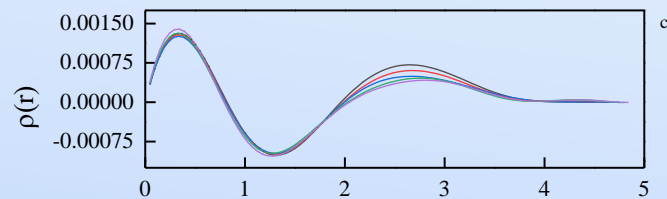
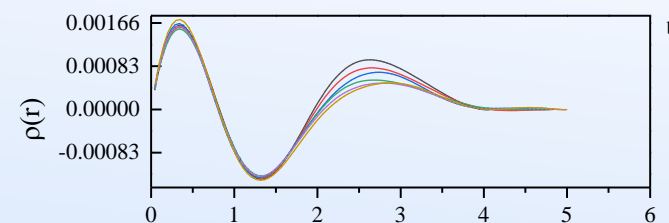
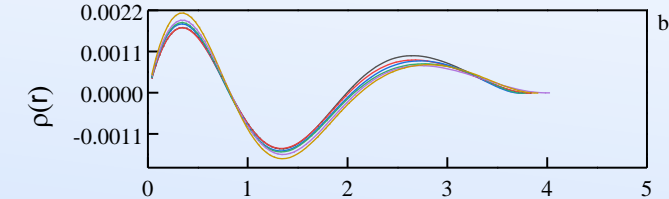
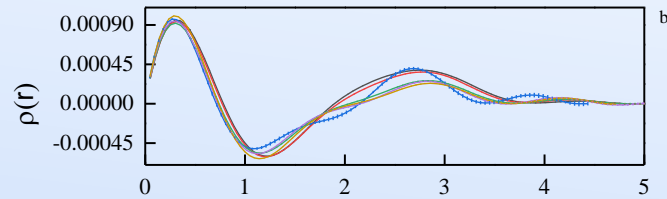
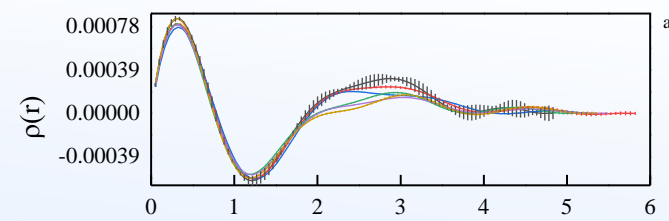
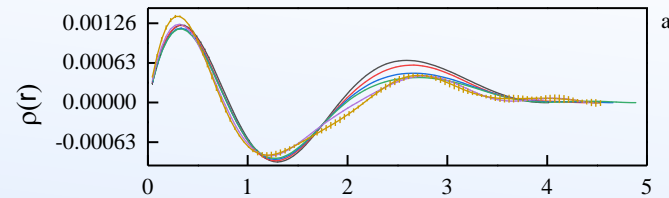
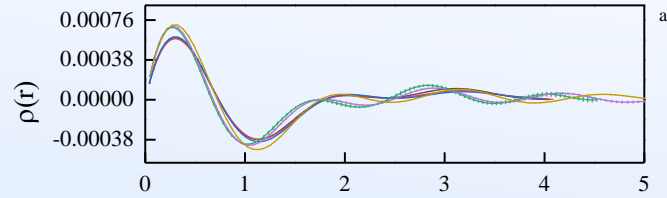
Micelizacja „bliźniaczych” surfaktantów (*gemini surfactants*)

K. Łudzik, S. Wołoszczuk, W. Zając, M. Jażdżewska, A. Rogachev,
A.I. Kuklin, et al. Can the Isothermal Calorimetric Curve Shapes
Suggest the Structural Changes in Micellar Aggregates?
Int. J. Mol. Sci. 2020, 21, 5828; doi:10.3390/ijms21165828



Symulacja komputerowa miceli of 8-9-8
Conductor-like Screening Model (COSMO)

Micelizacja „bliźniaczych” surfaktantów (*gemini surfactants*)

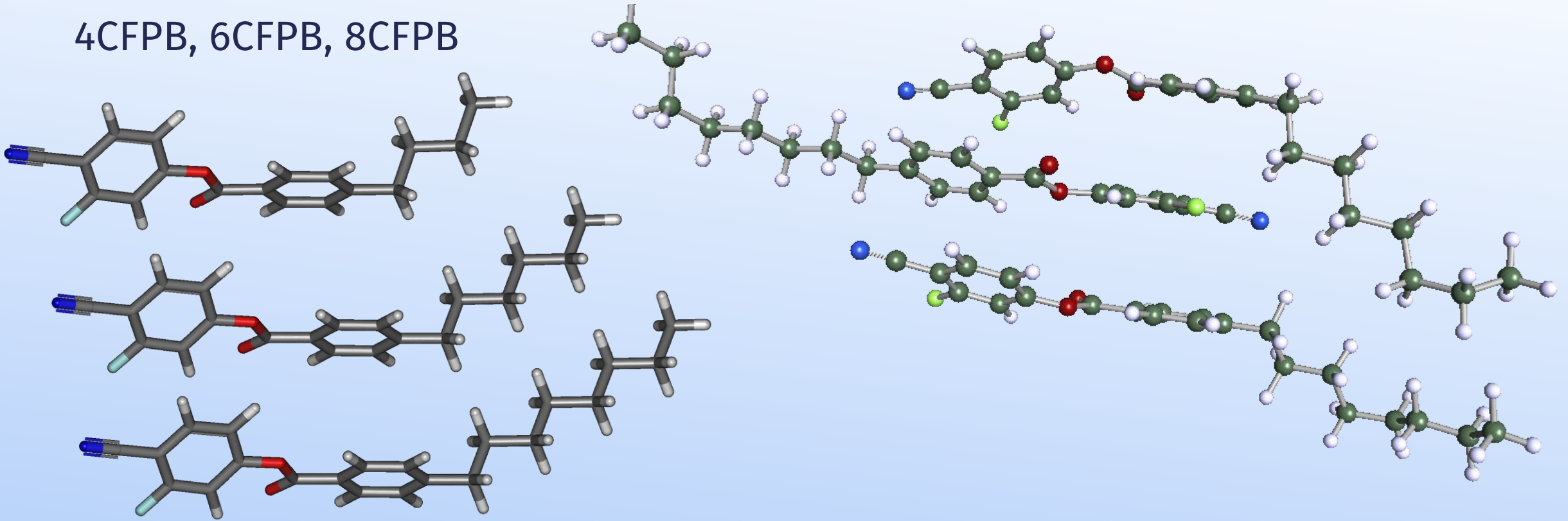


Pair distance distribution functions (PDDF) otrzymane z SAS przez pośrednią transformację Fouriera (IFT)

Ciekły kryształ w nanoporach (membrany AAO)

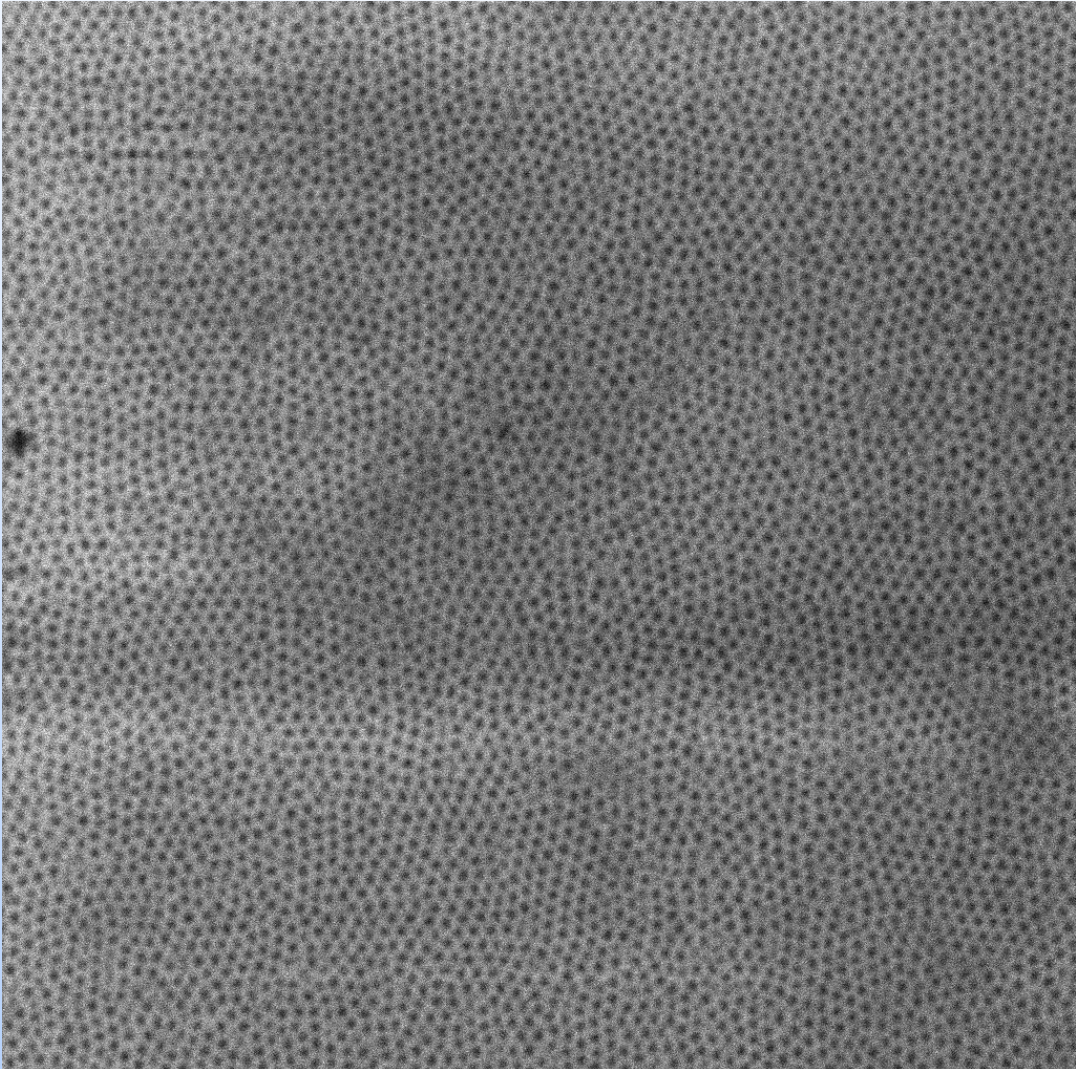
E. Juszyńska-Gałązka, W. Zając, D. Soloviov
To be published soon, further work in progress.

4CFPB, 6CFPB, 8CFPB

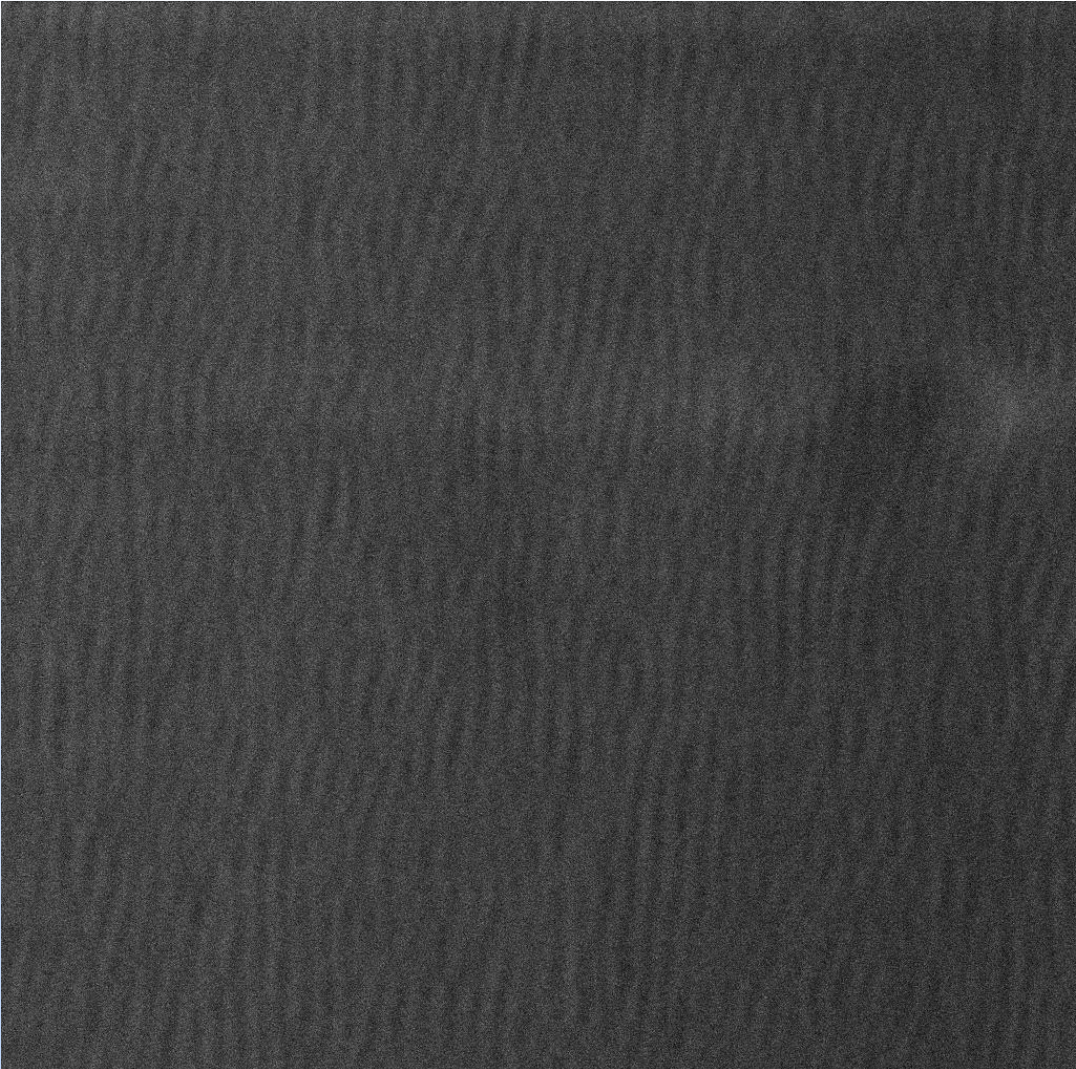


Tak porządkują się cząsteczki

Membrany AAO

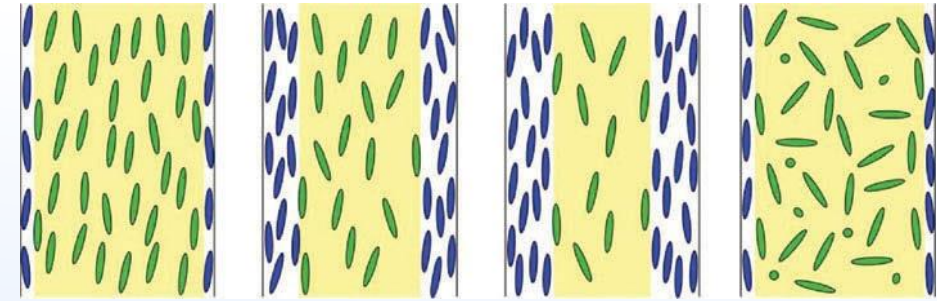
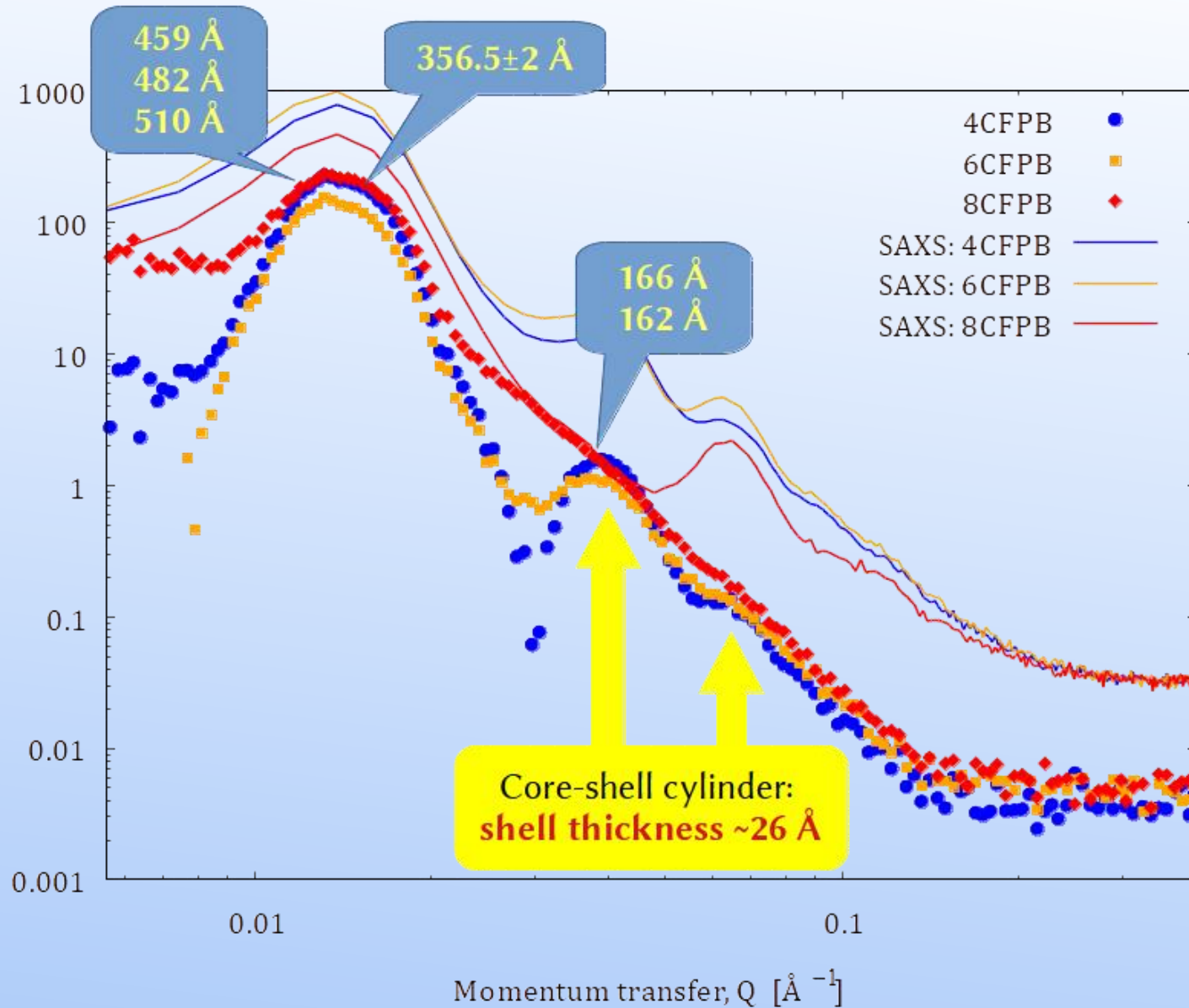


SEM HV: 4.0 kV	WD: 4.00 mm	VEGA3 TESCAN
BI: 5.00	SEM MAG: 83.4 kx	1 μ m
Det: SE	Date(m/d/y): 03/01/19	Performance in nanospace



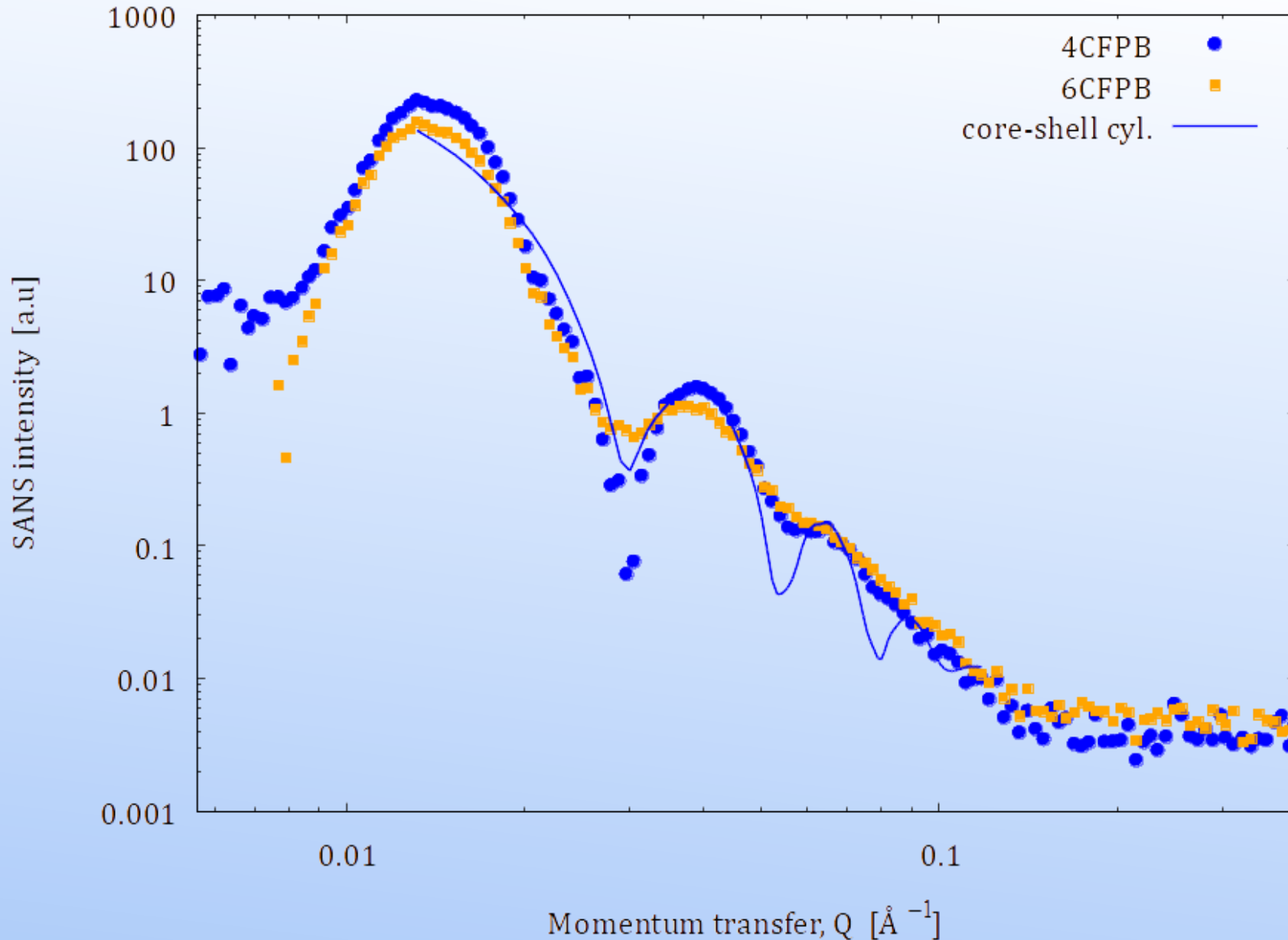
SEM HV: 3.0 kV	WD: 4.02 mm	VEGA3 TESCAN
BI: 5.00	SEM MAG: 131 kx	500 nm
Det: SE	Date(m/d/y): 03/01/19	Performance in nanospace

Ciekły kryształ w nanoporach



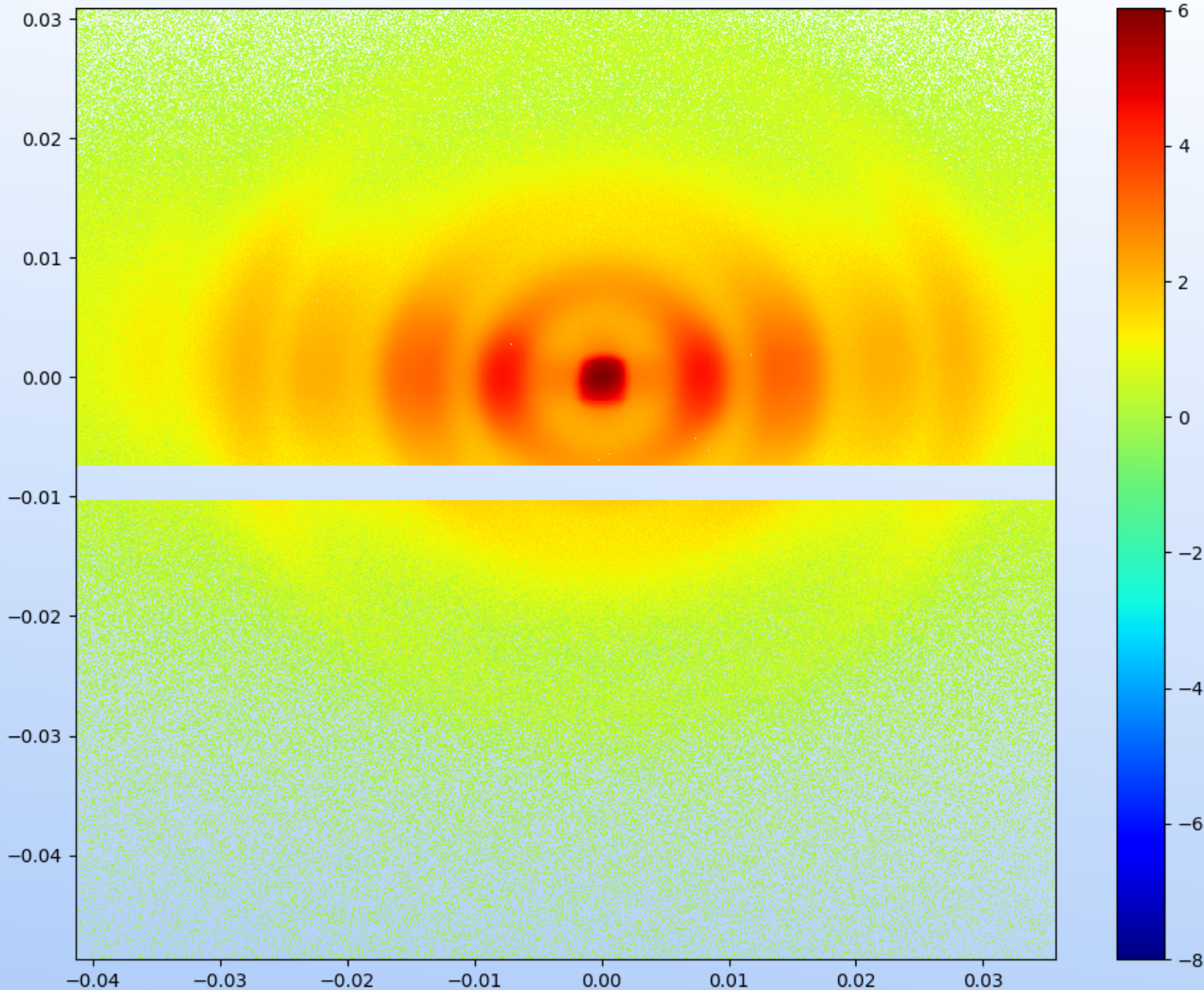
Przyścienna warstwa
paranematyczna

Ciekły kryształ w nanoporach – analiza danych SANS



Po odjęciu czynnika strukturalnego (brak efektów koherencji „międzycząsteczkowej”)

Efekty absorpcji w pomiarach SAXS



BBOA

membrana 20nm, S-D: 4400mm

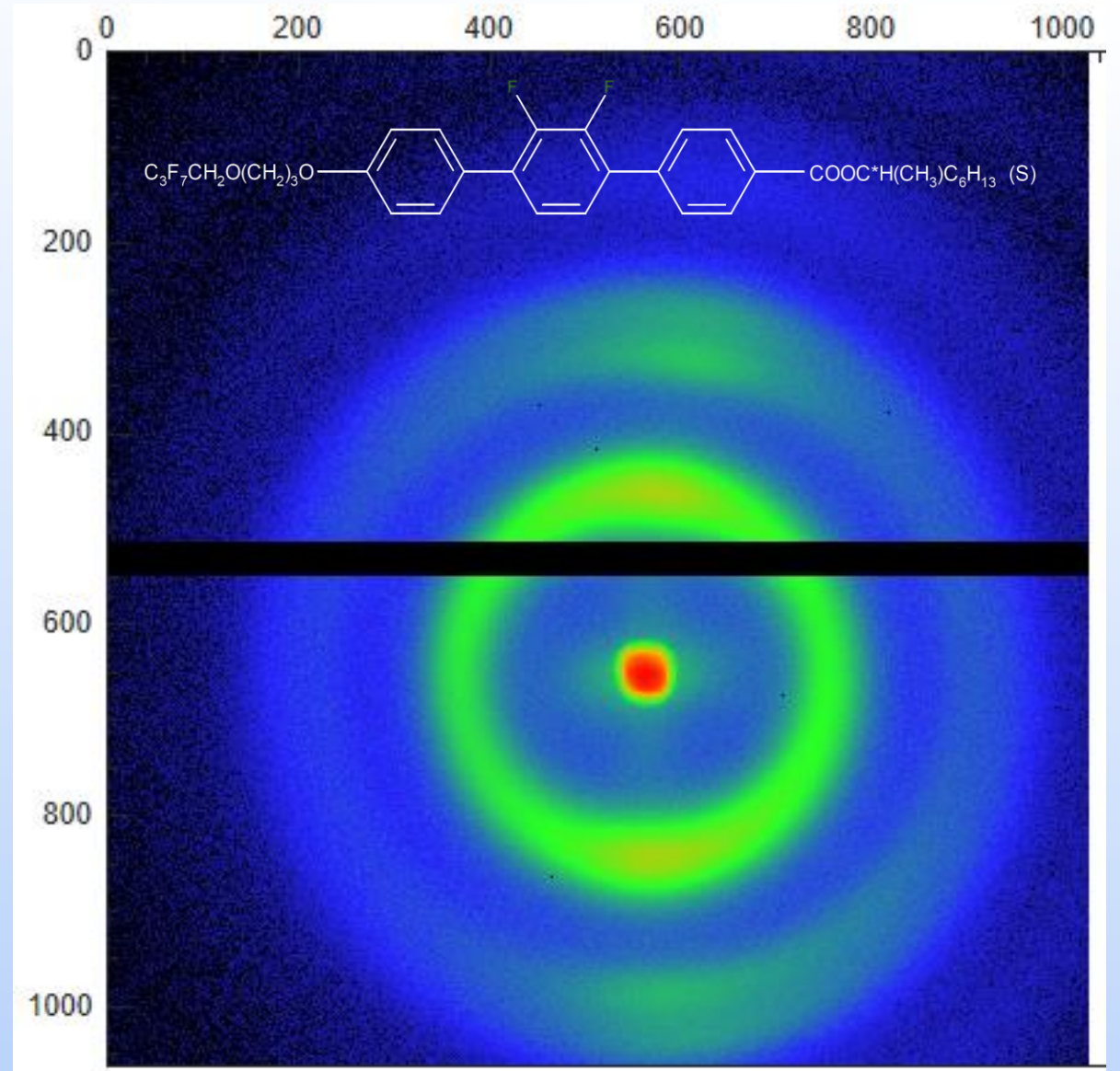
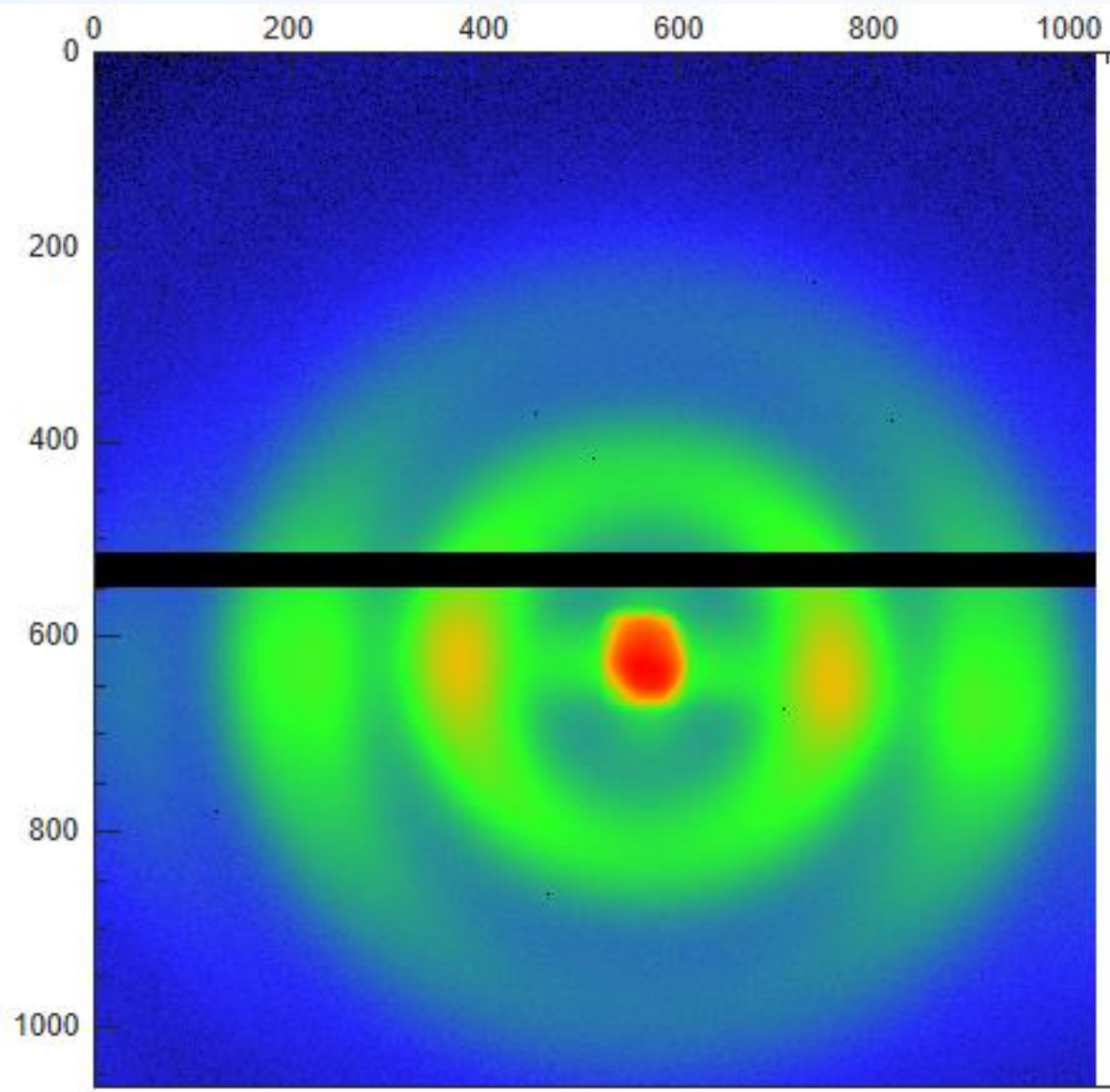
efekt pochylenia próbki
o kąt rzędu 0.5°

Problemy:

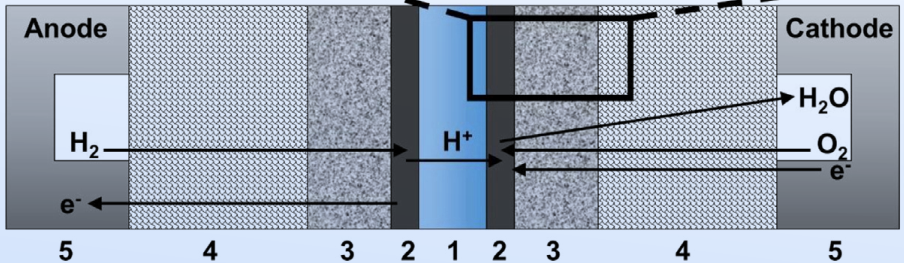
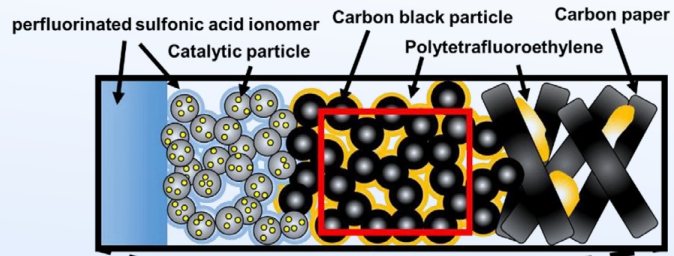
- orientacja próbki
- kontrast

Efekty absorpcji w pomiarach SAXS

membrana 20nm, S-D: 4400mm

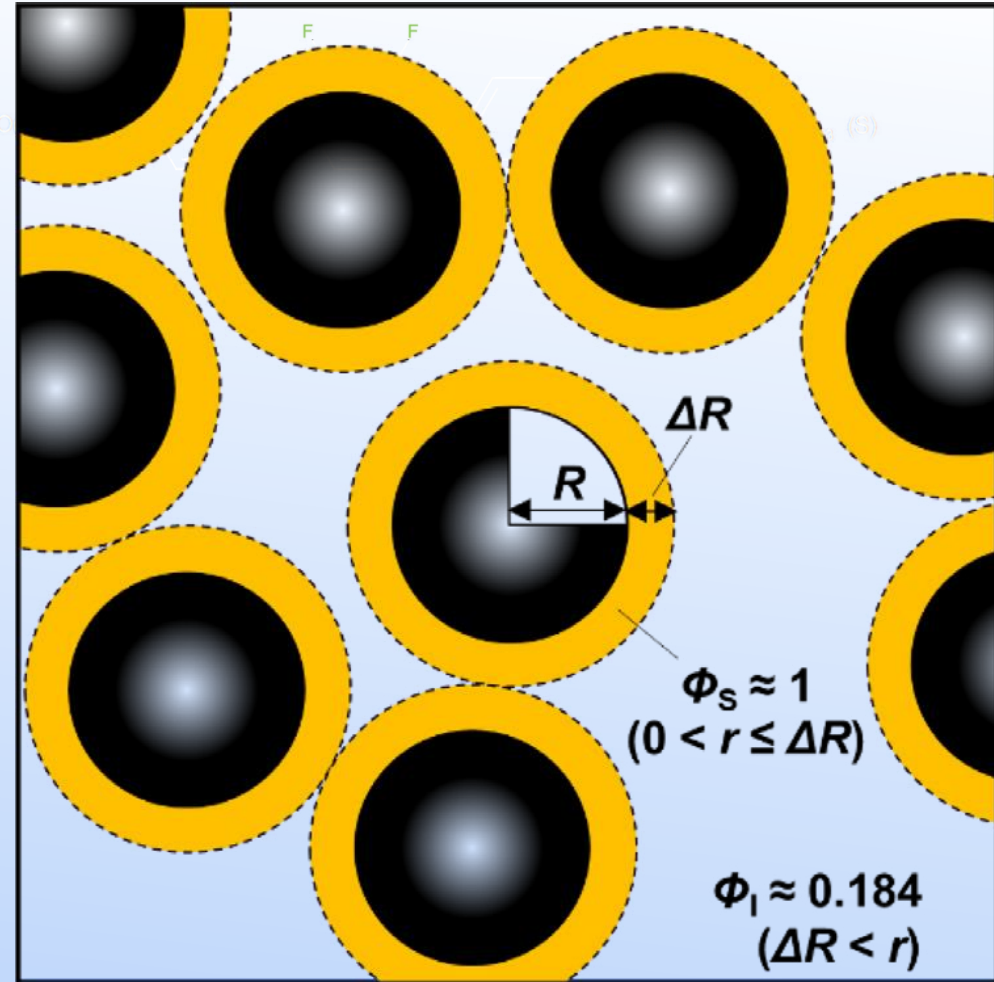
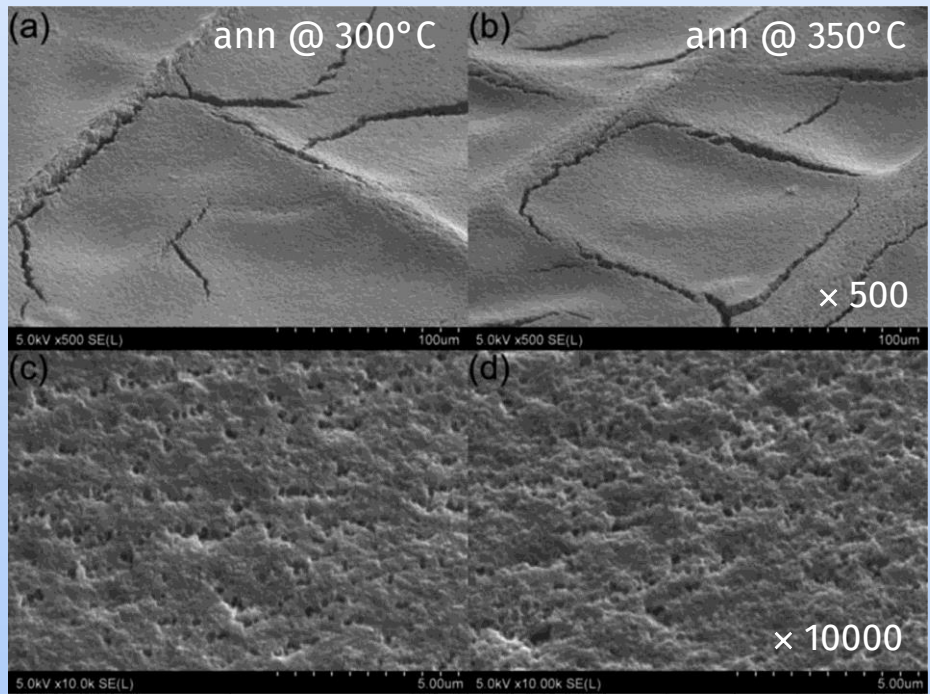


Ogniwa paliwowe z elektrolitem polimerowym



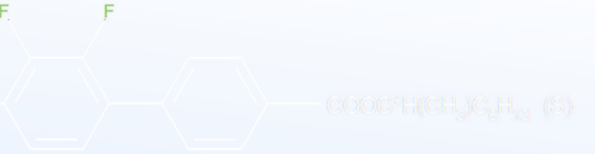
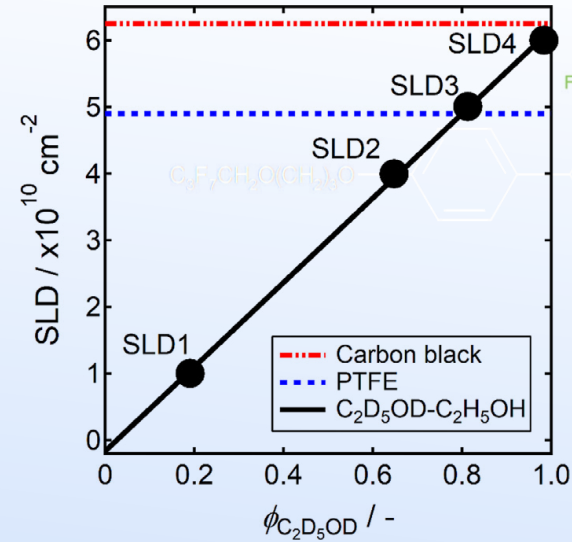
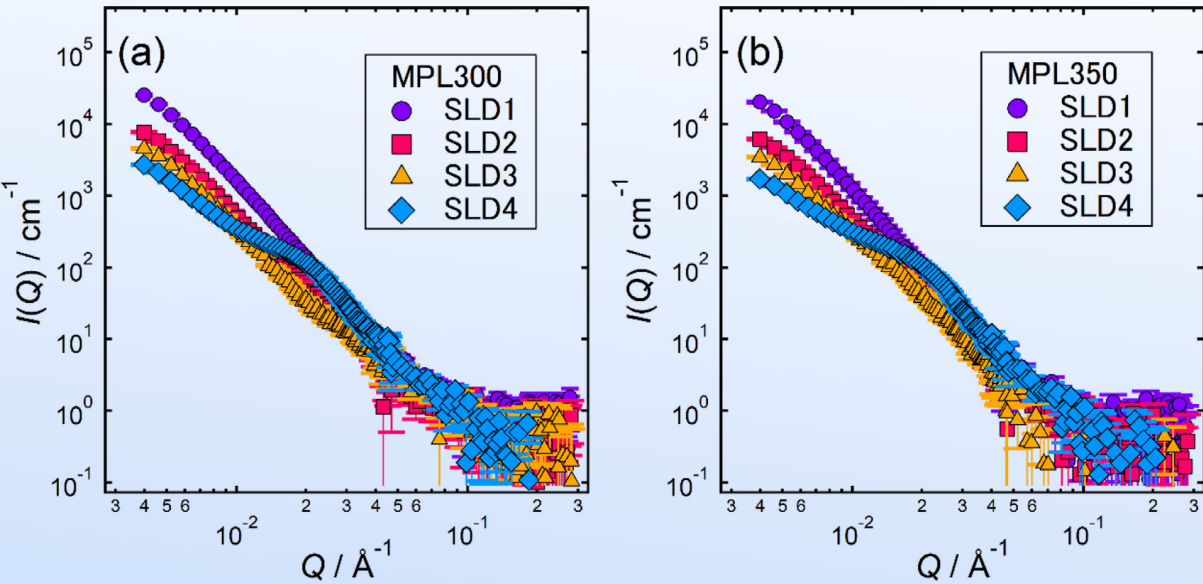
1. membrana pe
2. katalizator
3. warstwy mikroporowate
4. papier węglowy
5. kanały przepływu

obszar badany SANS

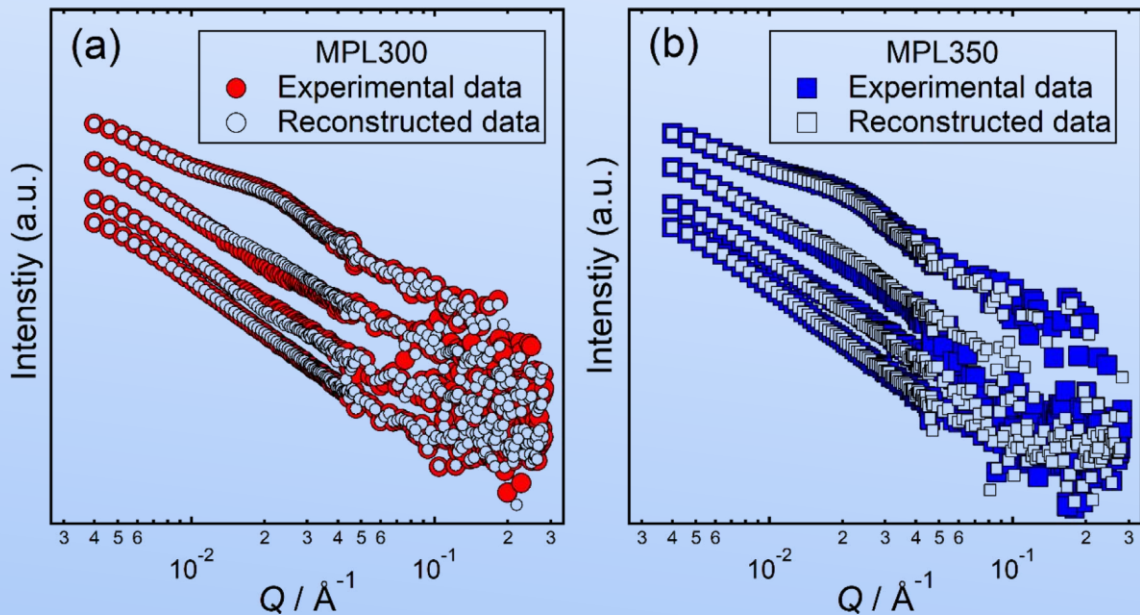


warstwa mikroporowata: węgiel/PTFE
– model «core-shell»

Ogniwa paliwowe z elektrolitem polimerowym



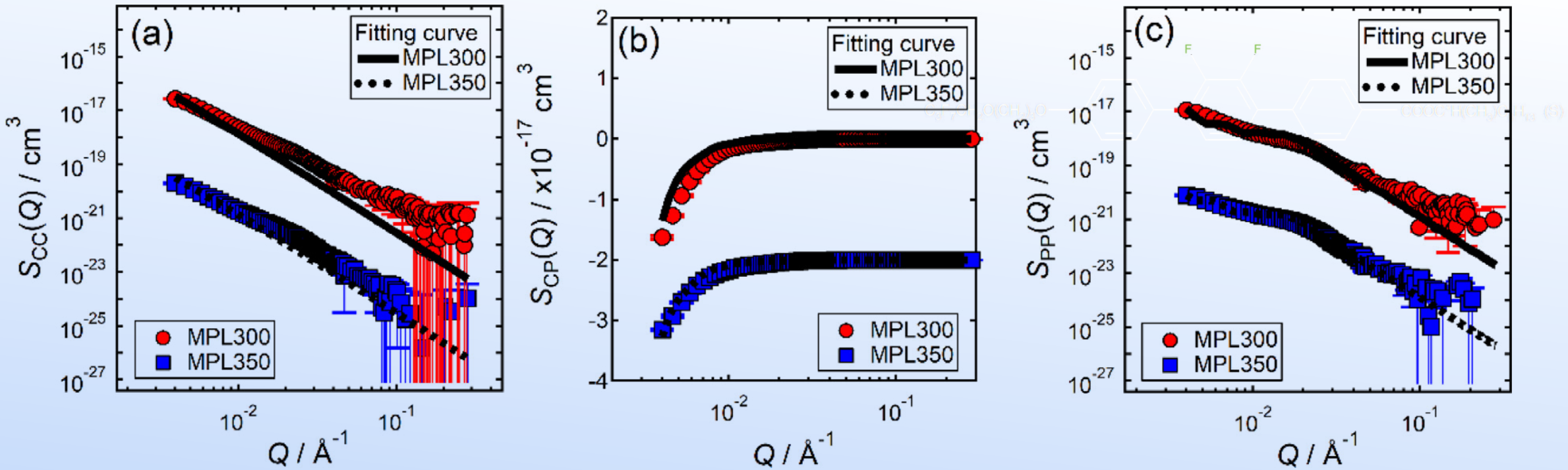
SANS – contrast variation / contrast matching



The best-fit parameters for MPL300 and MPL350.

Samples	\bar{R} (nm)	σ (nm)	ΔR (nm)
MPL300	71.6 ± 6.2	71.3 ± 0.5	76.6 ± 2.0
MPL350	73.6 ± 6.2	73.1 ± 0.4	90.1 ± 0.2

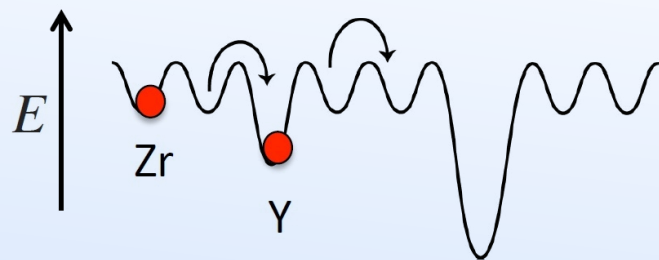
Ogniwa paliwowe z elektrolitem polimerowym



Cząstkowe funkcje rozpraszania: (a) $S_{CC}(Q)$, (b) $S_{CP}(Q)$, (c) $S_{PP}(Q)$

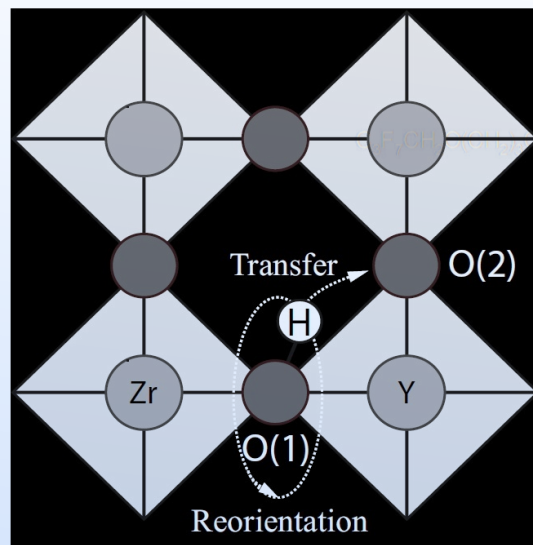
A post-annealing process, using temperatures above the PTFE melting point, reduced the quantum of PTFE self-aggregates. Based on fuel cell testing, we established that lowering PTFE self-aggregates within the MPLs reduced mass-transport losses under high-humidity cell conditions, and that the origin of PTFE adhesion to carbon black could be explained by the low surface energy of PTFE.

Ogniwa paliwowe – dynamika w układach złożonych



M. Karlsson et al. Chem. Mater. (2010)

Trapping- detrapping processes,
e.g. in Y-doped BaZrO_3 ($\text{BaZr}_{1-x}\text{Y}_x\text{O}_{3-x}$)



Karlsson: “Killer experiments: proton diffusion over large (Q,t) range
 $t = 1 \text{ ps} - 100 \text{ ns}$, $Q = 0.2 - 4 \text{ \AA}^{-1}$ ”



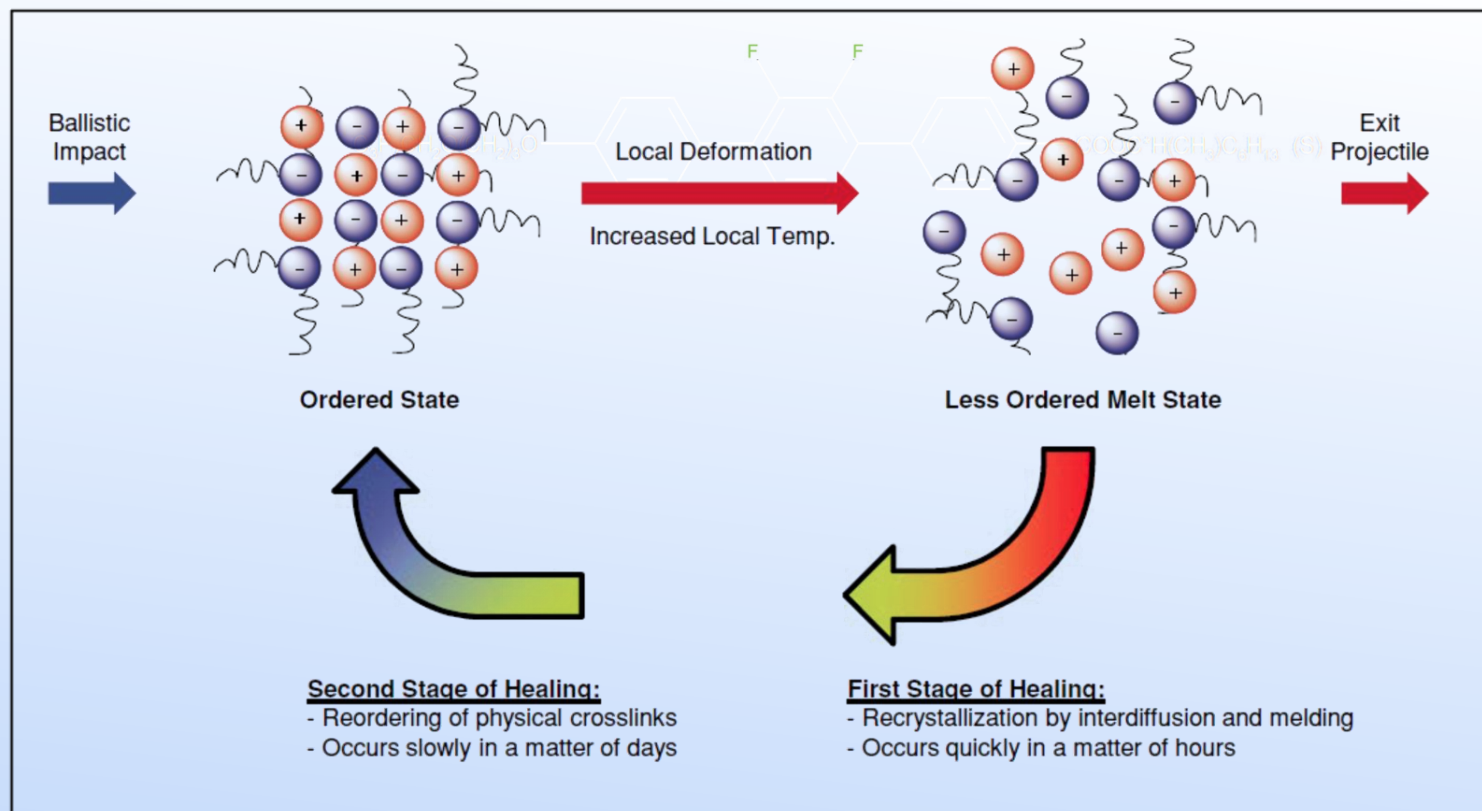
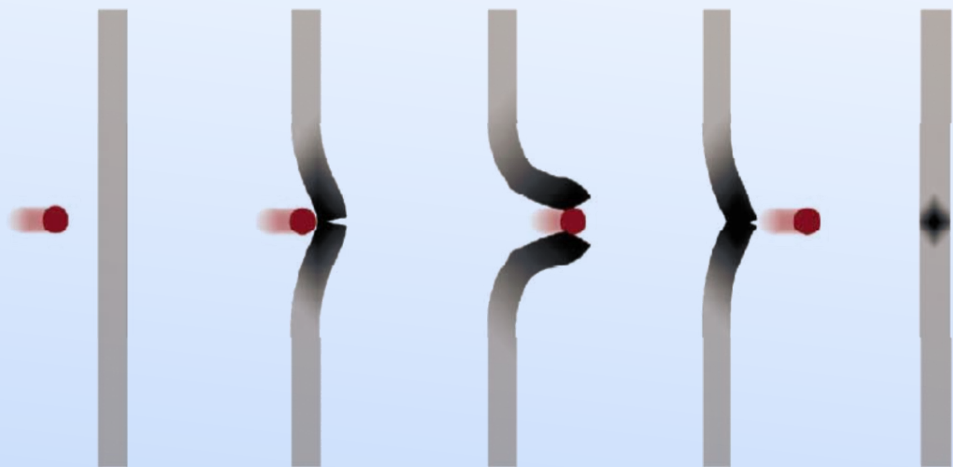
To oznacza NSE wysokiej rozdzielczości!

e.g. : $Q \sim 3 \text{ \AA}^{-1}$ @ $\lambda = 3 \text{ \AA}$ \rightarrow Energy of 0.07 \mu eV

Ogniwa paliwowe, daleko poza spektroskopią w rozpraszaniu wstecznym (*backscattering*)

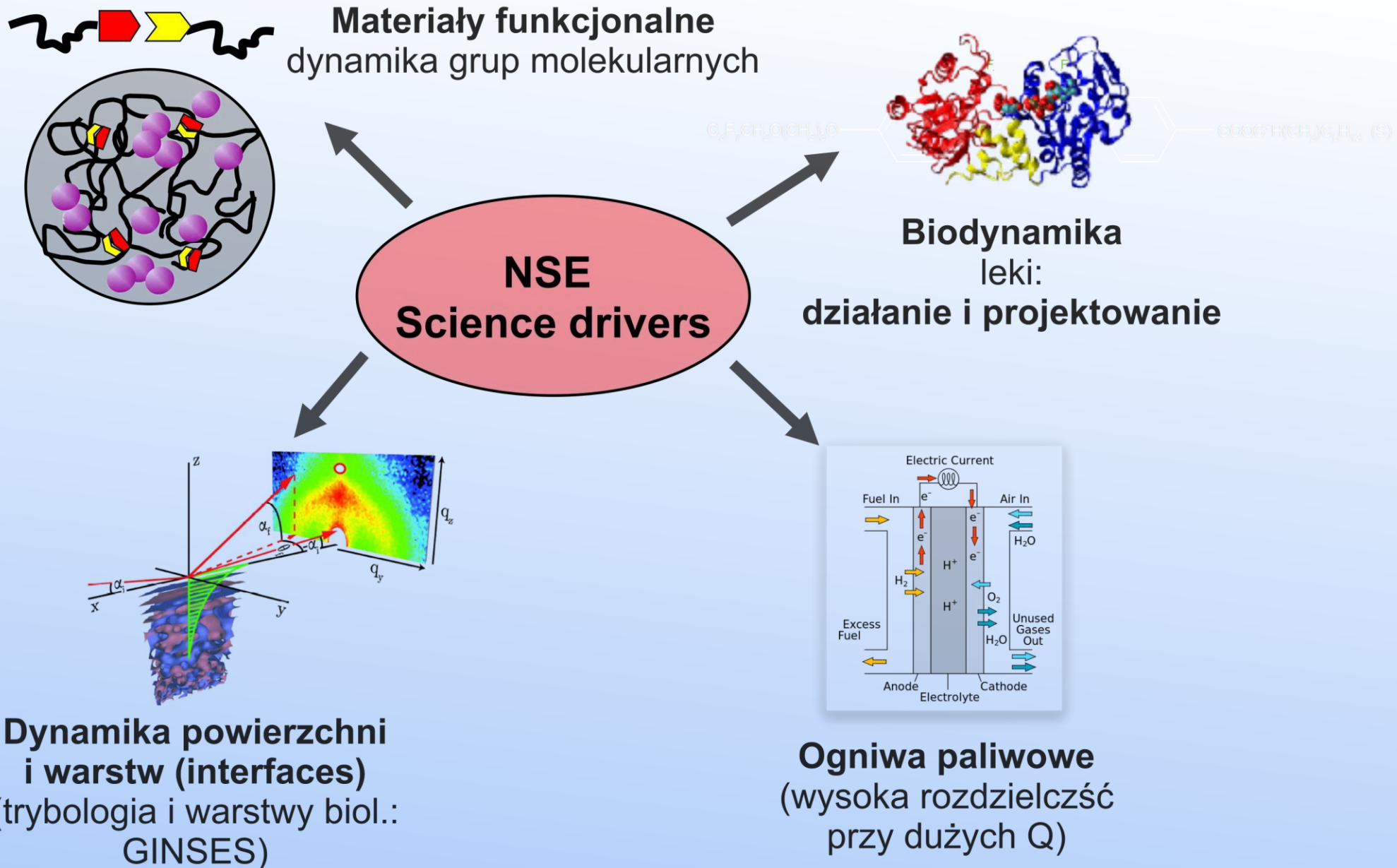
Ogniwa paliwowe – dynamika w układach złożonych

Ionomers



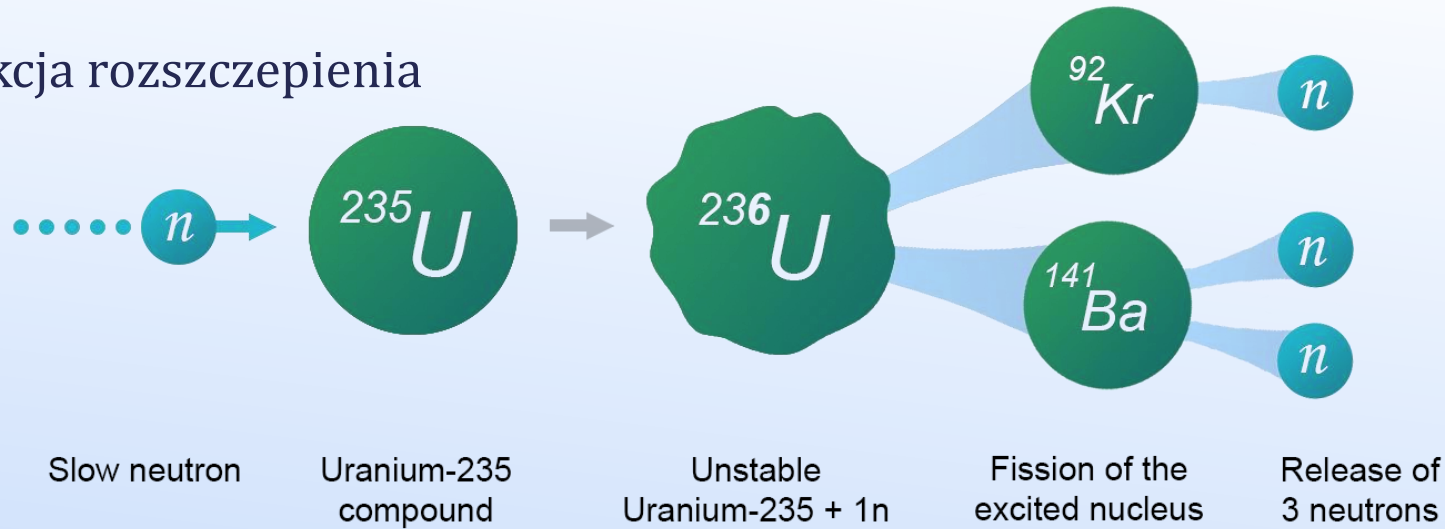
- Materiały „samoleczące się” (self-healing materials)
- Makromolekularne struktury hierarchiczne w skali nano-
Rozmiar rzędu nanometrów → wkład do $S(Q)$ przy małych Q .
Skala czasowa rzędu mikrosekund → niezbędna wysoka rozdzielczość

Ogólnie: dynamika układów złożonych



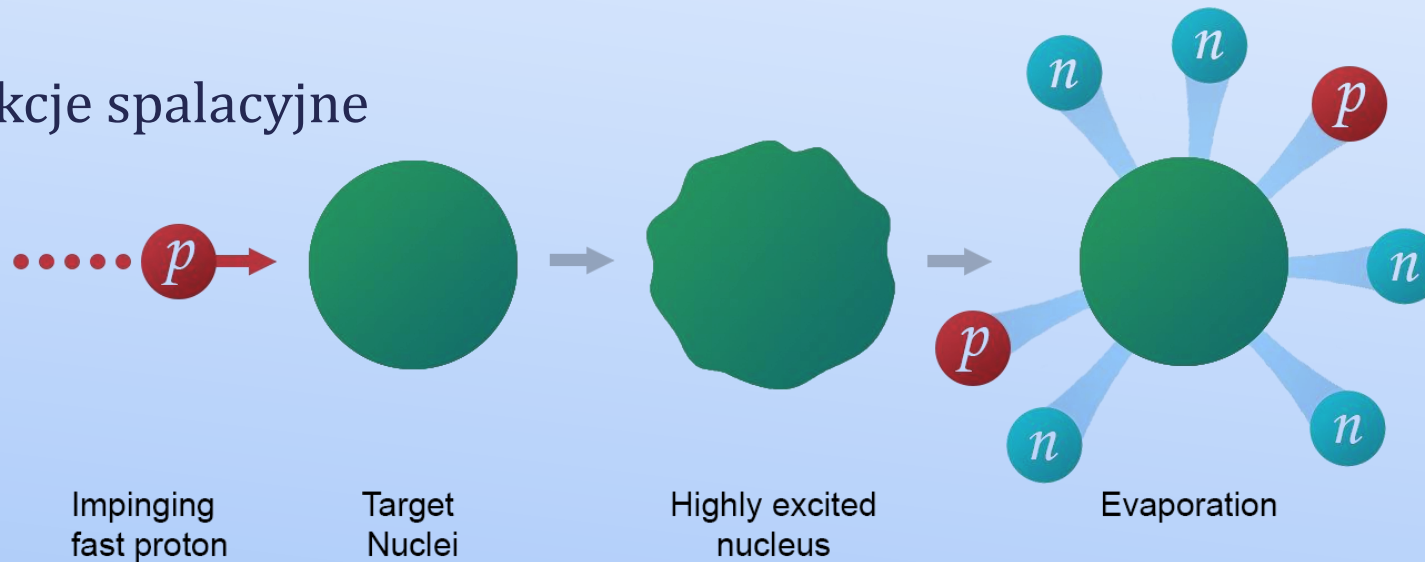
Jak produkujemy neutrony do badań materii

Reakcja rozszczepienia



- Reakcja łańcuchowa
- Praca źródła ciągła
- 1 neutron/reakcję

Reakcje spalacyjne



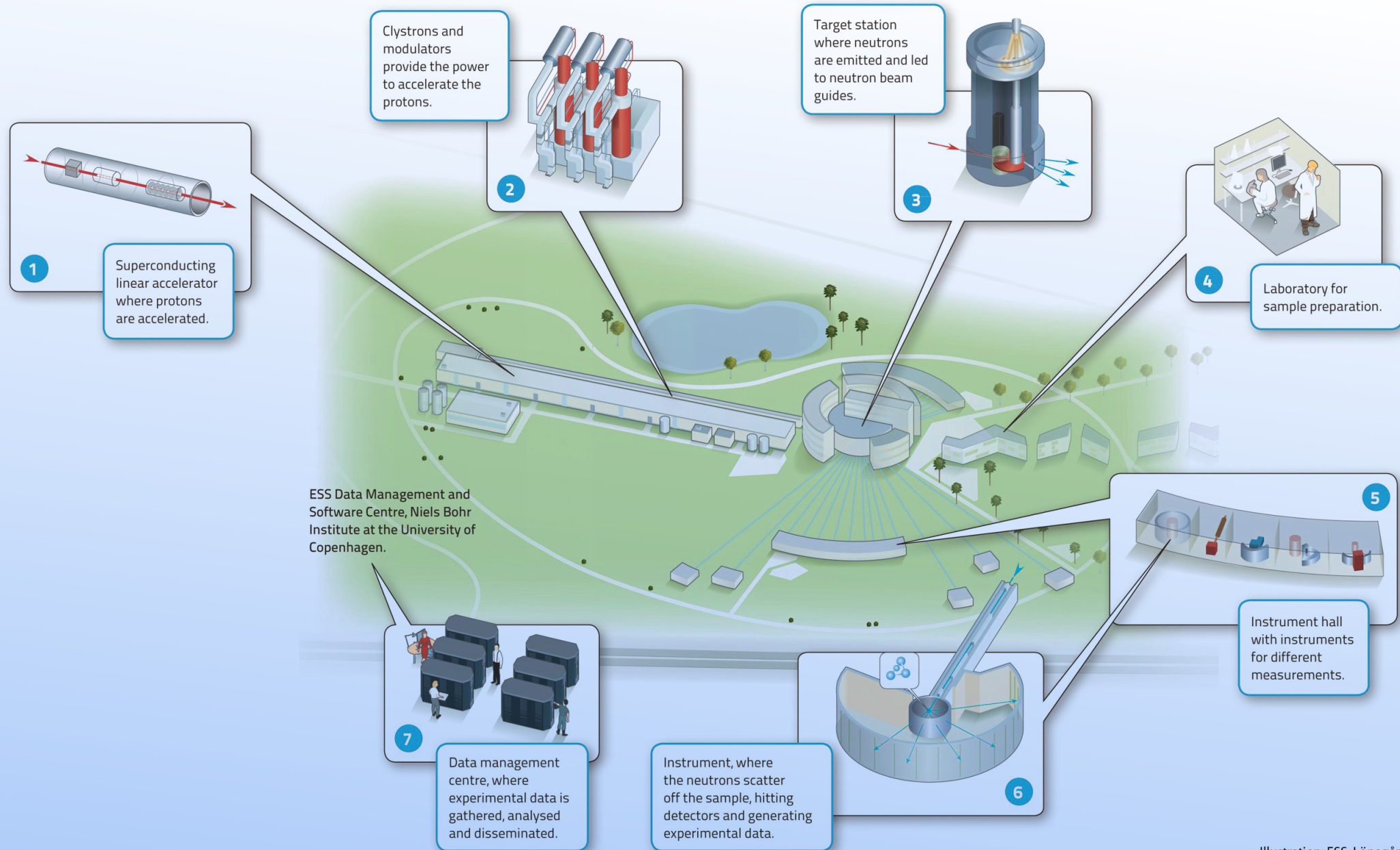
- Spalacja jądrowa (brak reakcji łańcuchowej)
- Praca źródła impulsowa
- ~30 neutronów/proton

Europejskie Źródło Spalacyjne ESS

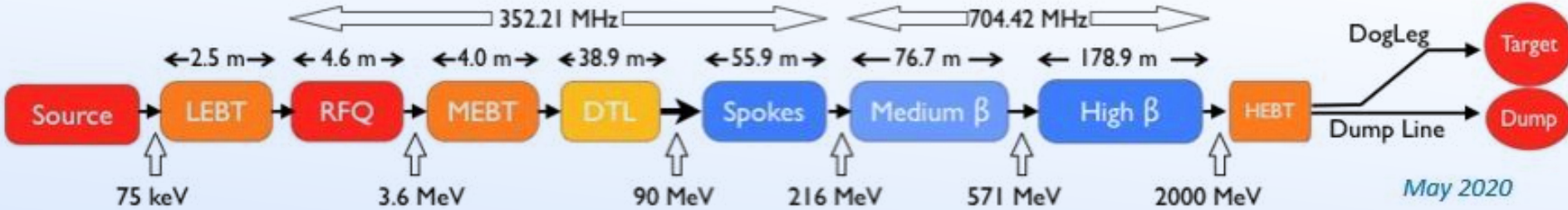


Photo Perry Nordeng ESS

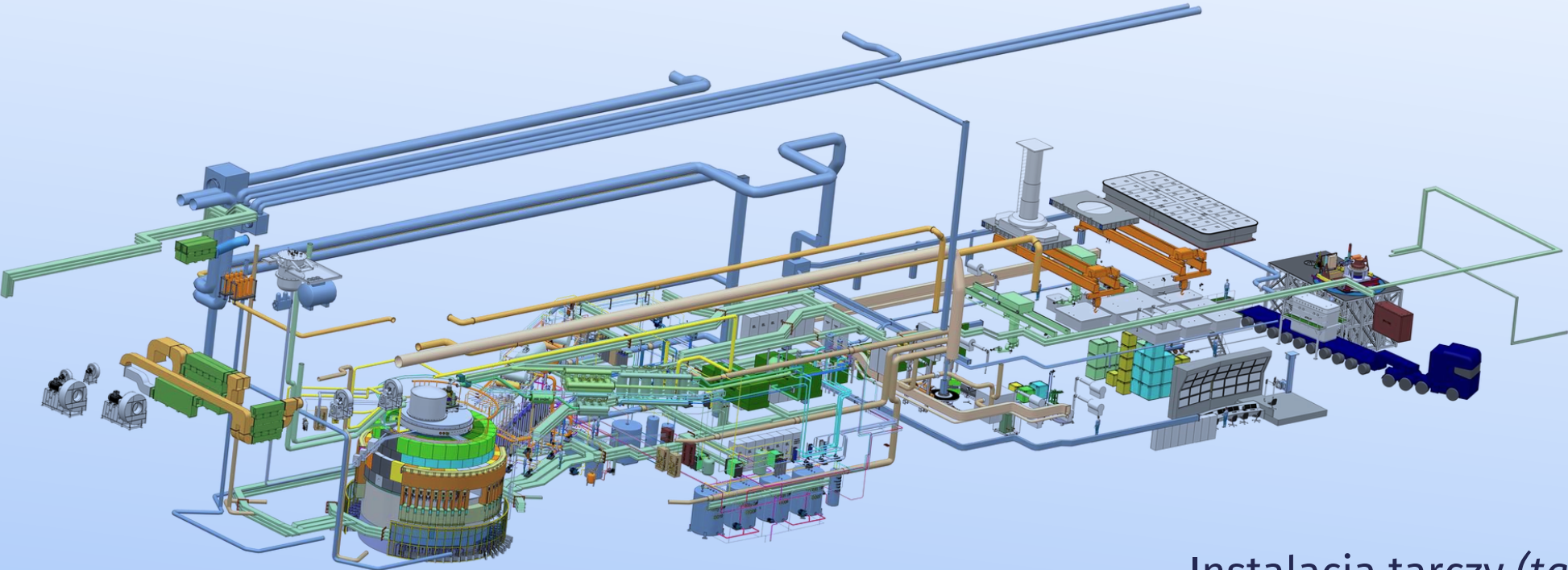
Europejskie Źródło Spalacyjne ESS



Europejskie Źródło Spalacyjne ESS

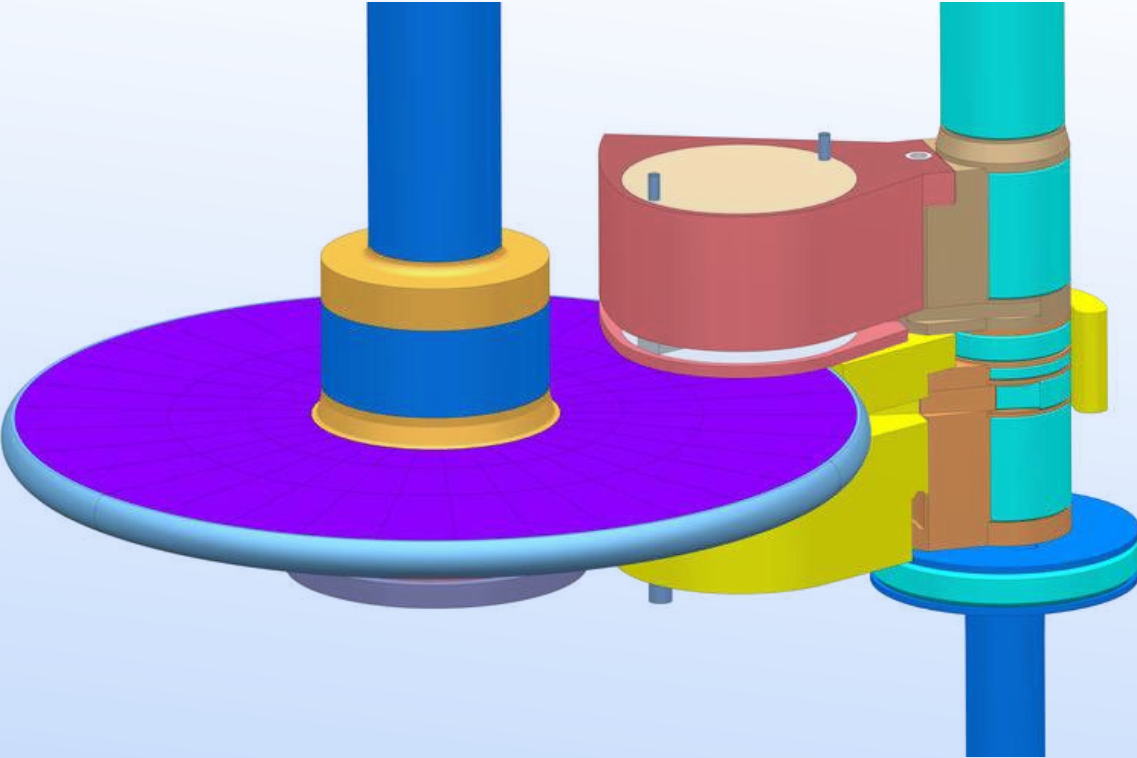
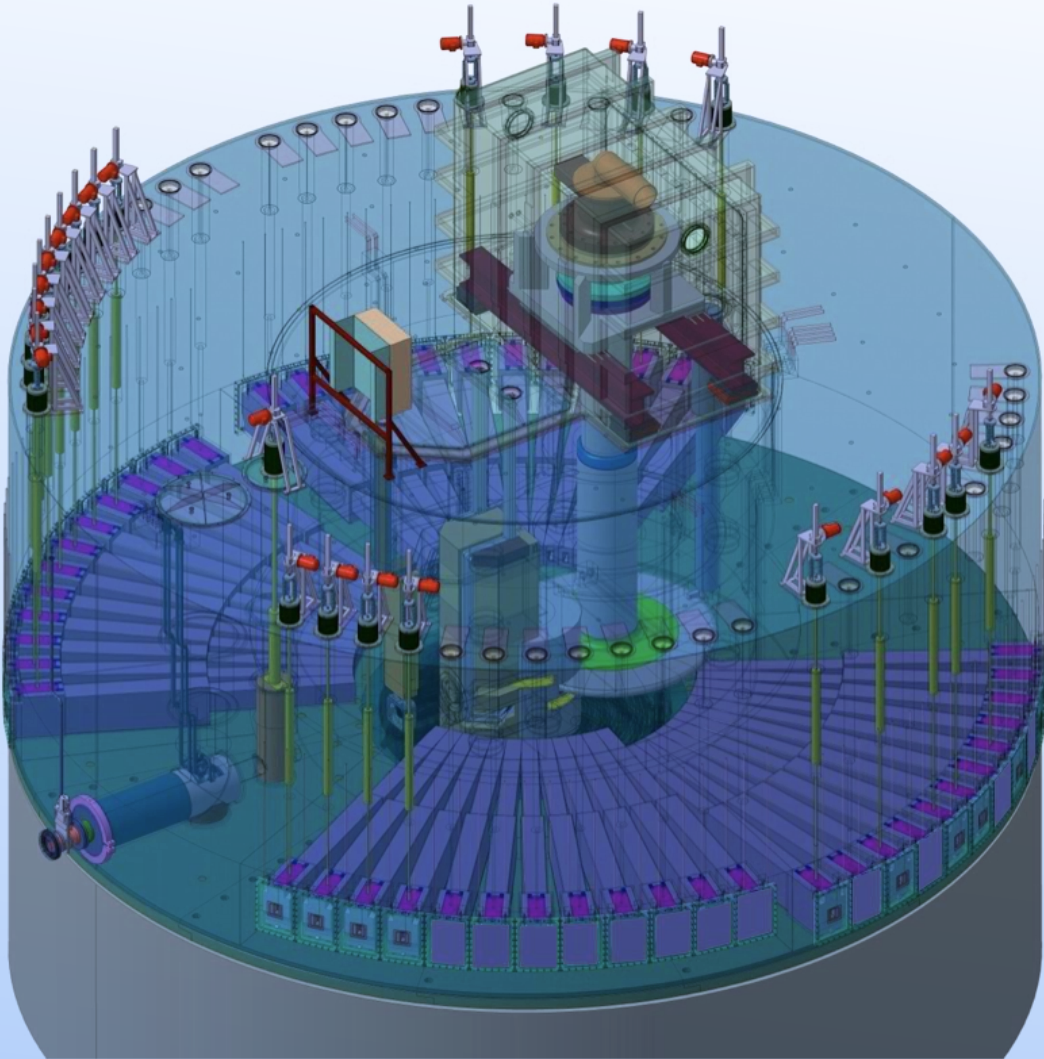


Akcelerator liniowy dostarcza na tarczę protony 2–2.5 GeV



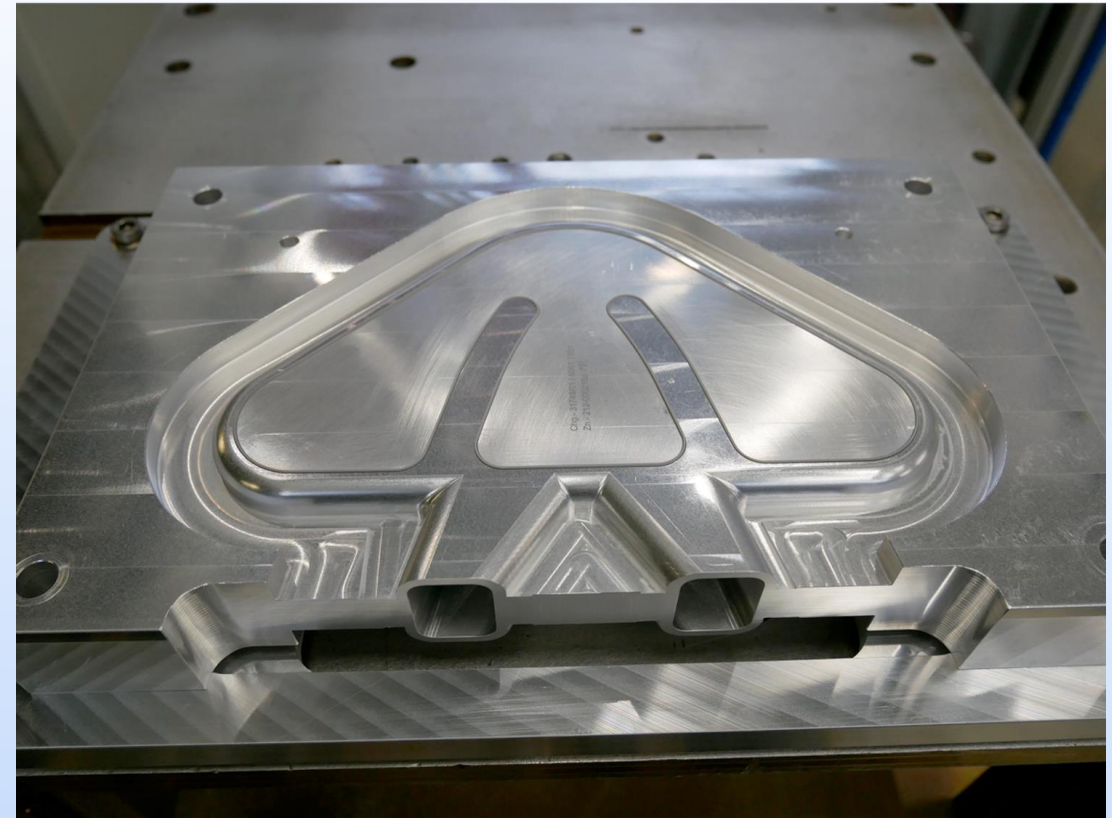
Instalacja tarczy (target station)

Europejskie Źródło Spalacyjne ESS



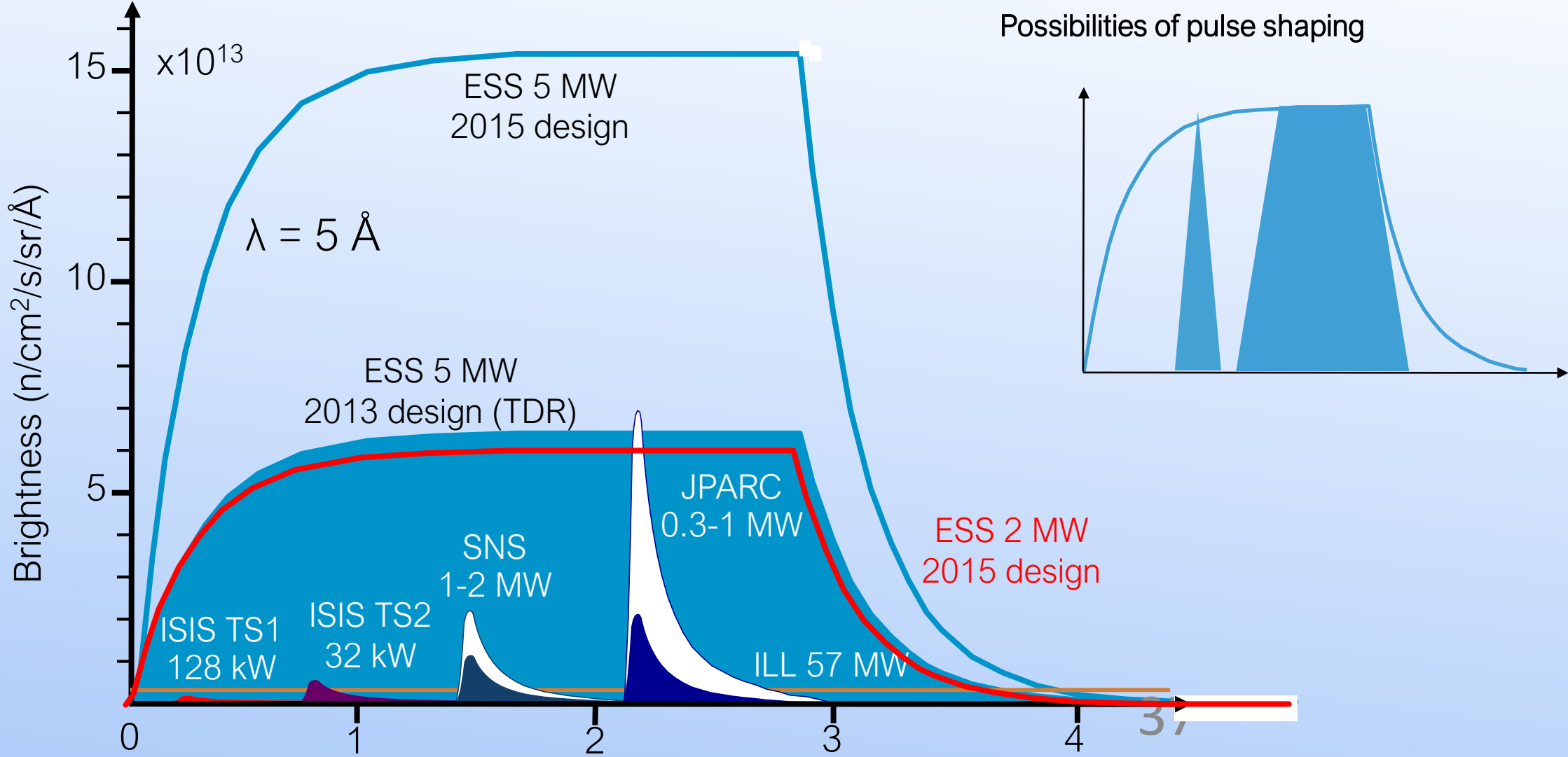
Tarcza i moderatory

Europejskie Źródło Spalacyjne ESS

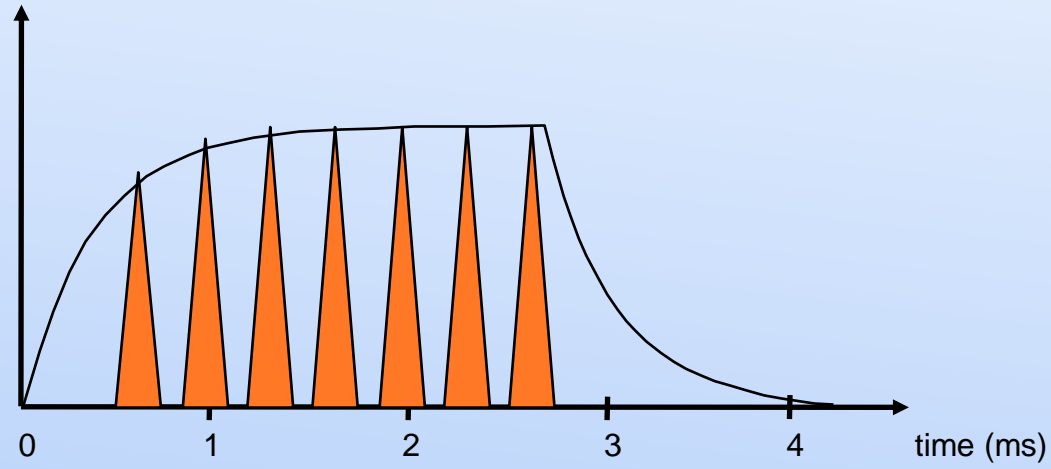
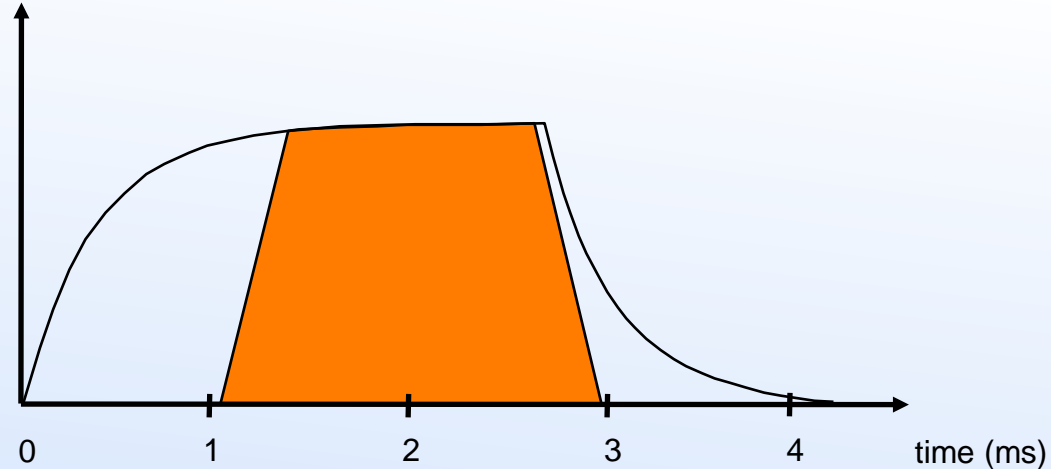
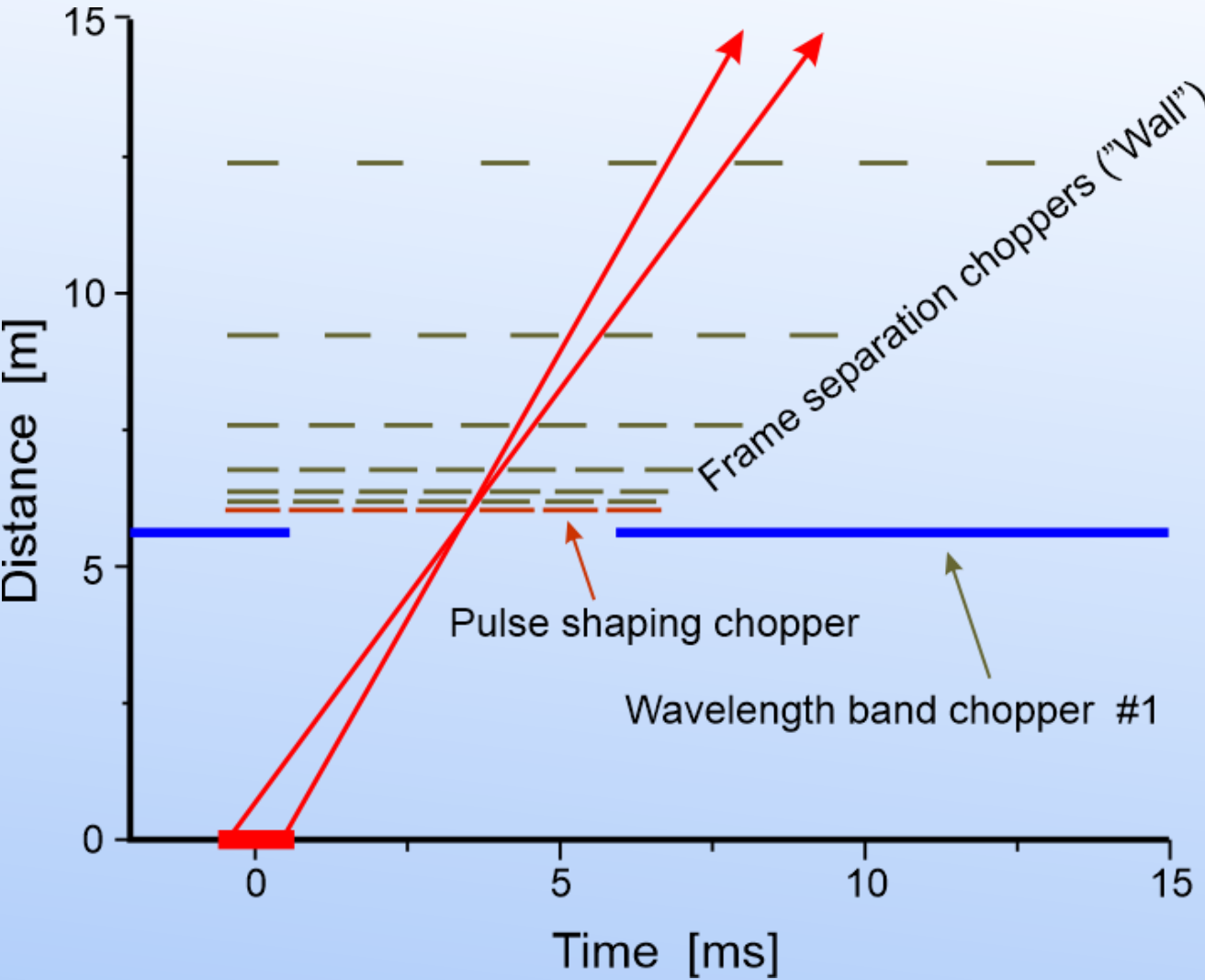


Tarcza i moderatory

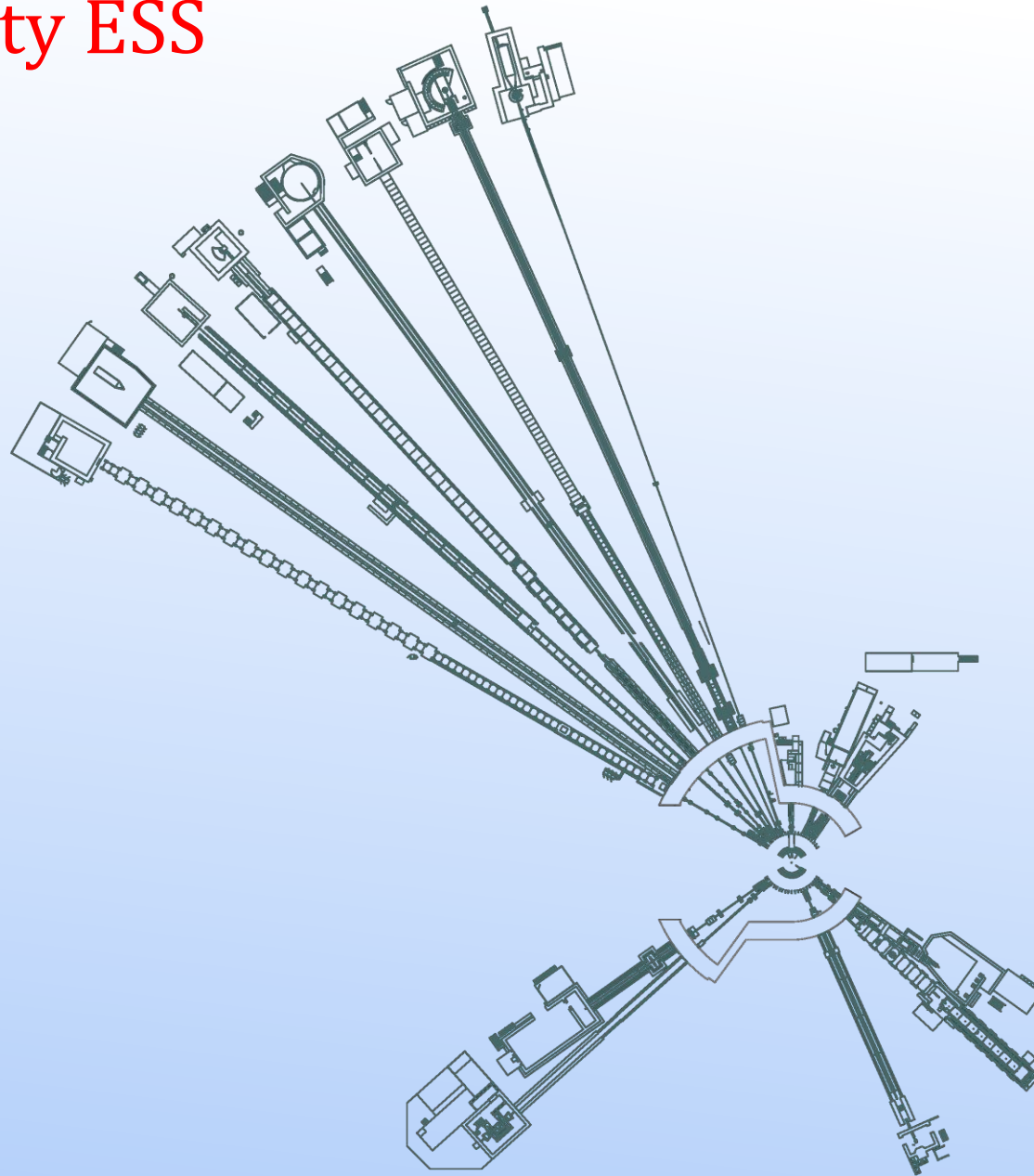
ESS – źródło o długim impulsie



ESS – formowanie impulsów wtórnych












































































Instrumenty ESS











- 15 zatwierdzonych
- 8 w roku 2023

Instrumenty ESS

Large-Scale Structures	ODIN imaging	    
	SKADI GP-SANS	   
	LOKI Broadband SANS	 
	Surface Scattering	   
	FREIA Hor. Refl.	  
	ESTIA Ver. Refl.	   
Diffraction	HEIMDAL Pow. Diffr.	   
	DREAM Pow. Diffr.	   
	Monochromatic Powder Diffractometer	  
	BEER Eng. Diffr.	  
	Extreme Conditions Diffractometer	   
	MAGIC Magn. Diffr.	 
NMX Macromol. Diffr.	 	

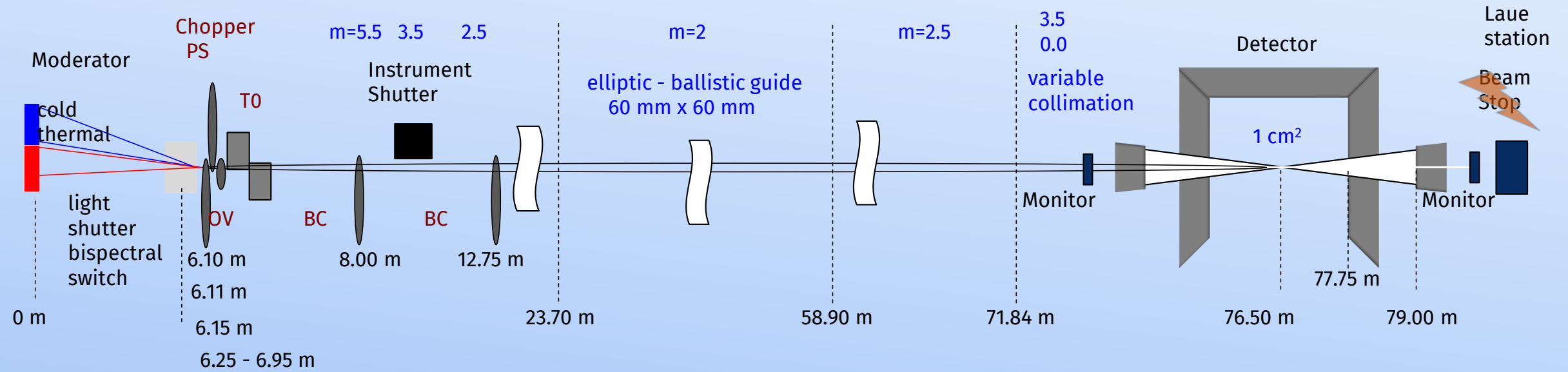
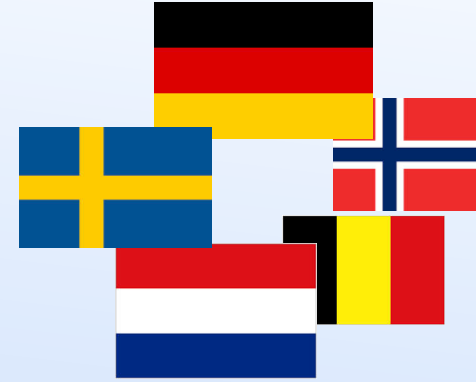
Spectroscopy	CSPEC ColdChopSp	  
	VOR BroadbandSp	   
	T-REX ThChopSpec	  
	BIFROST Xana Spec	   
	VESPA Vibr.Spec.	  
	MIRACLES BckScatt	  
	High-Resolution Spin-Echo	   
	Wide-Angle Spin-Echo	   
	Fundamental & Particle Physics	

15 zatwierdzonych
8 w roku 2023

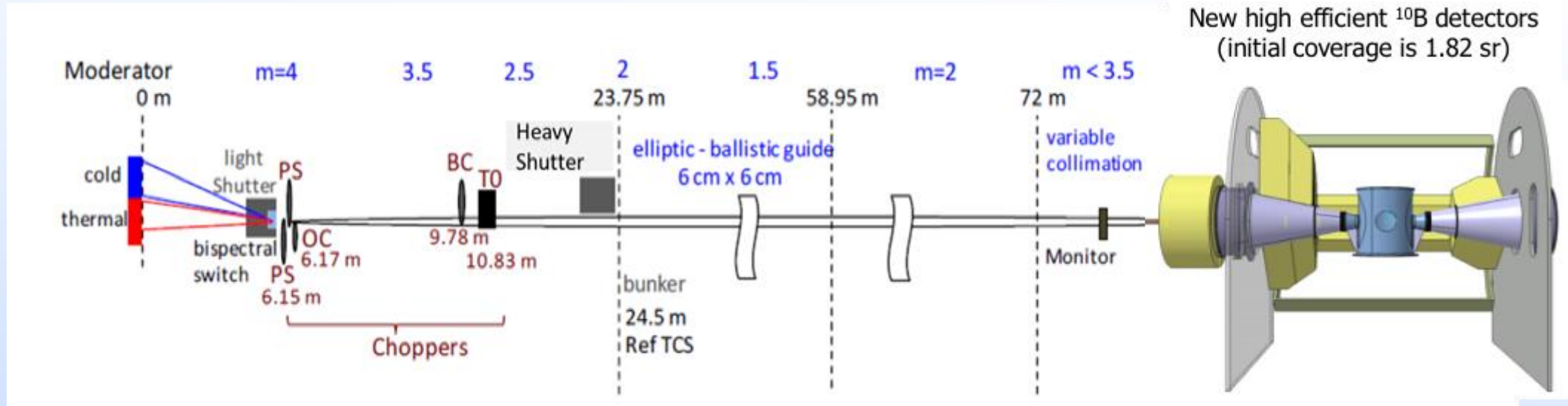
	life sciences		magnetism & superconductivity
	soft condensed matter		engineering & geo-sciences
	chemistry of materials		archeology & heritage conservation
	energy research		fundamental & particle physics

DREAM – bispectral powder diffractometer

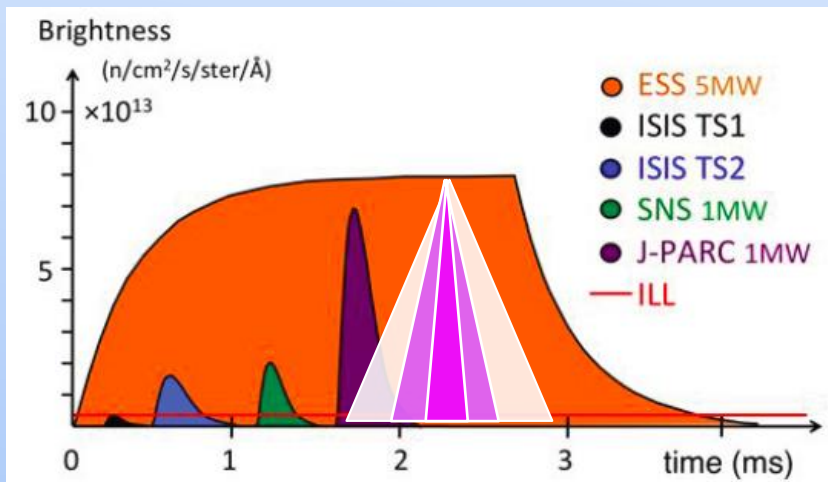
Diffraction Resolved by Energy and Angle Measurements



DREAM – bispectral powder diffractometer



Brightness



pulse shaping

75 m length

bandwidth includes thermal and cold peak

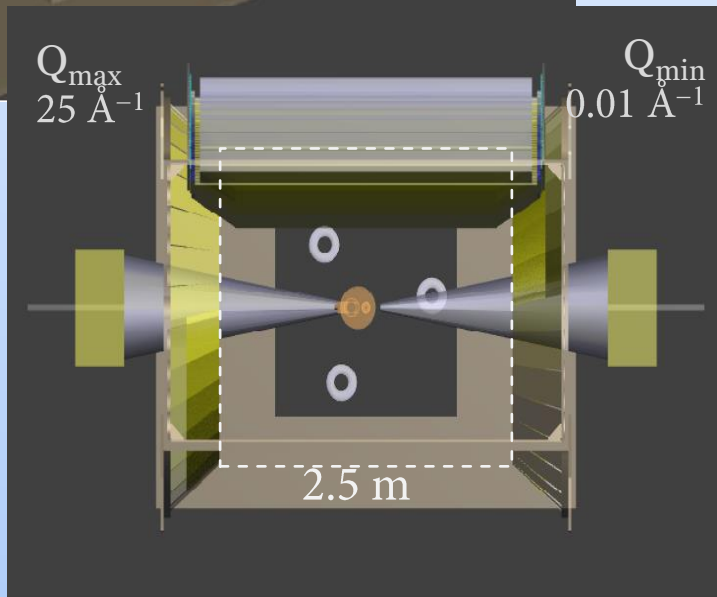
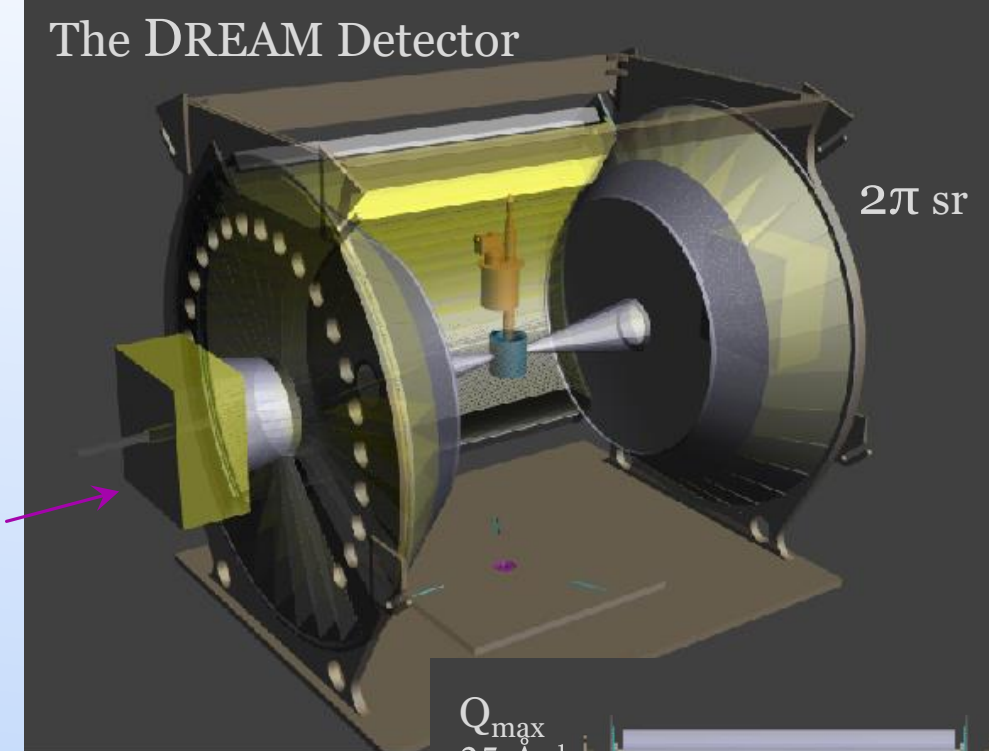
thermal spectrum gives $Q_{\text{max}} < 25 \text{ \AA}^{-1}$

high flexibility in trading resolution vs intensity
ideal peak shape

using the intense cold spectrum with best ever resolution

DREAM – bispectral powder diffractometer

The DREAM Detector



VITESS

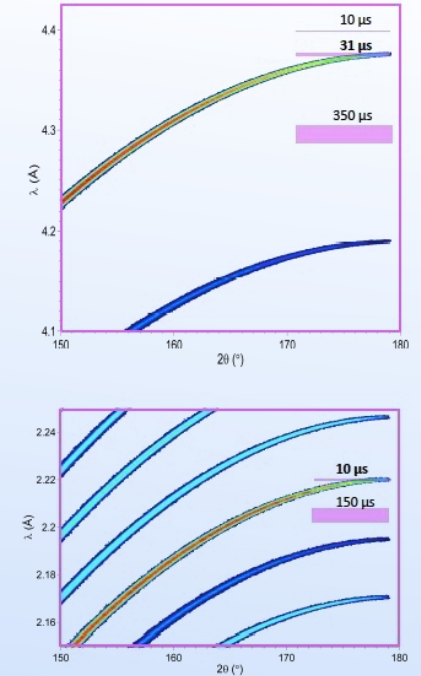
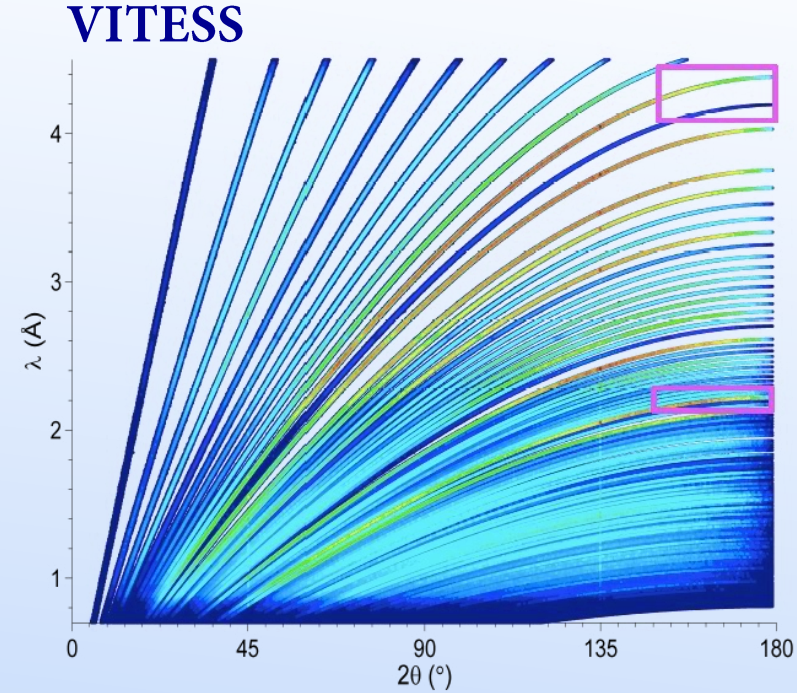
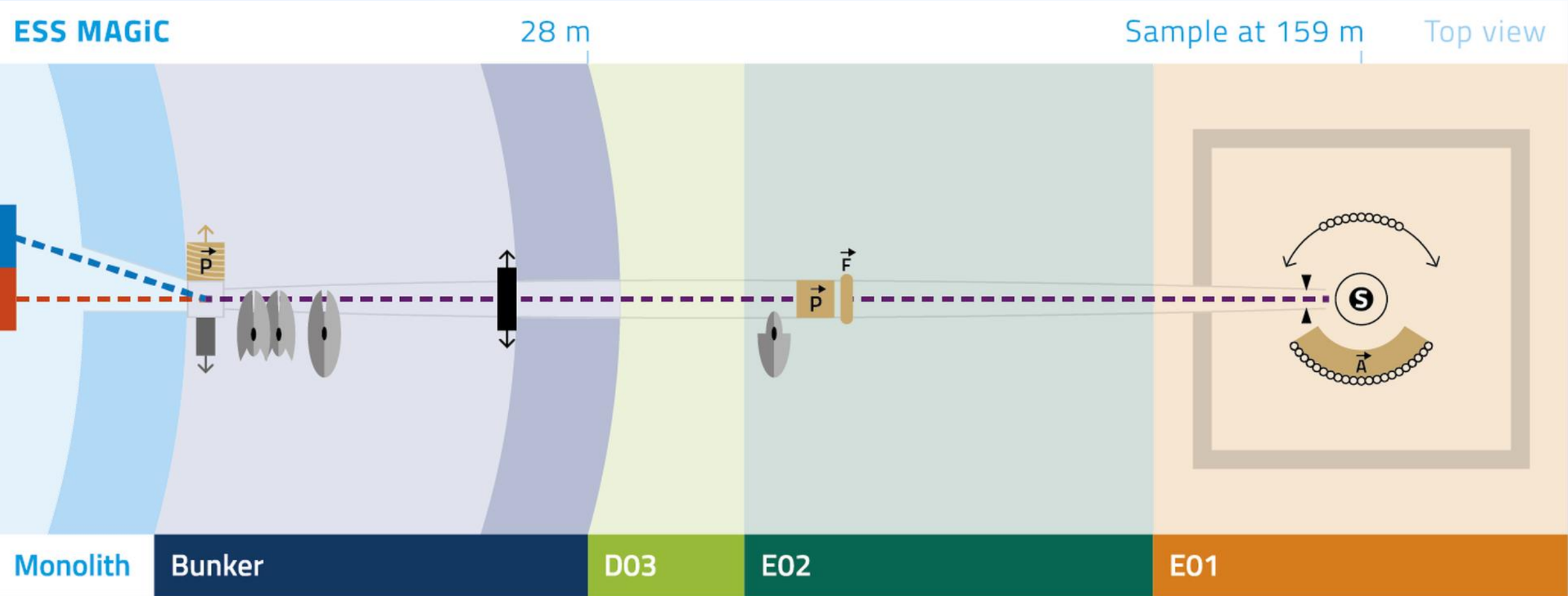


Fig. 5 Diffraction diagram of a reference sample ($0.4 \text{ cm}^3 \text{ Na}_2\text{Ca}_3\text{Al}_2\text{F}_{14}$) in high resolution mode (left). In backscattering, the asymptotic limit is essentially determined by the time resolution, see enlarged regions (right)

MAGIC – Magnetism single crystal diffractometer

Polarized time-of-flight single-crystal diffractometer



MAGIC – Magnetism single crystal diffractometer

The magnetic moment is a vector

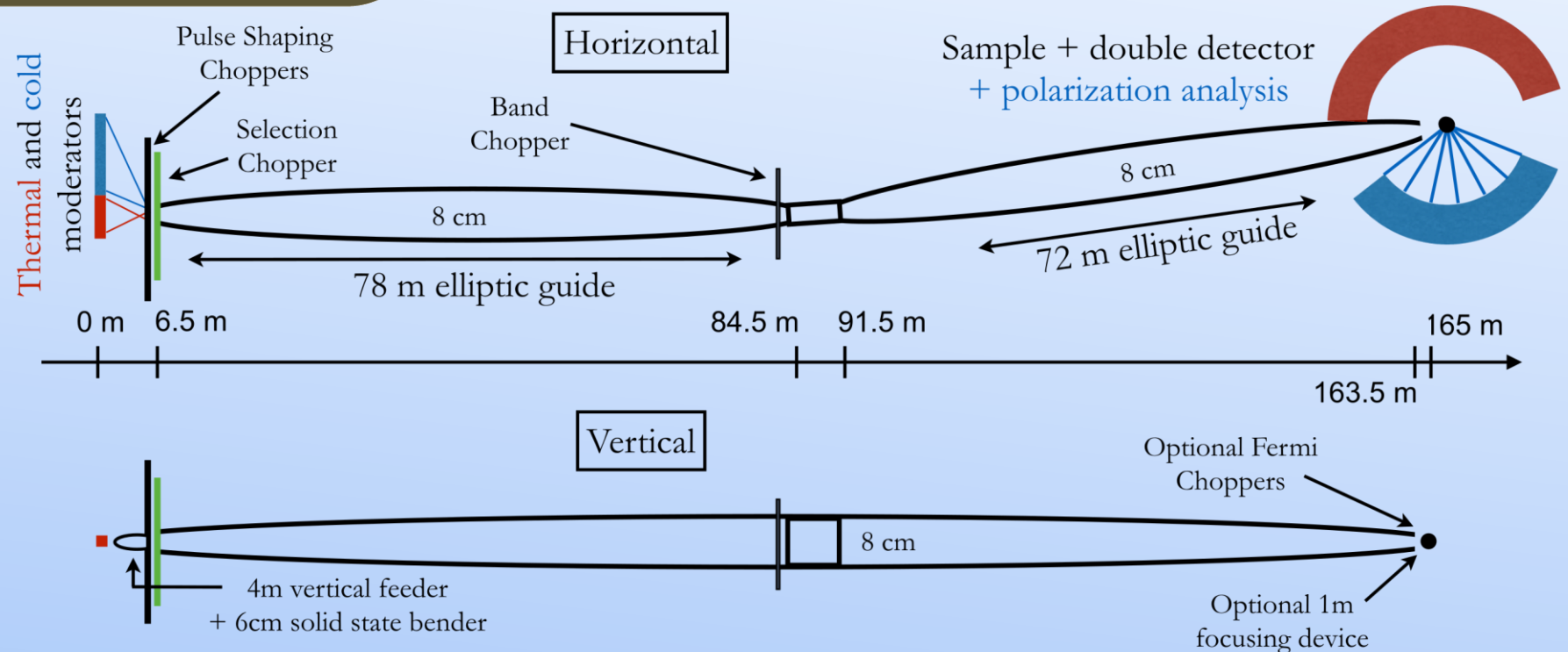


Usually intensities are only measures of scalar products.
The neutron dipolar interaction probes magnetic moments perpendicular to the scattering vector

$$\vec{S}_{\perp\vec{Q}} \cdot \vec{S}'_{\perp\vec{Q}}$$

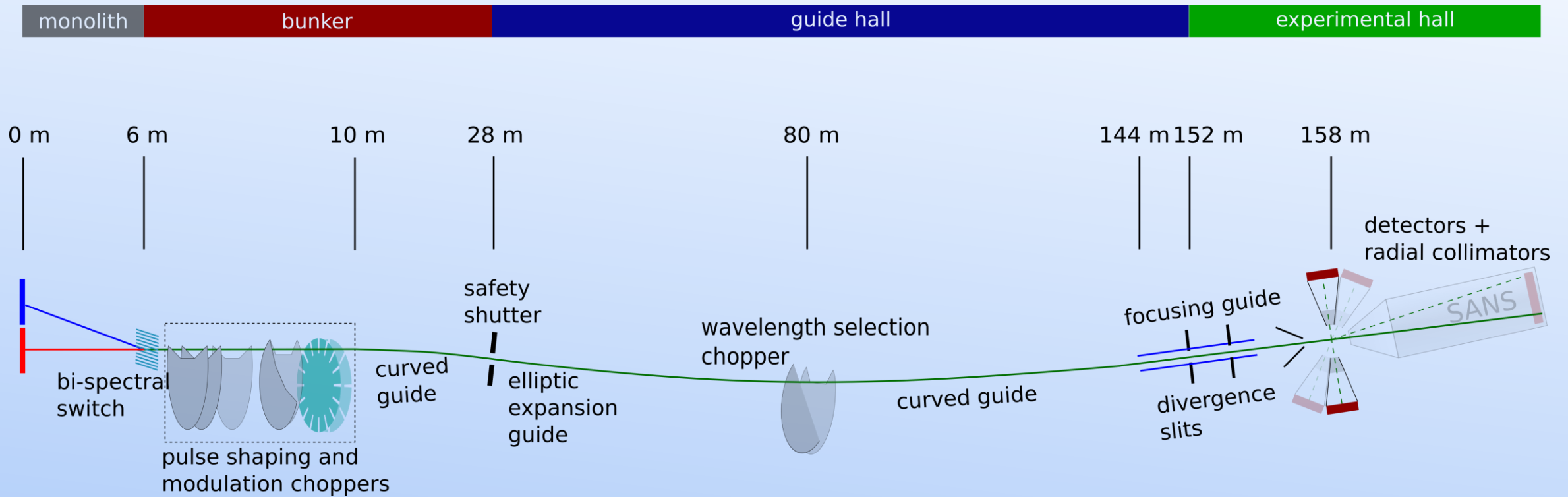
Polarized neutrons measure vector properties,
vector products and vector directions

$$\vec{S}_{\perp\vec{Q}} \times \vec{S}'_{\perp\vec{Q}}$$



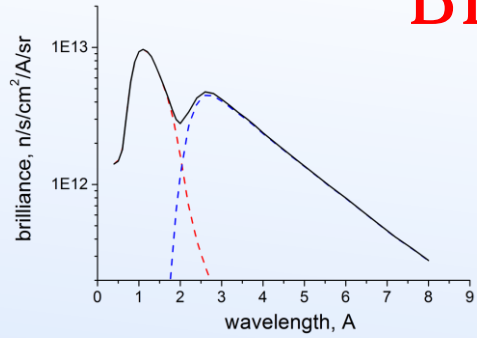
BEER – engineering diffractometer

Beamline for European Engineering Materials Research

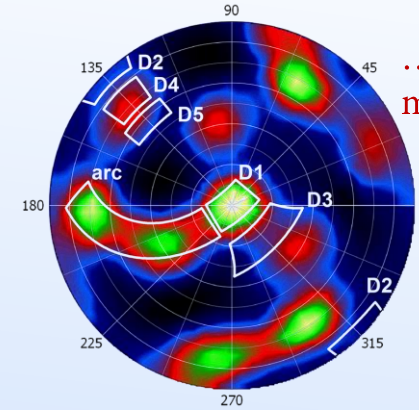
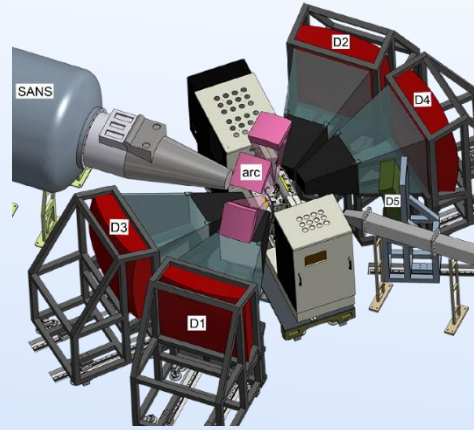


bi-spectral source

BEER – engineering diffractometer

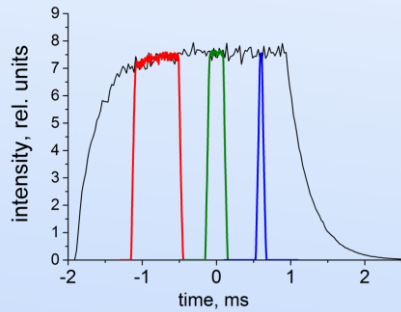


retractable detector banks allowing for large sample environment ...

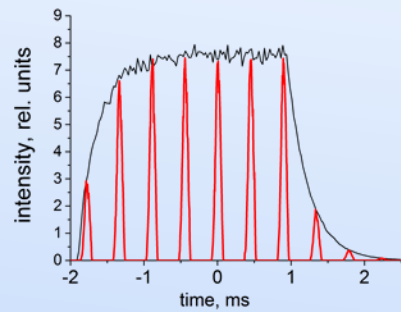


... and texture measurements

chopper system for wide range of resolutions

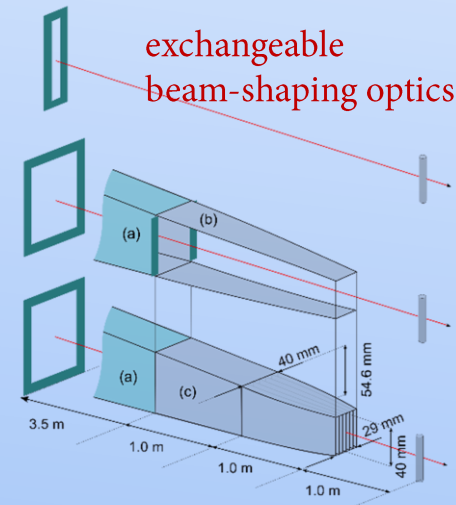


pulse shaping

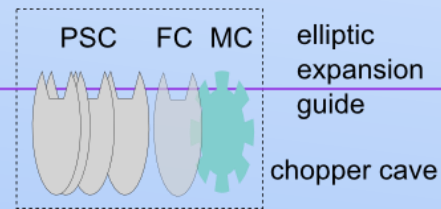


pulse modulation

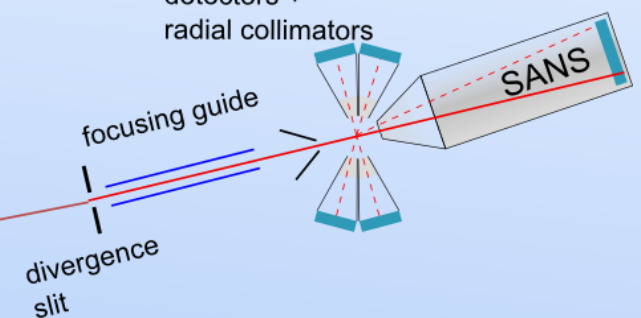
exchangeable beam-shaping optics



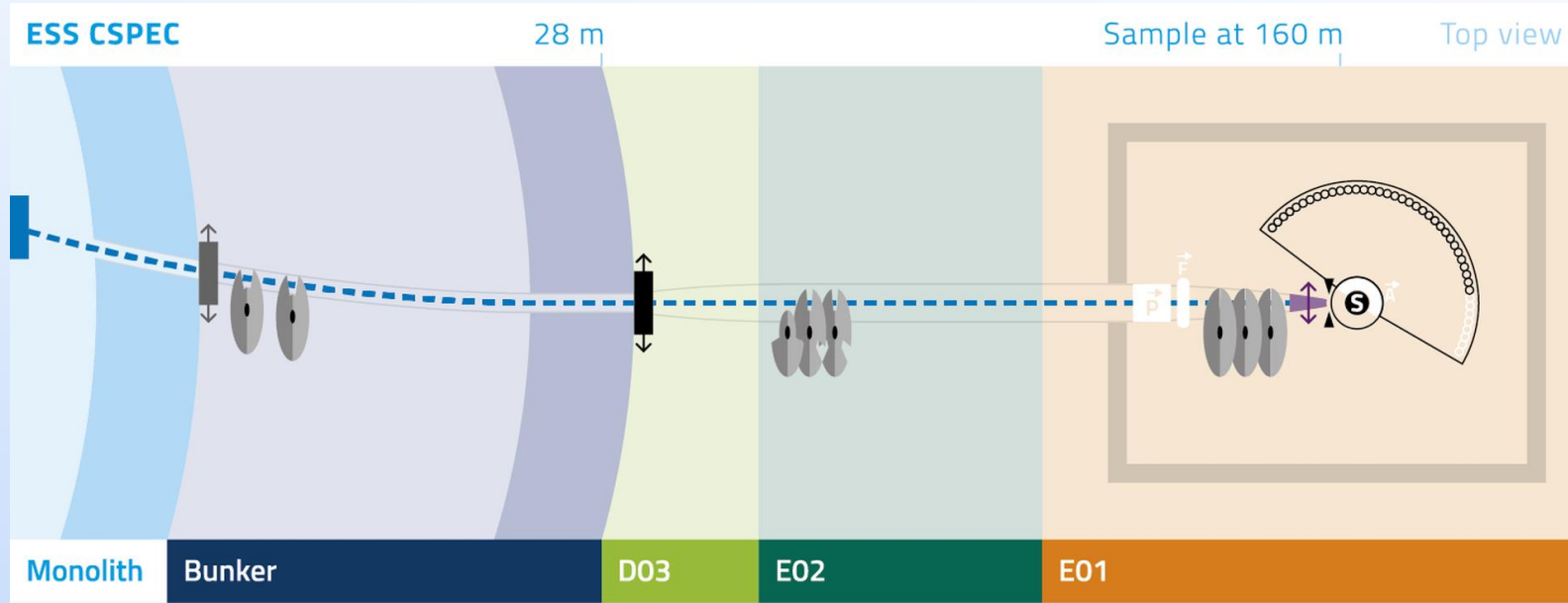
bi-spectral extraction



detectors + radial collimators

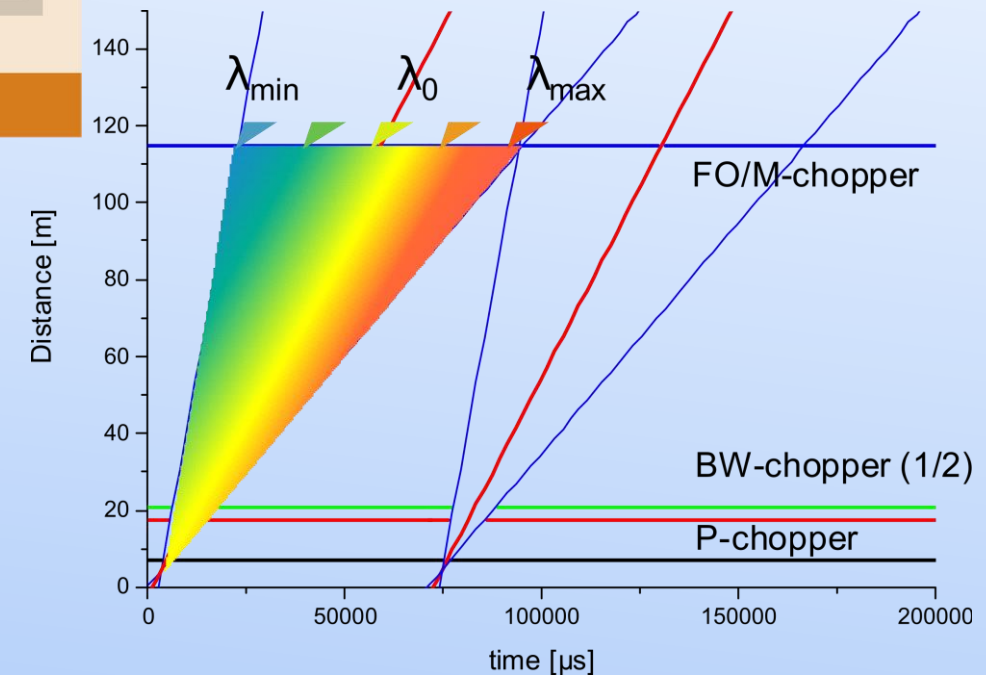


CSPEC – cold chopper spectrometer



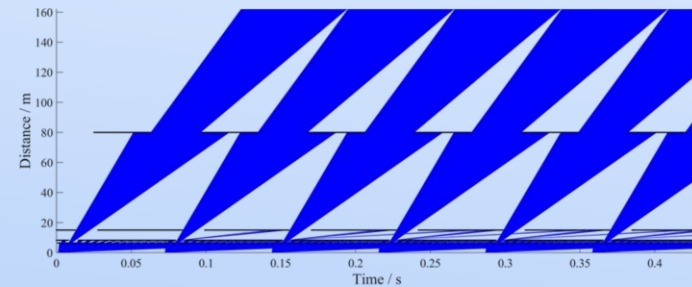
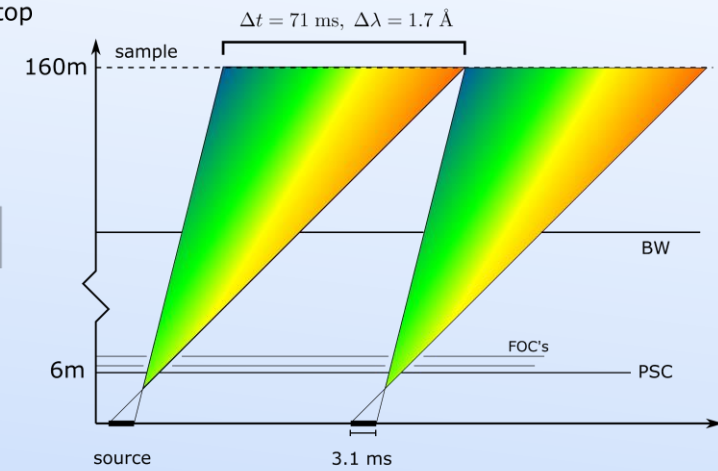
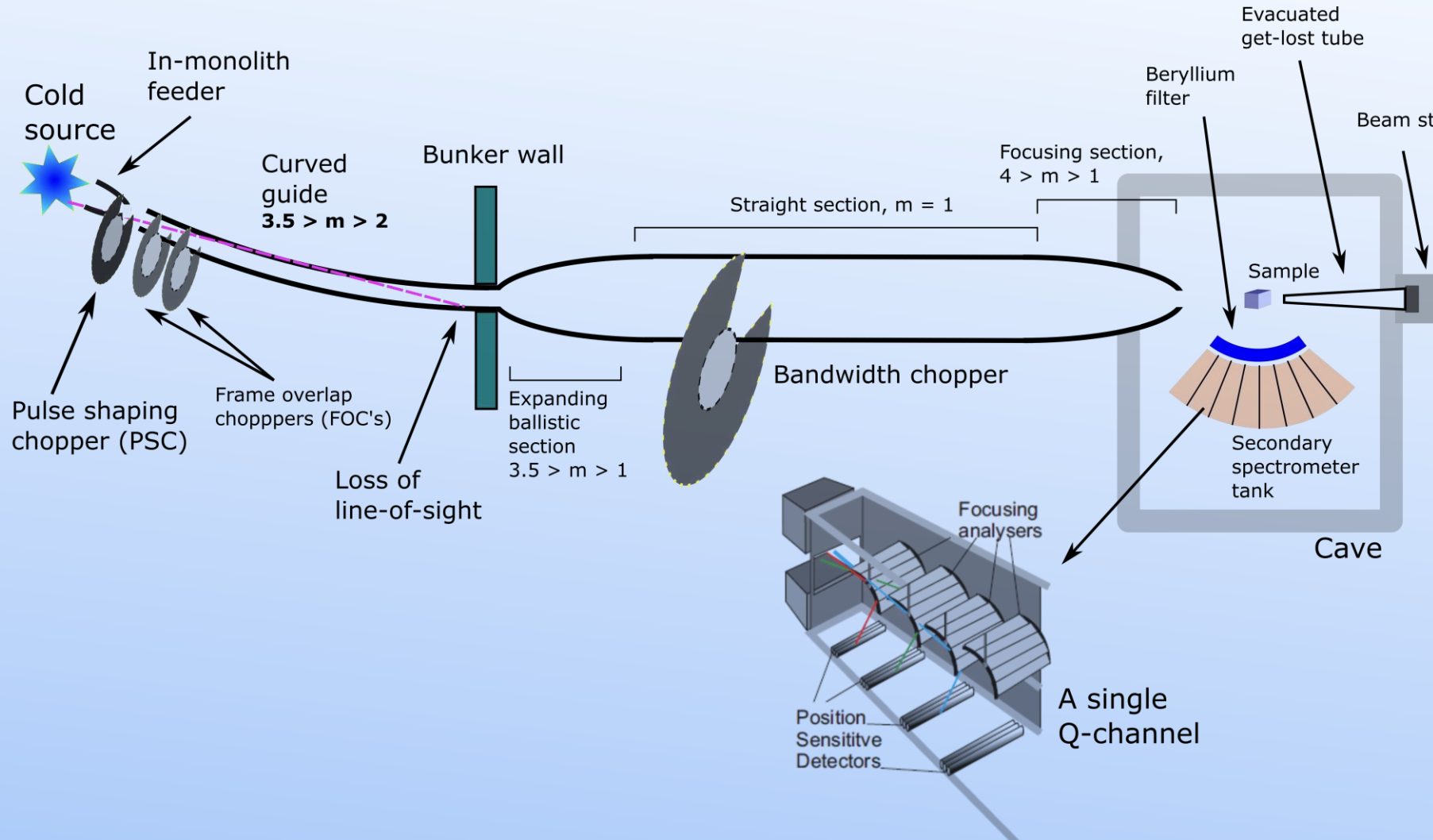
CSPEC will be used in a wide variety of scientific applications, spanning the life sciences, functional materials and chemistry. *Its key capability is to follow kinetic events in situ or in operando, enabled by very high flux.*

CSPEC is a direct geometry time of flight spectrometer developed as a German/French collaboration between FRM II and LLB.



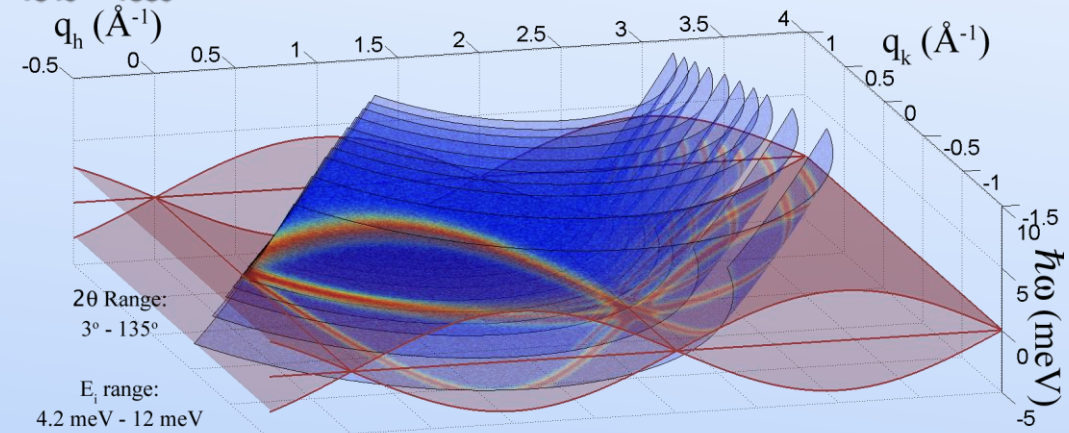
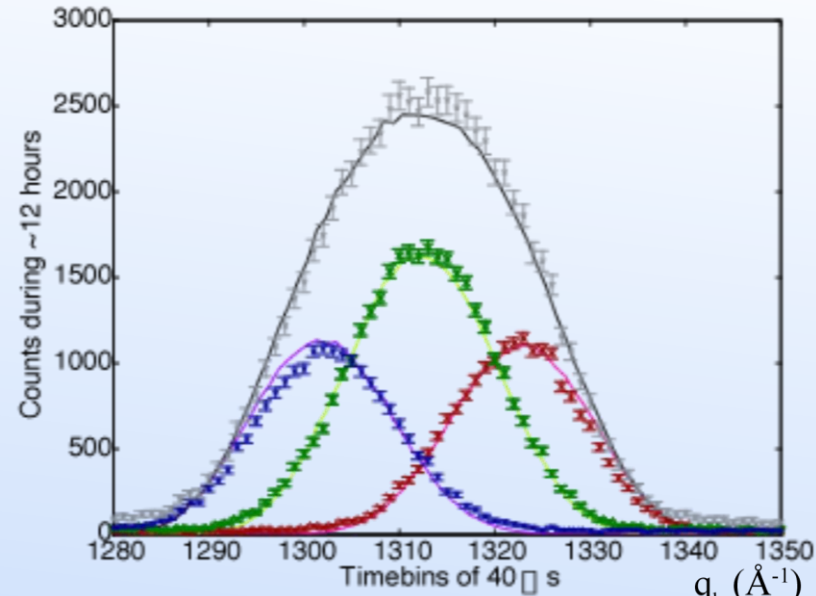
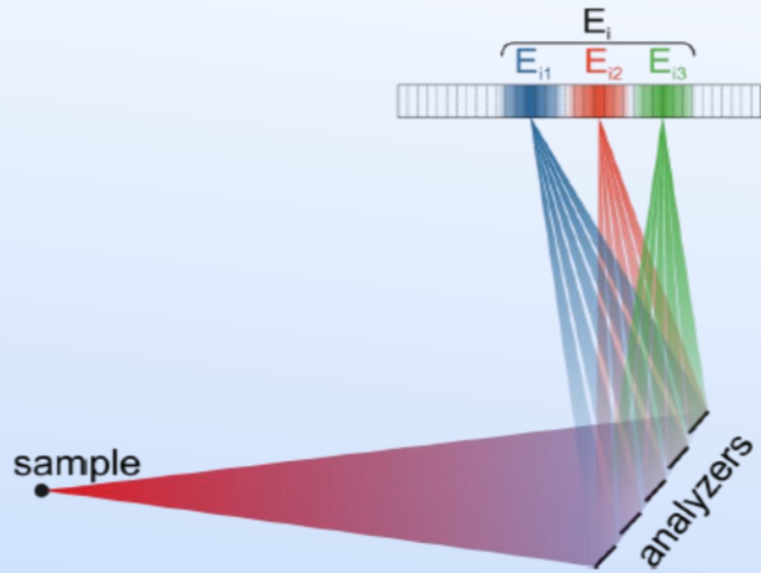
BIFROST – extreme environment spectrometer

BIFROST – inverted geometry spectrometer (evolved from **CAMEA**)

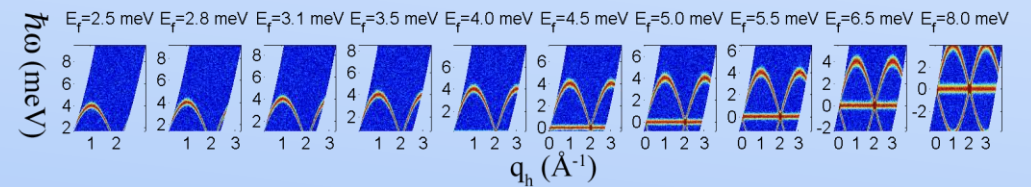


BIFROST primary spectrometer

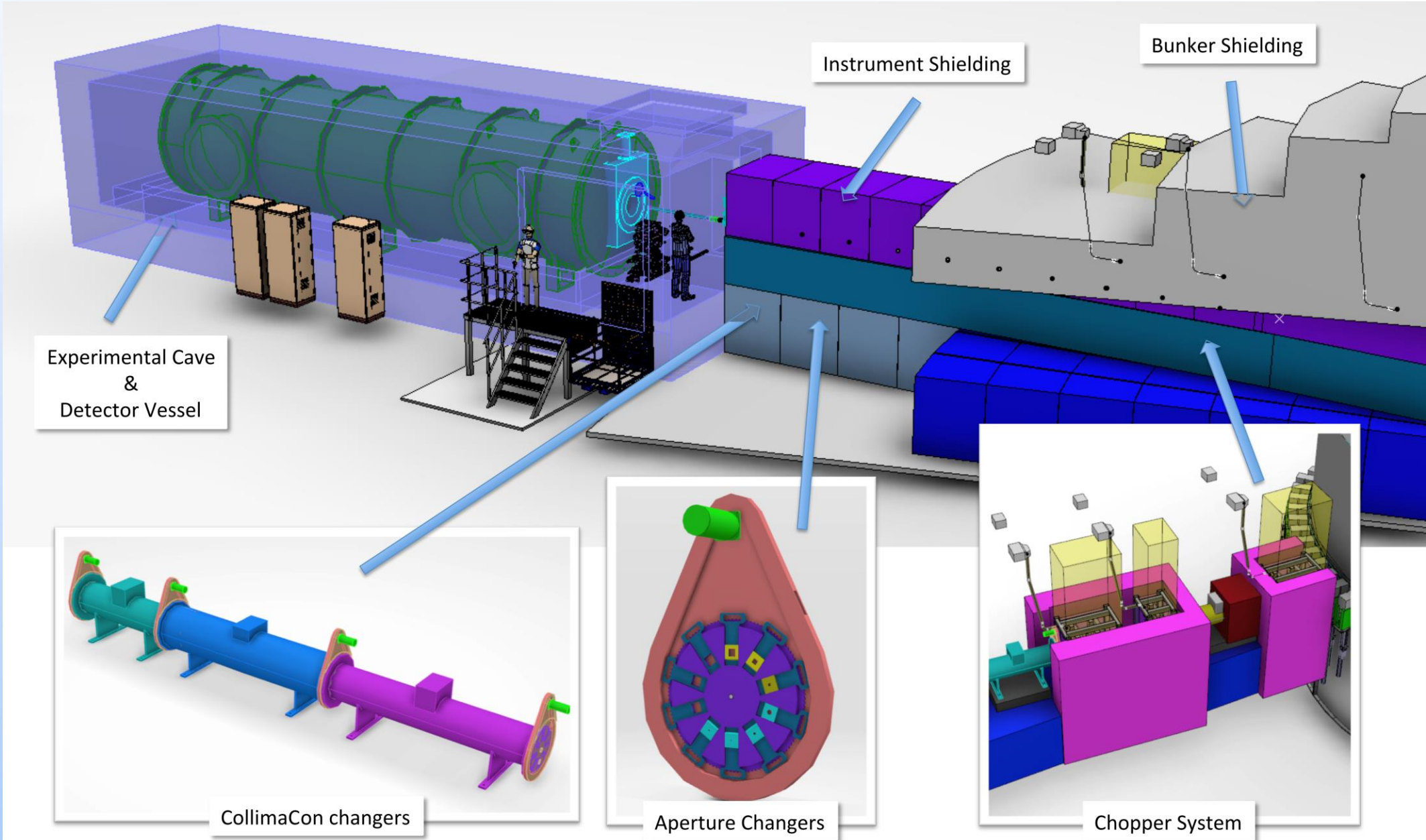
BIFROST – extreme environment spectrometer



BIFROST – the concept of prismatic spectroscopy

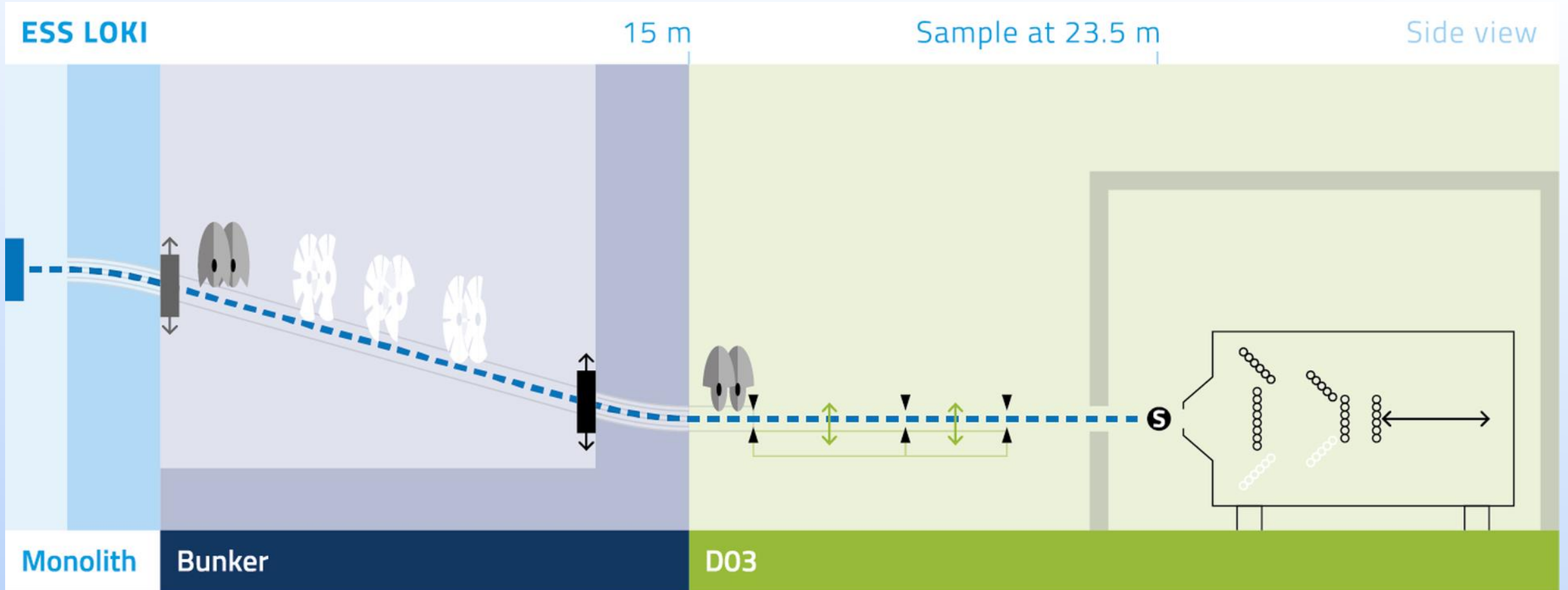


LOKI – broadband SANS



LOKI – broadband SANS

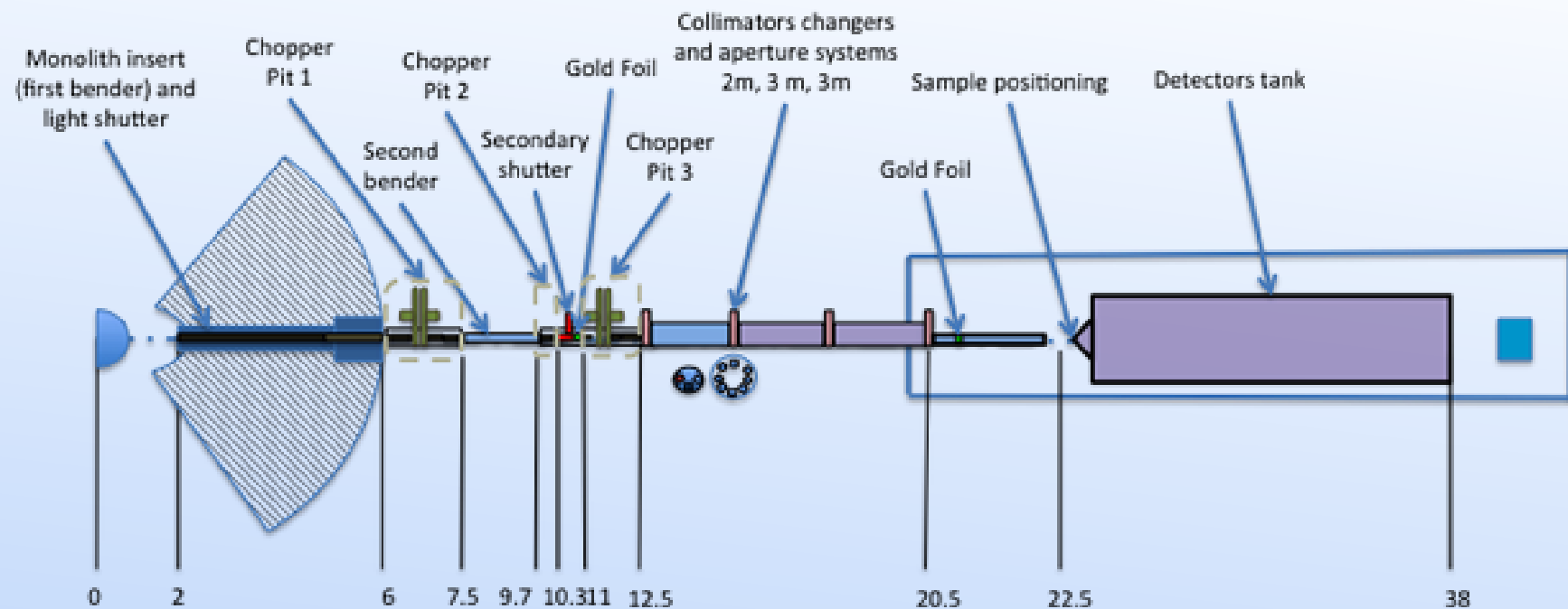
A broad Q range, high flux SANS instrument for soft matter, bio-science and materials science



LoKI is the shorter of the two SANS instruments being built at ESS. The sample position is located at 23.5 m from the source and the maximum sample-to-detector distance is 10 m.



LOKI – broadband SANS



Loki, the Norse god of mischief

(appears in Richard Wagner's opera cycle Ring of the Nibelung)

$$L1_{\max} = 10\text{m}$$

$$L2_{\max} = 10\text{m}$$

Repetition rate = 14Hz or 7Hz

$$\delta\lambda_{\max} = 10\text{\AA} \text{ at } 14\text{Hz}$$

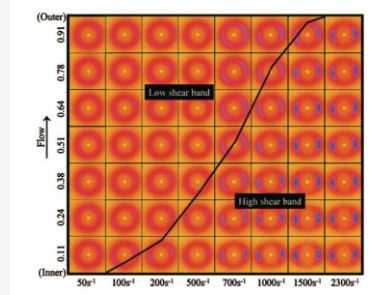
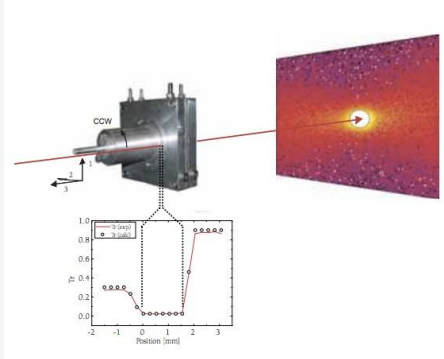
Max flux on sample $\sim 1 \times 10^9 \text{ n/cm}^2/\text{s}$

2x line-of-sight closure

LOKI – broadband SANS

Shear Banding in CTAB wormlike micelles providing confirmation of rheological model. (Helgeson et al. (2009) J. Rheol 53, 727)

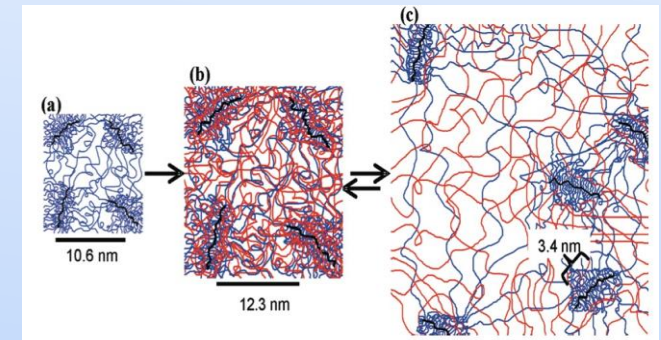
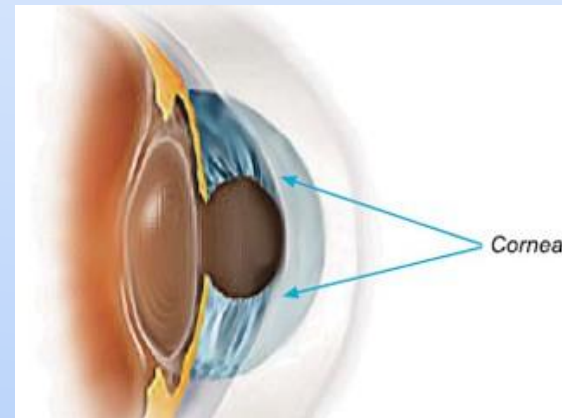
FLOW



The flow of **complex fluids** through **complex geometries** is relevant to many industrial processes. There is a need to understand **structural effects of flow** both for practical purposes and to compare with fluid flow models.

KINETICS

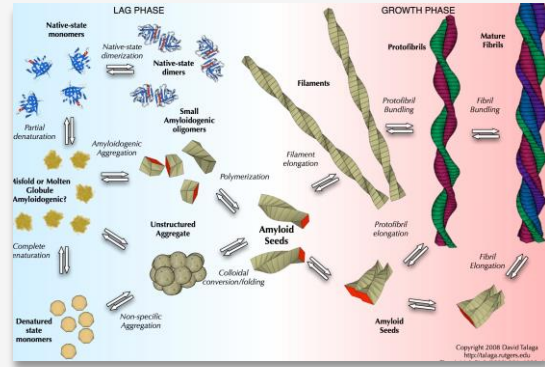
Gel structure forms over **multiple length scales**. Kinetics of gelation can be rapid needing **sub-second** time resolution. Neutrons provide the structure of each component in the presence of the other.



Swelling of a double network hydrogel designed for use as a cornea replacement. (Frank Group, Stanford)

LOKI – broadband SANS

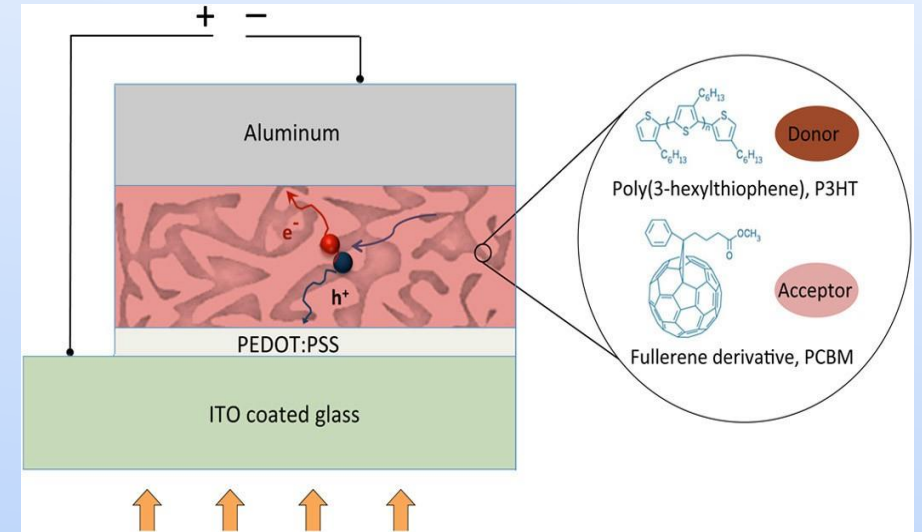
MULTI
SCALE



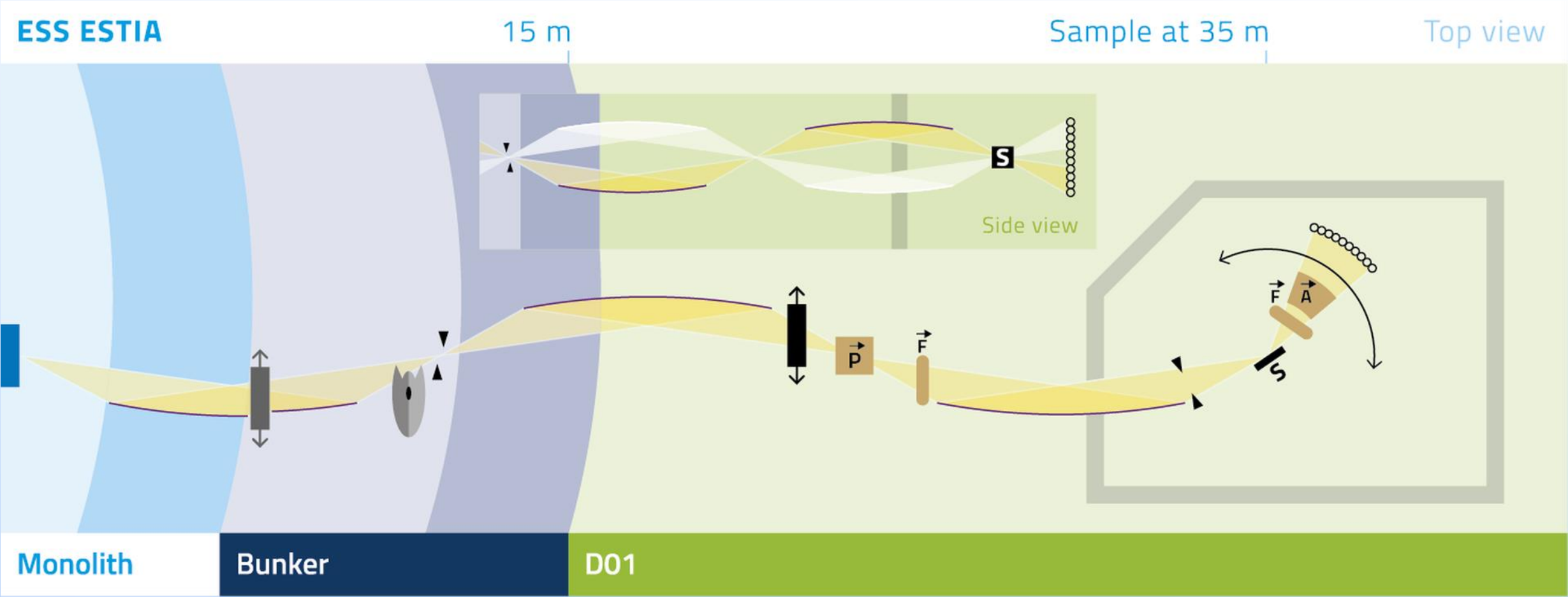
Amyloid fibril formation and growth is a **multi-length scale problem** and to understand methods of formation and inhibition the structural evolution must be observed.

DEVICES

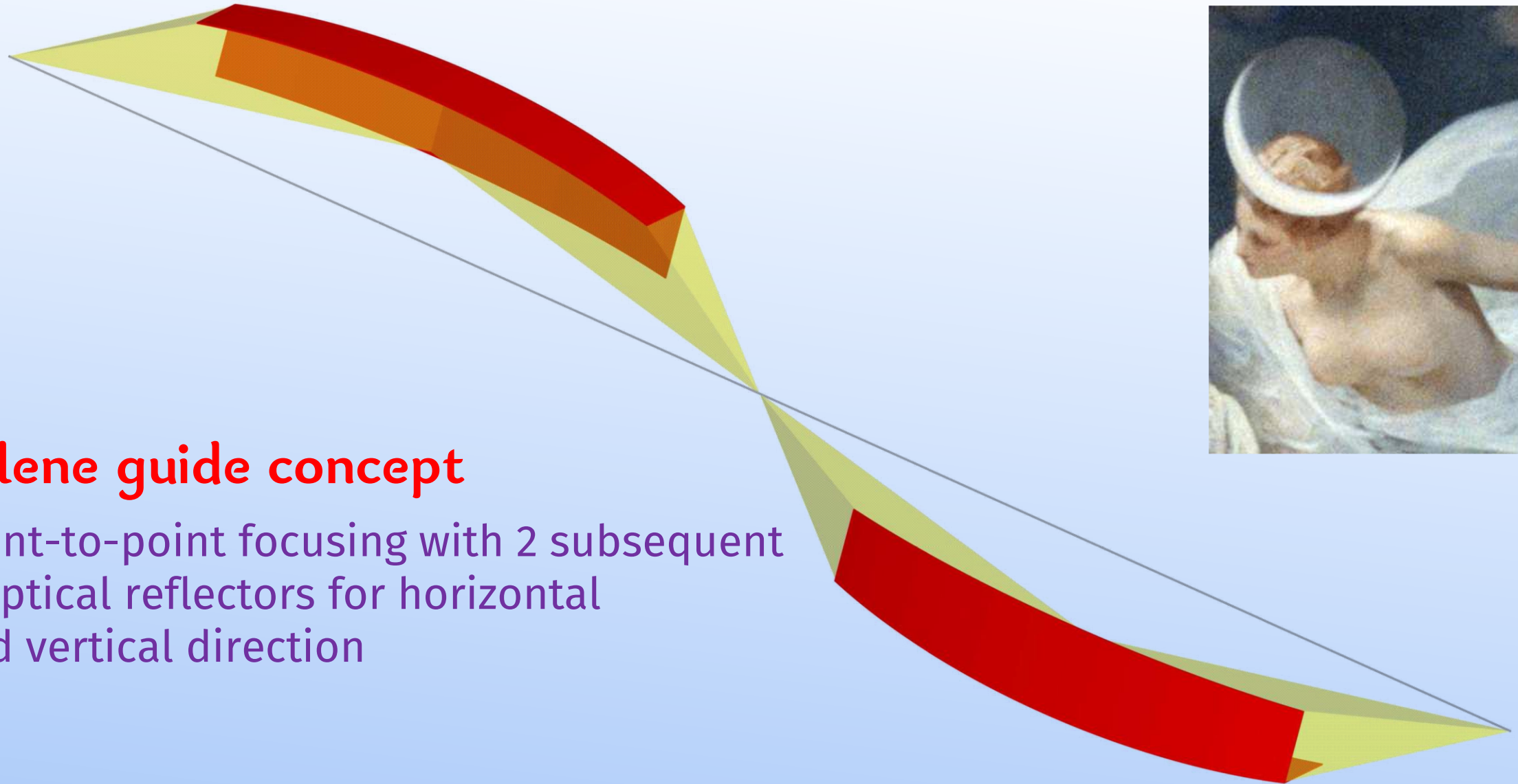
Organic Solar Cells promise to provide cheap and accessible solar energy. The **lifespan** and **efficiency** of the devices depends on the **nano-structure** polymer mixture. Understanding the **structural evolution** under operation guides development of new devices.



ESTIA – focusing reflectometer



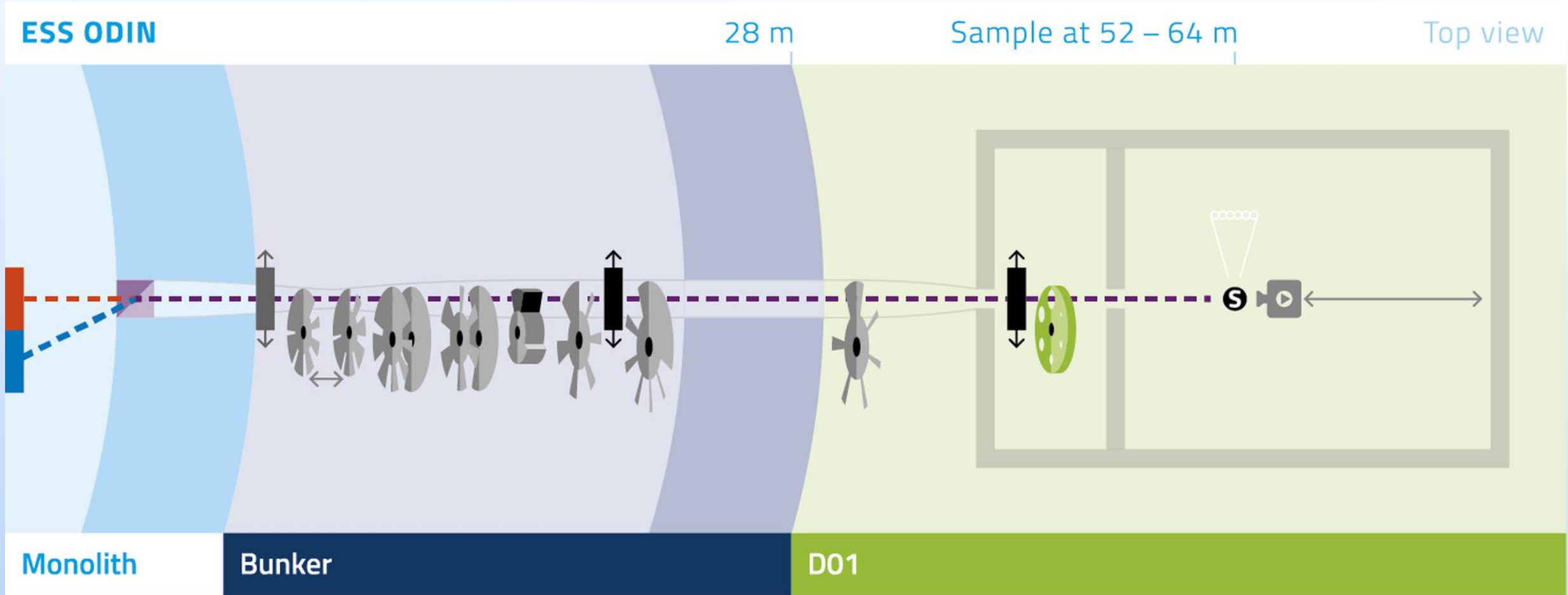
ESTIA – the concept of Selene guide



Selene guide concept

point-to-point focusing with 2 subsequent elliptical reflectors for horizontal and vertical direction

ESTIA – multipurpose imaging



Neutron imaging is a real-space technique examining the inner structure of potentially highly complex components and samples by detecting the transmitted beam.

ESTIA – multipurpose imaging

